

UNIVERZITA KARLOVA V PRAZE
FARMACEUTICKÁ FAKULTA V HRADCI KRÁLOVÉ
Katedra farmaceutické technologie

FYZIKÁLNĚ CHEMICKÁ CHARAKTERISTIKA
MIKROKRYSALICKÝCH CELULOS
PHYSICO-CHEMICAL CHARACTERIZATION OF
MICROCRYSTALLINE CELLULOSES

Rigorózní práce

Vedoucí katedry: Doc. RNDr. Milan Řehula, CSc.

Vedoucí diplomové práce: Doc. RNDr. Milan Řehula, CSc.

Hradec Králové 2014

Mgr. Stanislav Gregor

Poděkování:

Rád bych poděkoval všem, kteří přispěli k vytvoření této rigorózní práce. Především vedoucímu rigorózní práce Doc. RNDr. Milanu Řehulovi, CSc. za cenné rady a čas, který mi věnoval. Dále bych chtěl poděkovat za pomoc Mgr. Pavlu Ondrejčekomu, Mgr. Petře Svačinové a paní Lence Svobodové z katedry farmaceutické technologie.

Prohlášení:

Prohlašuji, že tato práce je mým původním autorským dílem, které jsem vypracoval samostatně. Veškerá literatura a další zdroje, z nichž jsem při zpracování čerpal, jsou uvedeny v seznamu použité literatury a v práci řádně citovány. Práce nebyla využita k získání jiného nebo stejného titulu.

V Hradci Králové

Dne.....

Podpis.....

Zadání rigorózní práce

Úkolem rigorózní práce bylo pomocí různých metod hodnotit jednotlivé typy mikrokrystalických celulos. Pomocí optické mikroskopie měla být hodnocena velikost částic a následně porovnána s údaji deklarovanými výrobcem. Tokové vlastnosti měly být hodnoceny sypoností a syponým úhlem. Dále měla být analyzována syponá a setřesná hustota, pomocí kterých se dále počítal index stlačitelnosti. Pomocí hodnot z DSC (diferenciální skenovací kalorimetrie) mělo být hodnoceno chování mikrokrystalických celulos během zahřívání. Mikrokrystalické celulosy měly být dále hodnoceny pomocí parametrů z rovnic lisování, z testu stresové relaxace a ze záznamu síla-dráha. U tablet vylisovaných z testovaných mikrokrystalických celulos měla být dále analyzována jejich mechanická odolnost ze záznamu kinetiky drcení tablet a jejich radiální pevnost.

Abstrakt

Univerzita Karlova v Praze, Farmaceutická fakulta v Hradci Králové

Katedra farmaceutické technologie

Student: Mgr. Stanislav Gregor

Školitel: Doc. RNDr. Milan Řehula, CSc.

Fyzikálně chemická charakteristika mikrokrytalických celulos

Mikrokrytalická celuloza je významná farmaceutická pomocná látka. Cílem práce bylo hodnotit jednotlivé její typy pomocí fyzikálně chemických charakteristik. Byla u nich hodnocena velikost částic optickou mikroskopií. Tokové vlastnosti byly hodnoceny sypností a sypným úhlem. Sypné a setřesné vlastnosti byly hodnoceny sypnou a setřesnou hustotou a indexem stlačitelnosti. Teploty a tepla tání, teploty skelného přechodu a specifické tepelné přídavky byly hodnoceny metodou DSC. Lisovací proces byl hodnocen rovnicemi lisování, testem stresové relaxace a záznamem síla-dráha. Vylisované tablety byly hodnoceny kinetikou drcení tablet a byla u nich stanovena radiální pevnost.

Velikosti částic odpovídají deklarované velikosti uváděné výrobcem. Největší odchylka byla zjištěna u Avicelu PH-200 (rozdíl 20,0 μm). S rostoucí velikostí částic se snižuje tření mezi částicemi a zvyšuje se sypnost. Setřesná hustota je vyšší než sypná hustota a tu kopíruje. Z výsledků trojexponenciální rovnice lisování vyplývá, že nejnižší objemová redukce ve fázi předlisování byla u Avicelů PH-112, PH-200 a PH-302. S poklesem parametru E_1 z rovnice lisování se snižuje i parametr E'_1 ze záznamu síla-dráha. Z dalších výsledků vyplývá, že nejvyšší objemová redukce ve fázi elastické deformace byla zjištěna u Avicelů PH-200 a PH-112. U ostatních Avicelů byla objemová redukce nižší. Energie E_2 kopírují hodnoty objemových redukcí. Z porovnání elastického chování materiálu ve fázi komprese a relaxace vyplývá přímá spojitost mezi uvedenými elastickými parametry. Přímá spojitost byla rovněž nalezena mezi parametrem E'_3 z fáze relaxace tablety a dráhou ze stanovení kinetiky drcení tablet.

Odlišné chování má pouze Avicel PH-105. Ve fázi plastické deformace byla zaznamenána největší objemová redukce u Avicelu PH-302, menší pak u Avicel PH-105. U ostatních Avicelů byla zjištěny ve fázi plastické deformace nižší objemové redukce. S růstem objemové redukce se snižuje rychlost daného děje. Přímý vztah byl také zjištěn mezi parametrem plasticity P'_3 a parametrem W ze stanovení kinetiky drcení tablet.

Abstract

Charles University in Prague, Faculty of Pharmacy in Hradec Králové

Department of Pharmaceutical technology

Student: Mgr. Stanislav Gregor

Supervisor: Doc. RNDr. Milan Řehula, CSc.

Physico-chemical characterization of microcrystalline celluloses

Microcrystalline cellulose is very important pharmaceutical excipient. The aim of the study was to evaluate the different types by using physico-chemical characteristics. Particle size was evaluated by optical microscopy. The flow properties were evaluated by flowability and by the angle of repose. Bulk and tapped properties were evaluated by bulk and tap density and by compressibility index. Temperature and heat of fusion, glass transition temperature and specific heat improvers were evaluated by DSC. Compaction process was evaluated by compaction equations, stress relaxation test and record the force-displacement. The compressed tablets were evaluated by kinetics crushing tablets and had fixed radial strength.

Particle sizes correspond to the declared values stated by the manufacturer. The largest deviation was found for Avicel PH-200 (difference 20,0 μm). With increasing particle size reduces friction between particles and increases the flowability. The tapped density is higher than the bulk density and the copies. From the results of three-exponential compression equation indicate that the lowest volume reduction in the precompression stage for Avicel PH-112, PH-200 a PH-302. With the decline of the parameter E_1 from compression equation also reduces the parameter E'_1 of recording force-displacement. Other results show that the highest volume reduction in the phase of elastic deformation found for Avicel PH-200 and PH-112. For other Avicels was volume reduction lower. Energies E_2 copy the value of volume density. A comparison of the elastic behavior of the material in the phase of compression and relaxation implies a direct link between the elastic parameters. Direct associations were also found

between the parameter E'_3 of the phase relaxation and path determination of the kinetics of crushing tablets. Different behavior has only Avicel PH-105. In the phase of plastic deformation was observed in the largest volume reduction of Avicel PH-302, or less than at Avicel PH-105. For other Avicels was detected at the phase of plastic deformation lower volume reduction. With the increase of volume reduction reduces the speed of the action. A direct relationship was also found between the plasticity parameter P'_3 and the parameter W determination of the kinetics of crushing tablets.

Obsah

Zadání rigorózní práce	4
Abstrakt.....	5
Abstract.....	7
1. Úvod.....	11
2. Teoretická část	12
2.1 Charakterizace mikrokrystalických celulos	12
2.2 Mikrokrystalická celulosa Avicel PH	12
2.2.1 Avicel PH-101	14
2.2.2 Avicel PH-102	14
2.2.3 Avicel PH-103	15
2.2.4 Avicel PH-105	15
2.2.5 Avicel PH-112	16
2.2.6 Avicel PH-200	16
2.2.7 Avicel PH-302	17
2.2 Rovnice lisování	18
2.2.1 Walkerova a Balšínova rovnice lisování	18
2.2.2 Heckelova rovnice lisování.....	19
2.2.3 Kawakitova rovnice lisování	20
2.2.4 Cooper-Eatonova rovnice lisování.....	22
2.2.5 Trojexponenciální rovnice lisování	23
2.3 Test stresové relaxace	25
2.3.1 Rovnice testu stresové relaxace	25
2.3.2 Popis dějů při testu stresové relaxace	26
2.3.3 Výpočet elastické potencionální energie	27
2.4 Záznam síla-dráha.....	28

2.4.1	Rovnice pro vyjádření plasticity	29
2.4.2	Rovnice pro vyjádření elasticity	29
2.4.3	Vliv lisovacího tlaku na hodnoty plasticity a elasticity	30
3.	Experimentální část.....	31
3.1	Použité suroviny	31
3.2	Použité přístroje a zařízení.....	32
3.3	Postup práce	34
3.3.1	Hodnocení prachů	34
3.3.2	Hodnocení lisovacího procesu	37
3.4	Použité statistické metody	45
4.	Tabulky a grafy	46
4.1	Vysvětlivky k tabulkám a grafům.....	47
4.2	Tabulky	50
4.3	Grafy	94
5.	Diskuze	126
5.1	Fyzikálně chemické charakteristiky mikrokrystalických celulos	126
5.2	Parametry lisovacího procesu a mechanická odolnost vylisovaných tablet.....	128
5.2.1	Zhodnocení fáze předlisování Avicelů	129
5.2.2	Zhodnocení elastického chování Avicelů	129
5.2.3	Zhodnocení plastického chování Avicelů.....	130
6.	Shrnutí práce	132
6.1	Fyzikálně chemické vlastnosti testovaných látek	132
6.2	Parametry lisovacího procesu a mechanická odolnost vylisovaných tablet.....	133
7.	Zdroje literatury	134

1. Úvod

Tablety patří mezi nejčastější lékové formy. Mezi jejich hlavní výhody patří nízká cena, možnost maskovat nepříjemnou chuť a zápach léčivých látek, umožnění prolongovaného účinku léčivých látek, stabilita obsažené léčivé látky, zabezpečení stálosti dávky apod. Přesto u nich nacházíme i některé nedostatky a těmi jsou pomalejší nástup účinku oproti roztokům a suspenzím, nemožnost aplikace v případě poruch zažívacího traktu a problémy s aplikací u dětí a strašících osob.

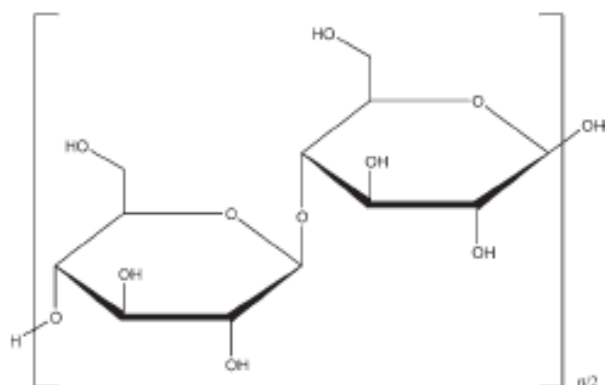
Při lisování tablet se široce uplatňuje mikrokrystalická celulóza, farmaceutická pomocná látka, která se získává hydrolýzou nativní celulósy. Jednotlivé typy se liší velikostí částic, tokovými vlastnostmi, obsahem vlhkosti a tím i svými vlastnostmi důležitými při formulaci tablet.

Lisovací proces můžeme hodnotit různými parametry. Parametry lze získat z rovnic lisování, testu stresové relaxace nebo ze záznamu síla-dráha.

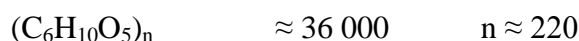
U vylisovaných tablet můžeme rovněž hodnotit jejich mechanickou odolnost pomocí parametrů získaných z testu kinetiky drcení tablet. Případně u nich lze stanovit jejich radiální pevnost.

2. Teoretická část

2.1 Charakterizace mikrokrystalických celulos



Obrázek č. 1: Mikrokrystalická celulosa (1)



Mikrokrystalická celulosa je čištěná, částečně depolymerizovaná celulosa. Tvoří ji bílý, krystalický prášek složený z porézních částic. Získává se kontrolovanou hydrolýzou pomocí minerálních kyselin z α -celulosity (z vláknitých částí rostlin). (1)

Jedná se o stabilní hygroskopickou látku s hustotou v rozmezí 1,512-1,668 g/cm³. Vlhkost materiálu obvykle nepřesahuje 5 %. Velikost částic se většinou pohybuje mezi 20 až 200 μm . Je špatně rozpustná v 5% roztoku hydroxidu sodného, prakticky nerozpustná ve vodě, zředěných kyselinách a ve většině organických rozpouštědel. Mikrokrystalická celulosa je inkompatibilní se silně oxidujícími činidly. (1)

Mikrokrystalická celulosa nachází široké uplatnění ve farmaceutickém průmyslu. Používá se zejména jako plnivo nebo pojivo při výrobě tablet vlhkou granulací a přímým lisováním. Dále se využívá jako adsorbent, stabilizátor suspenzí, kluzná látka nebo rozvolňovalo tablet. Kromě farmaceutického průmyslu se uplatňuje také v kosmetickém a potravinářském průmyslu. (1)

2.2 Mikrokrystalická celulosa Avicel PH

Nejčastěji používaným typem mikrokrystalické celulosity je Avicel firmy FMC Biopolymer. Je k dispozici v různých typech, které se liší velikostí částic, stupněm

vlhkosti, hustotou a podobně. Zkratka PH vychází z anglického „pharmaceutical“ a vyjadřuje, že je jedná o látku určenou k farmaceutickému použití. (2,3)

Fyzikálně chemické vlastnosti mikrokrystalických celulos:

Charakteristika	Typ mikrokrystalické celulosy	Normální velikost částic [μm]	Vlhkost [%]	Sypná hustota [g/cm³]
Vhodné pro vlhkou granulaci	Avicel PH-101	50	3,0-5,0	0,26-0,31
Vhodné pro přímé lisování	Avicel PH-102	100	3,0-5,0	0,28-0,33
	Avicel HFE-102*	100	max. 5,0	0,28-0,33
Výborná kompaktnost	Avicel PH-105	20	max. 5,0	0,20-0,30
Výborné tokové vlastnosti	Avicel PH-102 SCG**	150	3,0-5,0	0,28-0,34
	Avicel PH-200	180	2,0-5,0	0,29-0,36
Vysoká hustota	Avicel PH-301	50	3,0-5,0	0,34-0,45
	Avicel PH-302	100	3,0-5,0	0,35-0,46
Nízká vlhkost	Avicel PH-103	50	max. 3	0,26-0,31
	Avicel PH-113	50	max. 2	0,27-0,34
	Avicel PH-112	100	max. 1,5	0,28-0,34
	Avicel PH-200 LM***	180	max. 1,5	0,30-0,38
Vylepšené chuťové vlastnosti	Avicel CE-15****	75	max. 8	informace není k dispozici

Tabulka č. 1: Typy mikrokrystalické celulosy a jejich vlastnosti (3)

* mikrokrystalická celulosa a mannitol

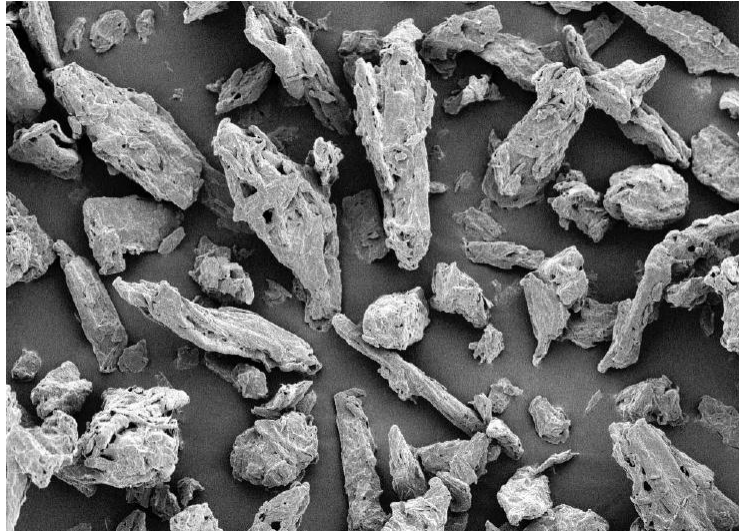
** upravená mikrokrystalická celulosa s hrubými částicemi

*** mikrokrystalická celulosa s nízkou vlhkostí

**** mikrokrystalická celulosa a guarová guma

2.2.1 Avicel PH-101

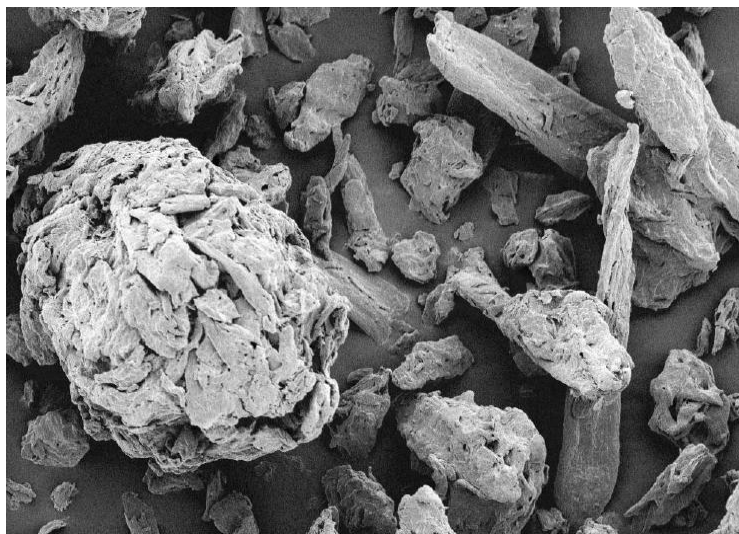
Tento Avicel je nejpoužívanější mikrokrystalickou celulosou pro vlhkou granulaci a přímé lisování. Zlepšuje lisovatelnost, pevnost a rozpadavost tablet. Rovněž nachází uplatnění jako nosič pro suché extrakty a plní funkci pojiva při dražování. Tvoří ji částice o průměrné velikosti 50 μm . Obsahuje $\leq 5\%$ vlhkosti. (2)



Obrázek č. 2: Avicel PH-101 (2)

2.2.2 Avicel PH-102

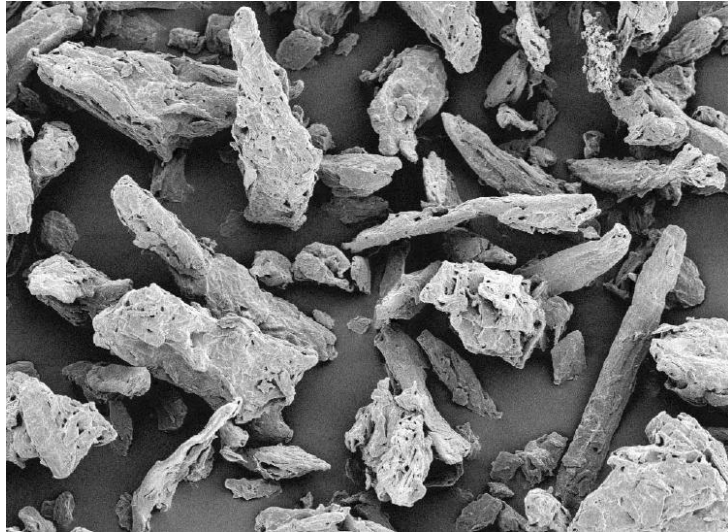
Avicel PH-102 má podobné vlastnosti jako Avicel PH-101. Částice mají průměrnou velikost 100 μm . Vzhledem k této velikosti se zlepšuje její sypnost. Je vhodný pro lisování velmi jemných prachů. Obsah vlhkosti je $\leq 5\%$. (2)



Obrázek č. 3: Avicel PH-102 (2)

2.2.3 Avicel PH-103

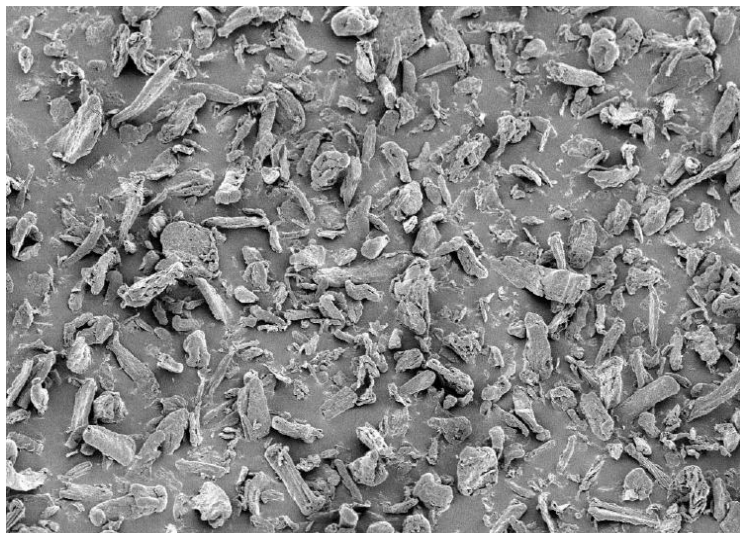
Tento Avicel má snížený obsah vlhkosti ($\leq 3\%$). Proto je vhodný pro zpracování látek citlivých vůči vlhkosti. Průměrná velikost částic je $50\ \mu\text{m}$. (2)



Obrázek č. 4: Avicel PH-103 (2)

2.2.4 Avicel PH-105

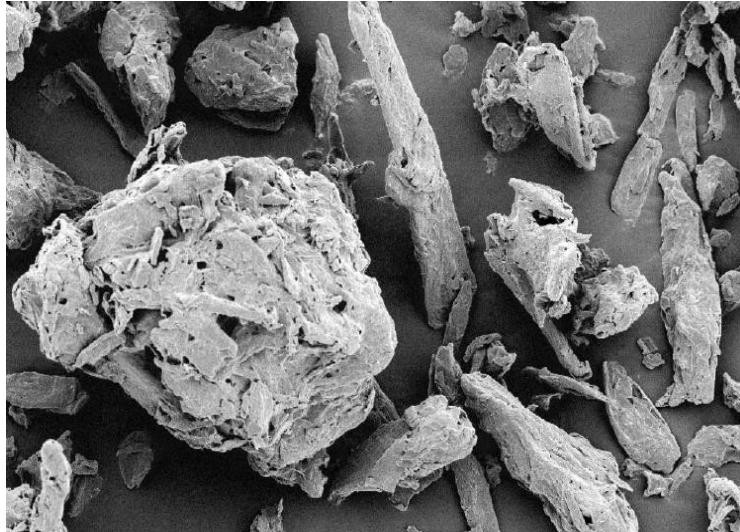
Avicel PH-105 tvoří částice s nejmenší velikostí ($20\ \mu\text{m}$). Uplatňuje se proto při přímém lisování hrubozrnných, granulovaných nebo krystalických léčiv. Zlepšuje lisovatelnost materiálů se špatnou lisovatelností. Mimo toho nachází uplatnění i při plnění želatinových tobolek a jako zásypový základ. Obsah vlhkosti je $\leq 5\%$. (2)



Obrázek č. 5: Avicel PH-105 (2)

2.2.5 Avicel PH-112

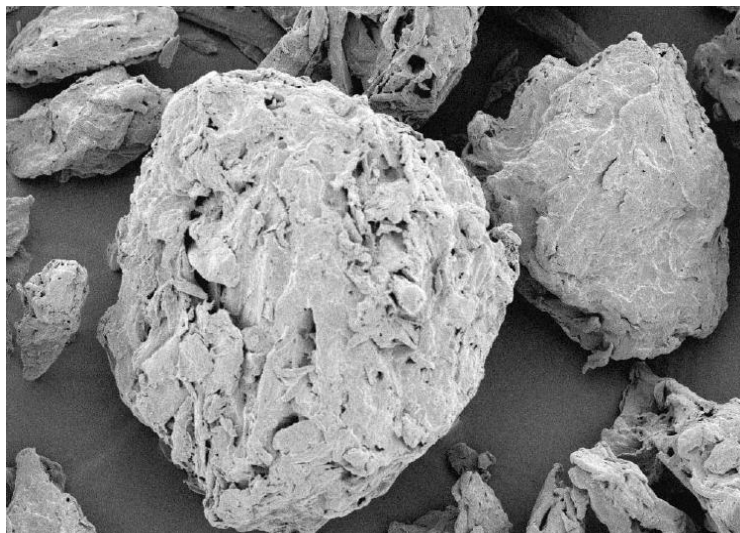
Tento typ Avicelu má nejnižší obsah vlhkosti ($\leq 1,5$ %). Používá se jako suché pojivo při přímém lisování. Částice mají průměrnou velikost 100 μm . (2)



Obrázek č. 6: Avicel PH-112 (2)

2.2.6 Avicel PH-200

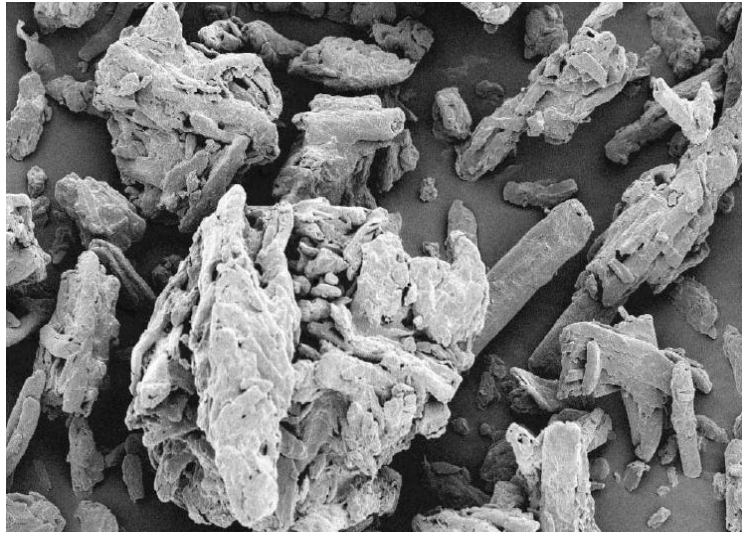
Avicel PH-200 tvoří částice s průměrnou velikostí 180 μm a obsahuje ≤ 5 % vlhkosti. Částice mají relativně kulovitý tvar. Proto se tento Avicel vyznačuje velmi dobrou sypností. Použití nachází zejména při přímém lisování a při suché granulaci. (2)



Obrázek č. 7: Avicel PH-200 (2)

2.2.7 Avicel PH-302

Tento Avicel má stejně jako Avicel PH-102 průměrnou velikost částic 100 μm a obsah vlhkosti $\leq 5\%$. Odlišuje se od něj vyšší sypnou hmotností a menší hmotnostní proměnlivostí tablet z něj vytvořených. Používá se k výrobě tablet malých rozměrů. (2)



Obrázek č. 8: Avicel PH-302 (2)

2.2 Rovnice lisování

Lisovací proces je charakterizován pomocí rovnice lisování. Rovnice lisování vyjadřuje změnu výšky, objemu nebo hustoty lisovaného materiálu v závislosti na působení lisovacího tlaku. (4) Pomocí parametrů získaných z rovnic lze charakterizovat lisovaný materiál nebo studovat mechanismus lisovacího procesu. Lisovací proces probíhá v několika fázích a parametry mohou složit k jejich rozlišení. (5)

V současnosti se uplatňují 3 modely rovnic lisování. První a zároveň nejstarší model popisuje proces lisování lineární rovnicí. Lineární metodu prezentovali Walker a Balšín. Druhý model představuje hyperbolická rovnice, pro příklad podle Kawakity a Lüddeho. Třetí model popisuje lisovací proces pomocí dvojexponenciální rovnice. Touto metodou se zabývali Cooper a Eaton. Dvojexponenciální rovnice byla vytvořena pro keramické materiály. Bylo zjištěno, že výše uvedená rovnice popisuje lisovací proces krystalických pomocných látek, ale není použitelná u lisování polymerů. Lisovací proces polymerů přesněji popisuje trojexponenciální rovnice. (4)

2.2.1 Walkerova a Balšínova rovnice lisování

K nejstarším rovnicím lisování patří rovnice podle Walkera (1923) a podle Balšína (1949). (5)

2.2.1.1 Rovnice podle Walkera

Walkerova rovnice vyjadřuje závislost relativního objemu lisovaného materiálu na logaritmu použitého lisovacího tlaku: (6, 7)

$$V = a - K \cdot \ln P$$

V	objem [mm ³]
P	použitý tlak [MPa]
a, K	konstanty

2.2.1.2 Rovnice podle Balšína

Později publikoval stejnou rovnici také Balšín. Přestože se pokoušel o její teoretické zdůvodnění aplikováním „konceptu kapalinového mechanismu“ (concept of

fluid mechanism), od té doby až do současnosti je tato metoda velmi málo používána. (7, 8)

$$\text{Log } P = -K \cdot V_{app}.$$

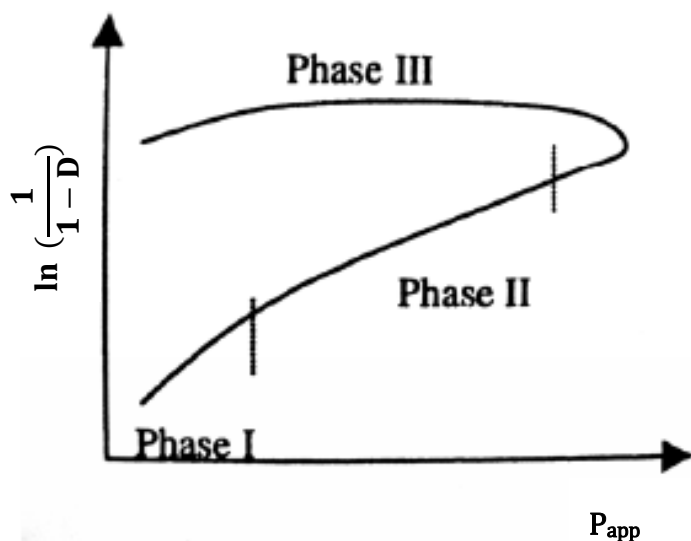
P	použitý tlak [MPa]
V_{app}	zdánlivý měrný objem [mm^3]
K, C	konstanty

2.2.2 Heckelova rovnice lisování

Rovnice podle Heckela z roku 1961 je jednou z nejpoužívanějších rovnic ve farmaceutickém výzkumu. Původně byla vyvinuta a aplikována na keramické a kovové materiály. Heckel považoval proces lisování tablet analogický chemické reakci prvního řádu. Podle něj póry v látce představovaly reaktanty a vylisovaný materiál považoval za výsledný produkt. Kinetiku lisovacího procesu lze popsat jako poměr mezi změnou hustoty danou stlačením a pórovitostí materiálu. Finální podoba Heckelovy rovnice: (7, 9)

$$\ln\left(\frac{1}{1-D}\right) = A \cdot P + B$$

D	zdánlivá hustota [g/cm^3]
P	použitý tlak [MPa]
A, B	konstanty



Graf č. 1: Typický průběh procesu lisování podle Heckela (9)

Heckelův model rozlišuje tři fáze lisovacího procesu. První fáze (fáze předlisování) probíhá za nízkých lisovacích tlaků. Její průběh je nelineární. Pravděpodobně v důsledku přeuspořádání částic lisovaného materiálu nebo je nelinearita zapříčiněna přítomností aglomerátů primárních částic. Parametr B charakterizuje objemovou redukci lisovaného materiálu ve fázi předlisování. Ve druhé fázi dochází k plastické deformaci, její průběh je často lineární. Tento proces, kdy dochází ke změně objemu lisovaného materiálu, charakterizuje parametr A , rovněž označovaný jako materiálová konstanta. Poslední fáze popisuje proces zhuštění lisovaného materiálu. (7, 10)

2.2.3 Kawakitova rovnice lisování

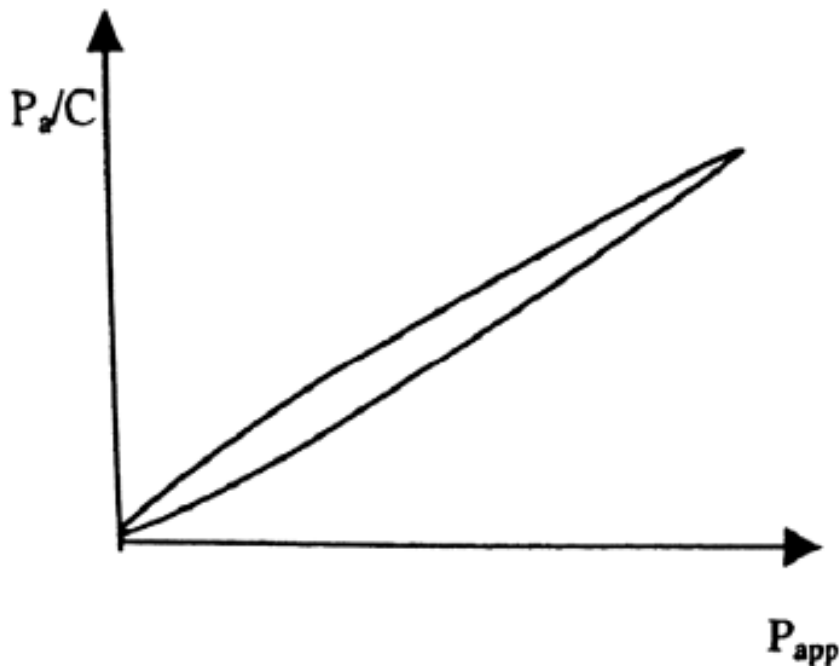
Další rovnice, které je věnována značná pozornost v oblasti lisování tablet, byla vyvinuta Kawakitou a Lüddem v roce 1964. Je vyjádřena ve tvaru: (7, 11)

$$\frac{P_a}{C} = \frac{1}{a \cdot b} + \frac{P_a}{a}$$

P_a	použitý tlak [MPa]
C	stupeň objemová redukce
a, b	konstanty

$$C = \frac{(V_0 - V)}{V_0}$$

V_0 objem při nulové tlaku [mm³]
 V objem za určitého tlaku [mm³]



Graf č. 2: Kawakitův model lisovacího procesu (11)

Z grafu vyplývá, že poměr P_d/C vztažený proti tlaku udává přímku, ze které by mohly být konstanty a i b odvozeny. To může ukazovat, že je konstanta a rovna hodnotě počáteční porozity. V praxi bylo ale zjištěno, že odvozené hodnoty nesouhlasí s naměřenými a tedy nepotvrzují linearitu zamýšleného děje. Konstanta b má shodný rozměr s převrácenou hodnotou napětí, avšak nebyl nalezen významný vztah mezi její hodnotou a mechanickými vlastnostmi použitých částic. Oba vědci rovněž upozornili na důležitost správného měření počátečního objemu V_0 , protože vzniklé odchylky od jejich rovnice by mohly být zapříčiněny kolísáním hodnoty počátečního objemu. (11)

Ačkoliv je děj podle Kawakity téměř v celém průběhu lineární, linearita značně klesá především v oblasti nízkých tlaků. Kawakitova rovnice je dnes akceptována pro popis chování materiálů s velkou porozitou, které obsahují hodně vzduchu za současného použití nízkých tlaků. (11, 12)

Matematicky můžeme rovnice podle Kawakity rozepsat do hyperbolické podoby: (13)

$$\left(P + \frac{1}{b}\right) \cdot (-C + a) = a \cdot \frac{1}{b}$$

Z tohoto vyjádření vyplývá, že parametry a a $-1/b$ jsou asymptotami hyperboly a parametr a se shoduje s parametrem C při nekonečném tlaku. (13)

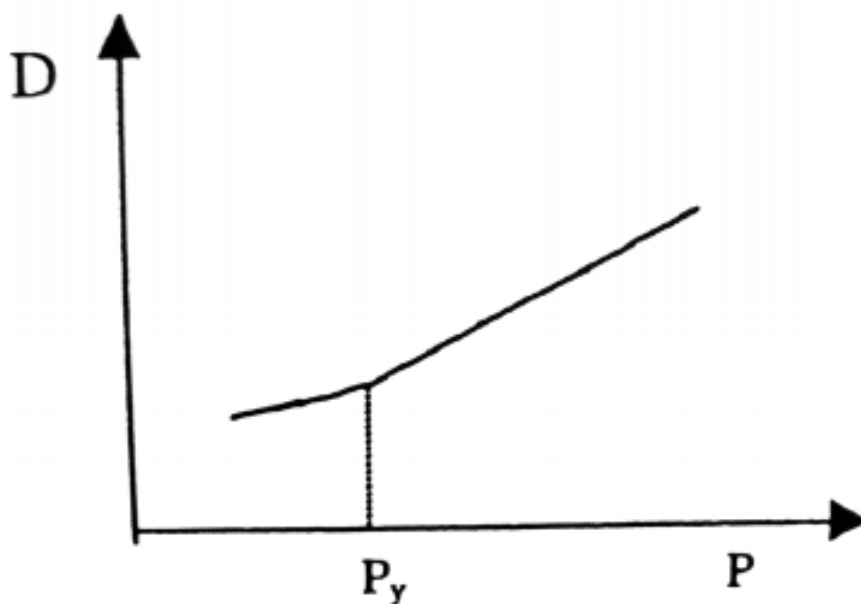
2.2.4 Cooper-Eatonova rovnice lisování

Podle Coopera a Eatona je zahušťování popisováno dvojexponenciální rovnicí. Cooper-Eatonova rovnice z roku 1962 je založena na předpokladu, že lisovací proces probíhá ve dvou fázích. V první dochází k vyplnění dutin, ve druhé pak k fragmentaci a deformaci částic (graf č. 3). (14, 15)

$$\frac{(V_0 - V_p)}{(V_0 - V_\infty)} = C_3 \cdot \exp\left(-\frac{K_3}{P_a}\right) + C_4 \cdot \exp\left(-\frac{K_4}{P_a}\right)$$

V_0	objem při nulovém tlaku [mm ³]
V_p	objem za určitého tlaku [mm ³]
V_∞	objem při působení nekonečného tlaku [mm ³]
C_{3-4}, K_{3-4}	konstanty

Parametry na pravé straně rovnice se vztahují k fázi předlisování a fázi elastické deformace, kdy dochází k vzájemnému skluzu částic. Výsledky Coopera-Eatonova modelu podpořil fakt, že mez kluznosti kovových práškových látek odpovídá lineárnímu uspořádání rovnice podle Heckela. Jistou nevýhodou jejich modelu je použitelnost pouze pro jednosložkové systémy. (15)



Graf č. 3: Cooper-Eatonův model lisovacího procesu (16)

D zdánlivá hustota [g/cm^3]

P_y tlak, při kterém dochází k fragmentaci a deformaci částic [MPa]

2.2.5 Trojexponenciální rovnice lisování

Trojexponenciální neboli trojparametrická rovnice vychází z předpokladu, že všechny tři procesy (předlisování, elastická deformace a plastická deformace) probíhají souběžně. (4)

$$\frac{V}{V_0} = A_1 \cdot e^{-\frac{1}{t_1}P} + A_2 \cdot e^{-\frac{1}{t_2}P} + A_3 \cdot e^{-\frac{1}{t_3}P} + y_0$$

kde $V_0 [\text{mm}^3]$ je počáteční objem lisovaného materiálu, na který nepůsobí žádný tlak. $V [\text{mm}^3]$ je objem tabletoviny za daného lisovacího tlaku. Parametr $y_0 [\text{bezr.}]$ představuje objem V_∞ tabletoviny při působení nekonečného tlaku. Parametr $P [\text{MPa}]$ vyjadřuje použité lisovací tlaky. Parametr $A_1 [\text{bezr.}]$ představuje redukci interpartikulárních pórů, parametr $A_2 [\text{bezr.}]$ redukci intrapartikulárních pórů a parametr $A_3 [\text{bezr.}]$ redukci pevné látky bez pórů. Parametry $1/t_{1-3} [\text{MPa}^{-1}]$ jsou rychlostní konstanty příslušných redukcí objemů, ze kterých jsou parametry $P_{H1-3} [\text{MPa}]$ vypočteny. Tyto parametry, označované též jako půltlaky vyjadřují lisovací tlaky, při kterých dochází k redukcii

interpartikulárních pórů, intrapartikulárních pórů nebo redukci pevné látky bez pórů na polovinu počátečního stavu. (4)

Součet parametrů A_{1-3} a y_0 představuje celkový objem lisovaného materiálu při nulovém lisovacím tlaku. Jak bylo uvedeno výše, parametr y_0 představuje objem tabletoviny při působení nekonečného tlaku. Pro lepší představu byl součet objemových redukcí A_1, A_2, A_3 převeden na hodnotu 1,0 a tak získány parametry A_{R1}, A_{R2} a A_{R3} . Objemové redukce ve všech sledovaných substancích se tedy pohybují v rozmezí 0 - 1.

Po této úpravě byla získána následující rovnice: (4)

$$\frac{V}{V_0} = A_{R1} \cdot e^{-\frac{1}{t_1}P} + A_{R2} \cdot e^{-\frac{1}{t_2}P} + A_{R3} \cdot e^{-\frac{1}{t_3}P}$$

Výpočty procentuálních spotřeb energie na jednotlivé procesy při lisování vycházejí z rovnice: (4)

$$E_i = \frac{A_i \cdot t_i}{\sum A_i \cdot t_i} \cdot 100$$

E_i	procentuální spotřeba energie příslušného děje [%]
A_i	objemová redukce příslušného děje [bezr.]
t_i	rychlostní konstanty příslušných redukcí [MPa]

2.3 Test stresové relaxace

Mezi metody, které se uplatňují při hodnocení viskoelastického chování plniv, patří test stresové relaxace. Na rozdíl od ostatních metod (např. testu elastické relaxace) charakterizuje plastickou i elastickou složku. Parametry získané během testu mohou sloužit k vysvětlení dějů, ke kterým během testu dochází. (17)

Během testu stresové relaxace jsou tablety lisovány do určeného lisovacího tlaku. Po dosažení tohoto tlaku je lisovací proces zastaven a po určitou dobu (během prodlevy) jsou sledovány změny lisovacího tlaku v tabletě. Podobně charakterizuje viskoelasticitu plniv také test tečení. Na rozdíl od testu stresové relaxace se u něj však lisovací tlak nemění, ale zaznamenávají se změny výšky tablety během prodlevy. (17, 18)

2.3.1 Rovnice testu stresové relaxace

Stresovou relaxací materiálů se zabývala řada odborníků, kteří vycházeli z různých předpokladů a domněnek. David a Augsburgers analyzovali stresovou relaxaci za použití jednoduchého Maxwellova modelu a snažili se tak o kvantifikaci míry plastické deformace u řady plniv. (19) Rees a Rue aplikovali test stresové relaxace s 30ti sekundovou prodlevou a zjistili, že pouze jeden samotný Maxwellův model není použitelný pro popis poklesu lisovacího tlaku během celé časové prodlevy. (20) Ebba a spol. použili test stresové relaxace s 60ti sekundovou prodlevou. Tímto testem chtěli prokázat vliv vlhčiv na stlačitelnost plniv. Charakterizovali pokles lisovacího tlaku v čase pomocí troj nebo čtyřexponenciální rovnice, kde každý parametr odpovídal jednomu Maxwellovu modelu. (21) Níže uvedenou exponenciální rovnici také použili Manas a Salil. (22)

$$p(t) = A_1 \cdot e^{-\frac{t}{T_1}} + A_2 \cdot e^{-\frac{t}{T_2}} + A_3 \cdot e^{-\frac{t}{T_3}} + A_0$$

kde p [MPa] je lisovací tlak, jednotlivé parametry A_i [MPa] vyjadřují pokles tlaku v testované látce během stresové relaxace při probíhající ději. Parametr A_0 je tlak, který ve sledované látce zůstává na konci testu, t [s] představuje reálný čas, T_i [s] vyjadřuje relaxační konstantu definovanou jako čas, který klesající tlak potřebuje

k dosažení $1/e$ maximálního tlaku, e označujeme jako Eulerovo číslo. Hodnoty parametru A_i rovněž představují moduly elasticity. (22)

Modul plasticity P_i [MPa.s] může být určen pro každý lisovací tlak podle rovnice: (22)

$$P_i = A_i \cdot T_i$$

Se zvyšující se hodnotou relaxační konstanty T se zvyšuje zbytková plasticita. Pokud parametr T_i dosáhne vysokých hodnot, tak se tlak v tabletě snižuje pomalu a je tedy využit k tvorbě vazeb. Celková plasticita P_T [MPa.s] je potom rovna ploše pod křivkou grafu závislosti P_i/p na p . (17)

Další metoda pro výpočet parametrů testu stresové relaxace používá jako viskoelastický parametr poměr CP_{max}/CP_0 . CP_{max} [MPa] představuje maximální lisovací tlak na počátku prodlevy a CP_0 [MPa] tlak na konci prodlevy. Pro plastické látky je poměr větší než 1,3, zatímco pro látky fragmentující se hodnota poměru blíží k 1,0. (23, 24)

2.3.2 Popis dějů při testu stresové relaxace

Řada autorů se rovněž zabývala popisem dějů uvnitř tablety během testu stresové relaxace. Cole a spol. uvedli, že během prodlevy dochází k plastické deformaci materiálů, při které probíhá přesun částic do volných prostor tabletoviny a rovněž dochází ke zvýšení tvorby vazeb. (25) Maarschalk a spol. zdůraznili fakt, že velikost viskoelastických modulů naměřených během testu závisí na množství energie uložené v tabletě během procesu lisování a také na formování vazeb. (26) Lum a Duncan-Hewitt rozdělili chování pevných látek během testu stresové relaxace do tří dějů. V prvním ději nastává reakce částic plniva na zastavení přibližování lisovacích trnů okamžitou elastickou relaxací. Během prodlevy se elasticky deformované částice snaží znovu nabýt svého původního tvaru a objemu, rozpínají se a zaplňují volné prostory v tabletě. Elastické síly částíček se tímto procesem rychle spotřebovávají. Druhý děj je popisován jako opožděná elastická odpověď. Částice se stále snaží dosáhnout původních rozměrů, avšak s menší intenzitou. Řada volných prostorů v tabletě je totiž již zaplněno. Na

rozdíl od prvního děje, dochází k větším vzájemným interakcím mezi částicemi. Třetí děj je popisován jako trvalá plastická deformace. Částičky už nemají prostor pro posun nebo zvětšování svého objemu, jsou již v příliš těsném kontaktu s ostatními částicemi. V tomto třetím ději je zaznamenán nejmenší pokles elastických sil. Tyto síly mají však podstatný vliv na vznik vazeb mezi lisovanými částicemi. Vyplývá z toho tedy fakt, že během prvního a druhého děje je tableta zbavena velkého množství elastických sil, které by mohly po vyjmutí tablety z matrice narušit její strukturu. Ve třetím ději nastává především tvorba vazeb uvnitř tablety a k fixaci její struktury. (27)

2.3.3 Výpočet elastické potencionální energie

Po vylisování dochází vlivem působících elastických sil k relaxaci tablety. Tableta vylisovaná během testu stresové relaxace bude relaxovat méně, protože mnoho elastických sil se v testu spotřebovalo třením a rozpínáním částic nebo tvorbou vazeb. Nárůst výšky tablety po vylisování lze kvantifikovat pomocí elastické potencionální energie [J]. Tu lze vypočítat podle rovnice odvozené od Youngova modulu pružnosti: (17)

$$E = \int F \cdot dL = \frac{Y \cdot S_0 \cdot \Delta L^2}{2L_0} = \frac{\left(\frac{p}{\Delta L/L_0}\right) \cdot S_0 \cdot \Delta L^2}{2L_0}$$

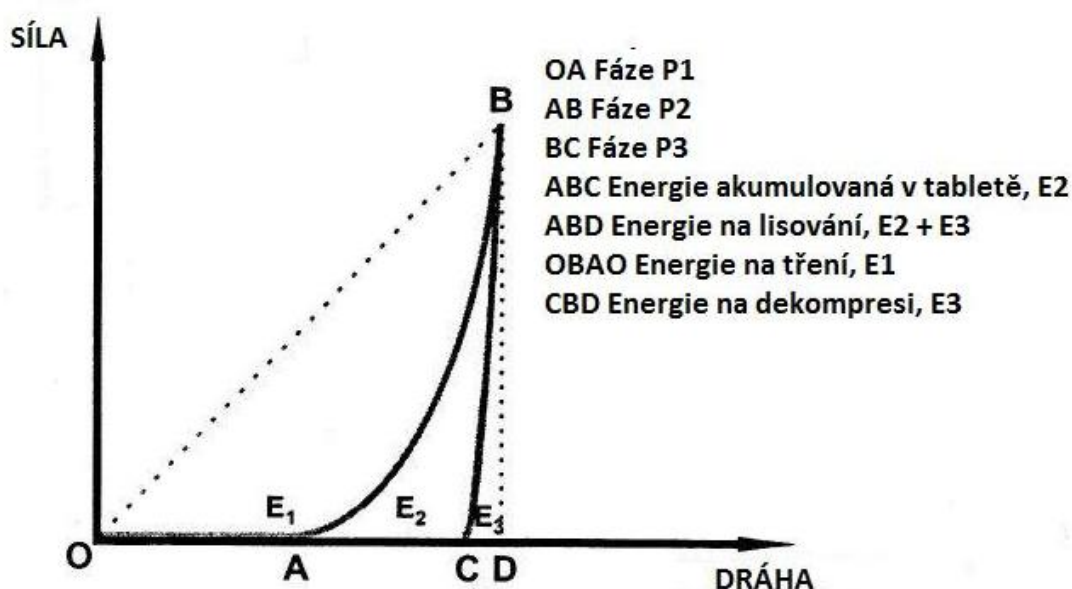
kde Y [Pa] představuje Youngův modul pružnosti, S_0 [m²] plochu tablety, F [N] lisovací sílu, L_0 [m] vyjadřuje výšku tablety při maximálním lisovacím tlaku, ΔL [m] zase rozdíl výšky tablety při maximálním lisovacím tlaku a výšky tablety 5 sekund po dolisování a p [MPa] vyjadřuje lisovací tlak. (17)

Z rozdílů elastické potencionální energie tablet lisovaných bez a s prodlevou lze získat hodnotu diferenční elastické potencionální energie E_{DE} [J], která se spotřebovává během prodlevy. Celková elastická potencionální energie E_{DET} [J] se potom rovná ploše pod křivkou grafu závislosti E_{DE}/p na p . (17)

2.4 Záznam síla-dráha

Záznam síla-dráha představuje klasickou metodu, která se uplatňuje při zjišťování viskoelastického chování pomocných látek, zejména plniv. Poskytuje informace o velikosti energie, která je nutná pro vylisování tablety. Tato energie se dělí na energii, která po odlehčení v tabletě zůstává a energii, která se z tablety po vylisování uvolní. Celková energie se tedy dělí na energii plastickou a elastickou. (28)

Lisovací proces může být rozdělen do tří fází (viz graf č. 4). V každé fázi lze najít převládající fyzikálně-mechanické změny, které v průběhu výroby tablet právě probíhají. V první dochází k přeskupování částic bez jakéhokoliv měřitelného zvýšení tlaku. Ačkoliv nemusí být v této fázi zvýšení tlaku zřetelné, přesnost měření je závislá na citlivosti použitého snímače tlaku. (29) Tato oblast je velice důležitá v případě, kdy jsou částice lisovaného materiálu vystaveny minimálnímu lisovacímu napětí. (30) Obvykle je tato část vynechávána z energetického hodnocení záznamu síla-dráha, avšak v důsledku toho není vyhodnocena významná část energetického profilu. Druhá fáze je charakteristická zvyšováním lisovacího tlaku do požadovaného maximálního tlaku. Během této zase se částice fragmentují, plasticky deformují a přeskupují, což vede k vytvoření různě soudržných materiálů. Během třetí závěrečné fáze se působící napětí postupně uvolňuje, výlisek prochází stádiem elastického zotavení, což vede k poklesu hustoty výlisku. (31)



Graf č. 4: Typický záznam síla-dráha včetně energetického popisu. (29, 31)

Ze záznamu síla-dráha lze vyjádřit řadu energetických parametrů, které vysvětlují nebo předpovídají chování různých materiálů při procesu lisování:

E_1 energie ztracená v důsledku tření mezi částicemi a plochami matrice (energie předlisování) [J]

E_2 energie akumulovaná v tabletě po vylisování [J]

E_3 energie, která se po vylisování z tablety uvolní [J] (31)

Jednotlivé energetické parametry jsou kvantifikovány pomocí ploch daných křivek. V teoretickém průběhu lisování je celková energie lisování charakterizována plochou ABD. Při vstupu horního trnu do matrice tlak plynule vzrůstá, po dosažení maxima (vytvoření výlisku) rychle klesá k výchozí hodnotě. Experimentálně zjištěný průběh lisování je však dán plochou ABC. Plocha ABC vyjadřuje zdánlivou práci použitou k formování výlisku. Odchyłka vzniká tím, že část práce vynaložené při lisování se vrací lisovacímu trnu. Projeví se i tření na stěnách matrice. Část práce, která se vrátí hornímu trnu během dekomprese, závisí na expanzi výlisku a tedy na vlastnostech lisovaného materiálu. Je charakterizována plochou CBD. (32)

2.4.1 Rovnice pro vyjádření plasticity

Z hodnot energií E_2 , E_3 lze vyčíslit plasticitu (PF) při definované lisovací síle a porovnat tak různé materiály. (33)

$$PF = \frac{E_2}{E_2 + E_3} \cdot 100 [\%]$$

Vysoká hodnota plasticity vyjadřuje fakt, že byla velká část použité energie využita k nevratné deformaci materiálu. Mnoho studií prokázalo, že s vysokým stupněm plasticity vzrůstá a zlepšuje se pevnost tablet. (33, 34)

2.4.2 Rovnice pro vyjádření elasticity

Elasticita (EF) může být vypočítána podle následující rovnice: (34)

$$EF = \left(\frac{S_{max} - S_{0d}}{S_{max} - S_0} \right) \cdot 100 [\%]$$

kde s_{max} [μm] představuje maximální dráhu horního trnu, s_0 [μm] dráhu horního trnu, kdy je poprvé zaznamenána lisovací síla. S_{od} [μm] je dráha horního trnu při dekompresi. (34)

2.4.3 Vliv lisovacího tlaku na hodnoty plasticity a elasticity

Míra fragmentace, plasticity a elasticity závisí na použitých lisovacích tlacích. Tato závislost byla zkoumána při použití lisovacích tlaků v rozmezí 50-250 MPa. Toto rozmezí je také nejčastěji používané při lisování tablet. Změnu plasticity jako funkce lisovacího tlaku vyjadřuje rovnice: (34)

$$PF = Pl \cdot e^{-v_p p}$$

kde Pl [bezr.] je hodnota teoretické maximální plasticity při nulovém lisovacím tlaku, v_p [MPa^{-1}] představuje míru snižující se plasticity v důsledku zvyšujícího lisovacího tlaku. (34)

Rovněž lze vyjádřit závislost elasticity na lisovacím tlaku. Tato závislost je popsána kombinací exponenciální a lineární funkce. (34)

$$EF = El_1 \cdot e^{-v_{deg} p} + v_{incr} \cdot p + El_0$$

kde součet El_1 [bezr.] a El_0 [bezr.] je teoretická hodnota elasticity při nulovém lisovacím tlaku, v_{deg} [MPa^{-1}] představuje míru snížení elasticity za nízkých tlaků a v_{incr} [MPa^{-1}] představuje zvýšenou elasticitu v důsledku vysokých lisovacích tlaků. (34)

3. Experimentální část

3.1 Použité suroviny

Mikrokrytalická celuloza Avicel PH-101

Šarže: 810113

Výrobce: FMC Europe N. V., Belgie

Mikrokrytalická celuloza Avicel PH-102

Šarže: 811212

Výrobce: FMC Europe N. V., Belgie

Mikrokrytalická celuloza Avicel PH-103

Šarže: 80950C

Výrobce: FMC Europe N. V., Belgie

Mikrokrytalická celuloza Avicel PH-105

Šarže: 51221C

Výrobce: FMC Europe N. V., Belgie

Mikrokrytalická celuloza Avicel PH-112

Šarže: 030511

Výrobce: FMC Europe N. V., Belgie

Mikrokrytalická celuloza Avicel PH-200

Šarže: 010111

Výrobce: FMC Europe N. V., Belgie

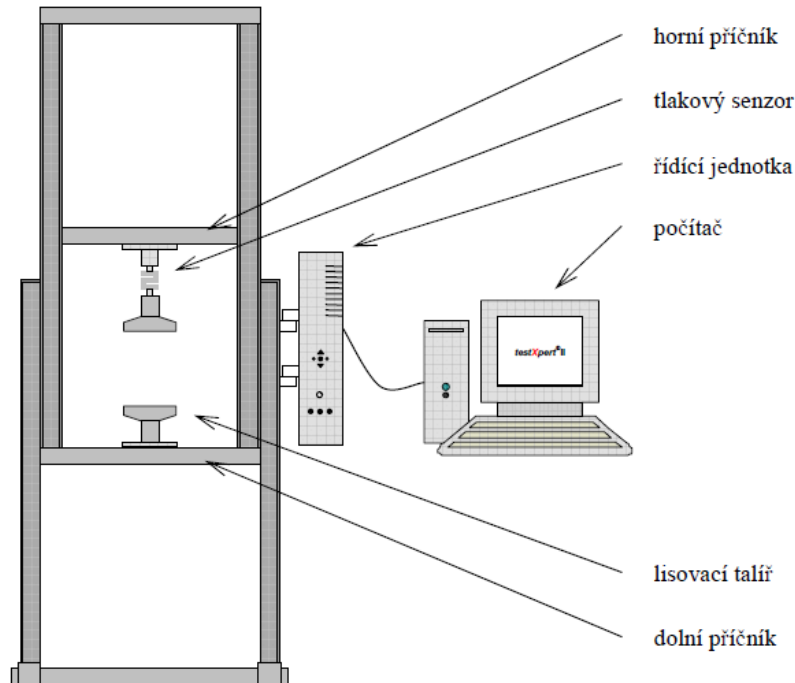
Mikrokrytalická celuloza Avicel PH-302

Šarže: Q533C

Výrobce: FMC Europe N. V., Belgie

3.2 Použité přístroje a zařízení

Zařízení pro testování pevnosti materiálu v tlaku a tahu Zwick/Roell T1-FRO 50
(Zwick GmbH, Ulm, Německo)



Obrázek č. 9: Trhací lis Zwick/Roell T1-FRO 50 (35)

Lisovací přípravek (Adamus HT, Machine Factory Group, Szczecin, Polsko)

Zařízení pro měření vzorků prášků ERWEKA SVM 102 (ERWEKA GmbH, Heusenstamm, Německo)

Tester granulátů ERWEKA GT (ERWEKA GmbH, Heusenstamm, Německo)

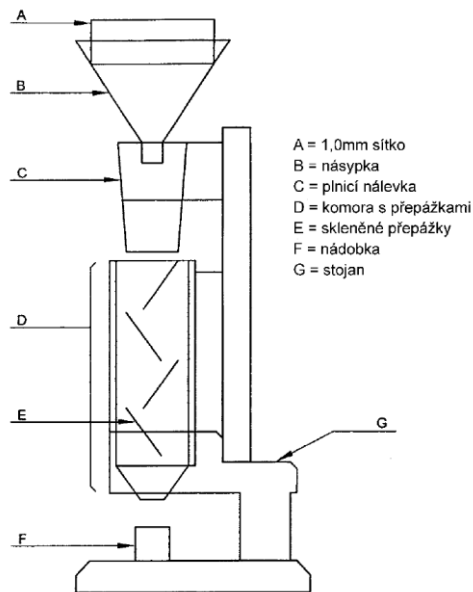
Mikroskop Olympus BX51TF (Tokio, Japonsko)

Fotoaparát Olympus DP72 (Tokio, Japonsko)

Digitální váhy Kern 440-45N (Kern & Sohn GmbH, Německo)

Analytické váhy HR-120 (A&D Company, Japonsko)

Volumetr



Obrázek č. 10: Volumetr (36)

TestXpert v9.01; Zwick/Roell

Program ovládající trhací lis.

Origin v7.5 (Originlab Corporation, Northampton, USA)

Program umožňující výpočet parametrů rovnic lisování, parametrů testu stresové relaxace apod.

QC Expert v3.3 (TriloByte Statistical Software, Pardubice, ČR)

Matematický a statistický program.

3.3 Postup práce

3.3.1 Hodnocení prachů

3.3.1.1 Stanovení velikosti částic

Pro stanovení velikosti částic optickou mikroskopií byl použit mikroskop Olympus BX51TF (Olympus, Tokio, Japonsko). Pro pořízení snímků byl použit digitální fotoaparát Olympus DP72 (Olympus, Tokio, Japonsko). U každého vzorku bylo měřeno 100 částic.

3.3.1.2 Stanovení sypné a setřesné hustoty prachů

3.3.1.2.1 Sypná hustota v odměrném válci

Sypná hustota byla měřena ve vysušeném odměrném válci o objemu 250 ml.

Postup měření:

Do vysušeného válce bylo nasypáno 100 g zkoušeného vzorku a na stupnici byl odečten zdánlivý objem. Měření bylo provedeno třikrát pro každý vzorek. Sypná hustota v gramech na mililitr byla vypočítána podle vztahu:

$$\rho_{syp} = \frac{m}{V_0}$$

ρ_{syp} sypná hustota [g/ml]

m hmotnost vzorku [g]

V_0 zdánlivý objem [ml]

3.3.1.2.2 Sypná hustota ve volumetru

Sypná hustota byla měřena ve volumetru. Zjištěná hodnota sypné hustoty byla vypočítána jako průměr tří měření.

3.3.1.2.3 Setřesná hustota v zařízení pro setřesení vzorků prášků

Setřesná hustota byla měřena v zařízení pro měření vzorků prášků ERWEKA SVM 102 (ERWEKA GmbH, Heusenstamm, Německo) a 250ml odměrném válci.

Postup měření:

Do vysušeného 250ml odměrného válce bylo nasypáno 100 g měřeného vzorku. Válec byl zajištěn držákem a bylo provedeno 1250 sklepnutí. Byl odečten setřesný objem V_{1250} . Měření bylo provedeno třikrát pro každý vzorek. Setřesná hustota v gramech na mililitr byla vypočítána podle vztahu:

$$\rho_{setř.} = \frac{m}{V_{1250}}$$

$\rho_{setř.}$	setřesná hustota [g/ml]
m	hmotnost vzorku [g]
V_{1250}	setřesný objem po 1250 sklepnutích [ml]

3.3.1.2.4 Index stlačitelnosti

Parametry pro výpočet indexu stlačitelnosti byly zjištěny na zařízení pro měření vzorků prášků ERWEKA SVM 102 (ERWEKA GmbH, Heusenstamm, Německo) ve 250ml odměrném válci.

Postup měření:

Do vysušeného 250ml odměrného válce bylo nasypáno 100 g měřeného vzorku. Válec byl zajištěn držákem a bylo provedeno 1250 sklepnutí. Byl odečten setřesný objem V_{1250} . Měření bylo provedeno třikrát pro každý vzorek. Index stlačitelnosti byl vypočítán podle vztahu:

$$IS = 100 \cdot \frac{V_0 - V_{1250}}{V_0}$$

IS	index stlačitelnosti [%]
V_0	sytný objem [ml]
V_{1250}	setřesný objem po 1250 sklepnutích [ml]

Stupnice toku prášku podle indexu stlačitelnost ČL 2009:

Výborný	1-10 %
Dobrá	11-15 %

Přiměřený	16-20 %
Průměrný	21-25 %
Špatný	26-31 %
Velmi špatný	32-37 %
Velmi, velmi špatný	> 38 %

3.3.1.3 Stanovení tokových vlastností

3.3.1.3.1 Stanovení sypnosti

Měření bylo provedeno na zařízení Tester granulátů ERWEKA GT (ERWEKA GmbH, Heusenstamm, Německo) s otvorem o velikosti 1 cm² za použití míchadla, rychlost míchání 2. Každý vzorek byl měřen třikrát.

Postup měření:

50,0 g materiálu bylo nasypáno do násypky a poté bylo vloženo míchadlo. Z pěti měření byl udělán průměr.

3.3.1.3.2 Stanovení sypného úhlu

Měření bylo provedeno na zařízení Tester granulátů ERWEKA GT (ERWEKA GmbH, Heusenstamm, Německo) s otvorem o velikosti 1 cm² za použití míchadla, rychlost míchání 2. Každý vzorek byl měřen třikrát.

Postup měření:

V kádince bylo odměřeno 150 ml vzorku a nasypáno do násypky. Bylo vloženo míchadlo a spuštěno měření. Ze třech naměřených hodnot byl pro každý vzorek vypočítán průměr.

Sypný úhel byl vypočítán podle vztahu:

$$\operatorname{tg} \alpha = \frac{h}{0,5 \cdot d}$$

h výška kužele odsypaného materiálu [mm]

d průměr základny kužele [mm]

Tokové vlastnosti a odpovídající sypaný úhel podle ČL 2009, doplněk 2013:

Výborná	25°-30°
Dobrá	31°-35°
Přiměřená	36°-40°
Průměrná	41°-45°
Špatná	46°-55°
Velmi špatná	56°-65°
Velmi, velmi špatná	> 66°

3.3.2 Hodnocení lisovacího procesu

3.3.2.1 Rovnice lisování

3.3.2.1.1 Příprava tablet pro hodnocení parametrů rovnic lisování

Tablety pro hodnocení parametrů rovnice lisování byly lisovány z tabletovin v lisovacím přípravku (Adamus HT, Machine Factory Group, Szczecin, Polsko) v zařízení pro testování pevnosti materiálu v tlaku a tahu Zwick/Roell T1-FRO 50 (Zwick GmbH, Ulm, Německo). Matrice lisovacího zařízení měla průměr 13 mm, navážky tabletovin měly hmotnost 500 mg s přesností $\pm 0,5$ mg. Tablety byly lisovány při nastavení přístroje (výpis z řídicího programu):

Metoda měření	absolutní dráha
Okamžik vynulování dráhy	bez předzatižení
Zatížení zkušebního cyklu	standardní síla 42 000 N
Odlehčení zkušebního cyklu	standardní síla 2 N
Rychlost cyklu	dráha příčnicku 0,5 mm/s
Definované síly pro zatížení	50 lisovacích sil: 2, 50, 100, 200, 250, 300, 350, 400, 450, 500, 750, 1 000, 1 500, 2 000, 2 500, 3 000, 3 500, 4 000, 4 500, 5 000, 5 500, 6 000, 6 500, 7 000, 7 500, 8 000, 8 500, 9 000, 10 000, 11 000, 12 000, 13 000, 14 000, 15 000, 16 000, 17 000, 18 000, 19 000, 20 000, 22 000, 24 000, 26 000, 28 000, 30 000, 32 000, 34 000, 36 000, 38 000, 40 000 N
Průměr	13 mm
Zkoušená délka vzorku	13 mm
Vzdálenost čelistí	13 mm
Rychlost nastavení LE	100 mm/min

U každého typu Avicelu bylo hodnoceno 20 tablet.

3.3.2.1.2 Hodnocení parametrů rovnic lisování

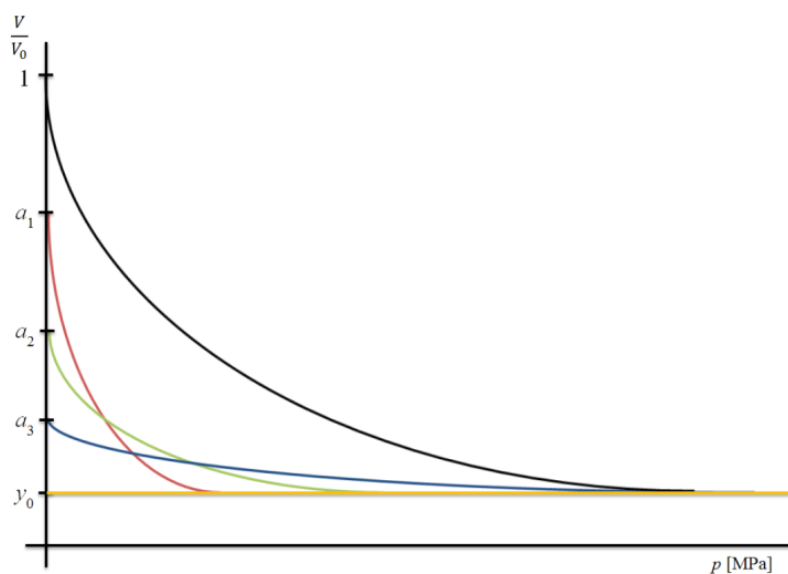
Pro výpočet parametrů rovnice lisování byla použita trojexponenciální rovnice (dále jen rovnice lisování):

$$\frac{V}{V_0} = a_1 \cdot e^{-\frac{1}{t_1}p} + a_2 \cdot e^{-\frac{1}{t_2}p} + a_3 \cdot e^{-\frac{1}{t_3}p} + y_0$$

V	objem tabletoviny při daném lisovacím tlaku p [mm^3]
V_0	objem volně nasypané tabletoviny bez působení lisovacího tlaku [mm^3]
y_0	teoretická maximální objemová redukce při nekonečně vysokém lisovacím tlaku [bezr.]
$\frac{1}{t_i}$	rychlost objemové redukce příslušného děje [MPa^{-1}]
p	lisovací tlak [MPa]
a_1	objemová redukce způsobená přeskupováním částic [bezr.]
a_2	objemová redukce způsobená elastickými deformacemi částic [bezr.]
a_3	objemová redukce způsobená plastickými deformacemi částic [bezr.]

Objemové redukce (a_1 , a_2 , a_3) byly přepočítány tak, aby byl jejich součet roven 1.

Příklad záznamu závislosti objemové redukce na lisovacím tlaku:



Graf č. 5: Příklad záznamu rovnice lisování

Na vodorovné ose je lisovací tlak a na svislé ose je objemová redukce. Černá křivka ukazuje původní průběh závislosti. Barevné křivky ukazují rozdělení původní závislosti do tří současně probíhajících dějů za pomoci výše popsané trojexponenciální rovnice. Červená křivka vycházející z bodu a_1 popisuje průběh objemové redukce způsobené přeskupováním částic. Zelená křivka vycházející z bodu a_2 popisuje průběh objemové redukce způsobené elastickými deformacemi částic. Modrá křivka vycházející z bodu a_3 popisuje průběh objemové redukce způsobené plastickými deformacemi částic. Žlutá přímková křivka vycházející z bodu y_0 popisuje část objemu tabletoviny, který se během lisování nemění.

Tyto základní parametry sloužily k výpočtu dalších parametrů:

Rovnice pro výpočet celkové energie lisovacího procesu:

$$E_{\infty} \equiv \lim_{p_{max} \rightarrow \infty} E \cdot (p_{max}) = V_0 \cdot \sum_{i=1}^3 (a_i \cdot t_i)$$

E_{∞}	energetická náročnost celého lisovacího procesu [mJ]
E	energie lisovacího procesu [mJ]
p_{max}	maximální lisovací tlak [MPa]
V_0	objem volně nasypané tabletoviny bez působení tlaku [mm ³]
a_i	objemová redukce příslušného děje [bezr.]
t_i	rychlostní konstanty příslušných redukcí [MPa]

Dílní složky této rovnice charakterizují energetickou náročnost příslušných dějů:

$$E_i = V_0 \cdot (a_i \cdot t_i)$$

E_i	energetická náročnost příslušného děje [mJ]
V_0	objem volně nasypané tabletoviny bez působení tlaku [mm ³]
a_i	objemová redukce příslušného děje [bezr.]
t_i	rychlostní konstanty příslušných redukcí [MPa]

Půltlaky P_{Hi} udávají lisovací tlak, při kterém dojde k poloviční objemové redukci lisovaného materiálu způsobené příslušným dějem. Pro výpočet byla použita rovnice:

$$P_{Hi} = t_i \cdot \ln 2$$

P_{Hi} „půltlak“ lisovacího procesu (tlak, při kterém dojde k poloviční objemové redukci) [MPa]

t_i rychlostní konstanty příslušných redukcí [MPa]

Procentuální poměr energií spotřebovaných v jednotlivých dějích lze spočítat:

$$R_i = \frac{a_i \cdot t_i}{\sum_{i=1}^3 (a_i \cdot t_i)} \cdot 100$$

R_i procentuální poměr energie příslušného děje [%]

a_i objemová redukce příslušného děje [bezr.]

t_i rychlostní konstanty příslušných redukcí [MPa]

3.3.2.2 Záznam síla-dráha

3.3.2.2.1 Příprava tablet pro hodnocení záznamu síla-dráha

Tablety pro hodnocení záznamu síla-dráha byly lisovány z tabletovin v lisovacím přípravku (Adamus HT, Machine Factory Group, Szczecin, Polsko) v zařízení pro testování pevnosti materiálu v tlaku a tahu Zwick/Roell T1-FRO 50 (Zwick GmbH, Ulm, Německo). Matrice lisovacího zařízení měla průměr 13 mm, navážky tabletovin měly hmotnost 500 mg s přesností $\pm 0,5$ mg. Tablety byly lisovány při nastavení přístroje (výpis z řídicího programu):

Metoda měření	diferenční dráha
Okamžik vynulování dráhy	na předzatížení
Zatížení – zkušební cyklus	standardní síla 10 kN
Odlehčení zkušební cyklus	standardní síla 2 N
Rychlost cyklů	dráha příčnicku 0,5 mm/s
Předzatížení	2 N

Rychlost předzatížení	0,5 mm/s
Prodleva na předzatížení	bez prodlevy
Čas na dosažení předzatížení	60 s
Vynulovat sílu na předzatížení	ano
Tvar vzorku pro výpočet průřezu	není požadován
Zkušební délka vzorku	100 mm
Vzdálenost čelistí	13 mm
Rychlost nastavení LE	100 mm/min

U každého typu Avicelu bylo hodnoceno 20 tablet.

3.3.2.2.2 Hodnocení parametrů ze záznamu síla - dráha

Měřením byly zjištěny tyto parametry:

E'_1	energie předlisování [J]
E'_2	energie akumulovaná v tabletě - plastická energie [J]
E'_3	energie uvolněná z tablety po relaxaci tablety - elastická energie [J]

Celkovou energii spotřebovanou během lisovacího procesu lze spočítat podle rovnice:

$$E'_{max} = E'_1 + E'_2 + E'_3$$

E'_{max}	celková energie spotřebovaná během lisovacího procesu [J]
E'_1	energie předlisování [J]
E'_2	energie akumulovaná v tabletě [J]
E'_3	energie uvolněná z tablety po relaxaci tablety [J]

Energie spotřebovaná na tvorbu tablety se vypočte ze vztahu:

$$E'_{lis} = E'_2 + E'_3$$

E'_{lis}	energie spotřebovaná na tvorbu tablety [J]
E'_2	energie akumulovaná v tabletě [J]
E'_3	energie uvolněná z tablety po relaxaci tablety [J]

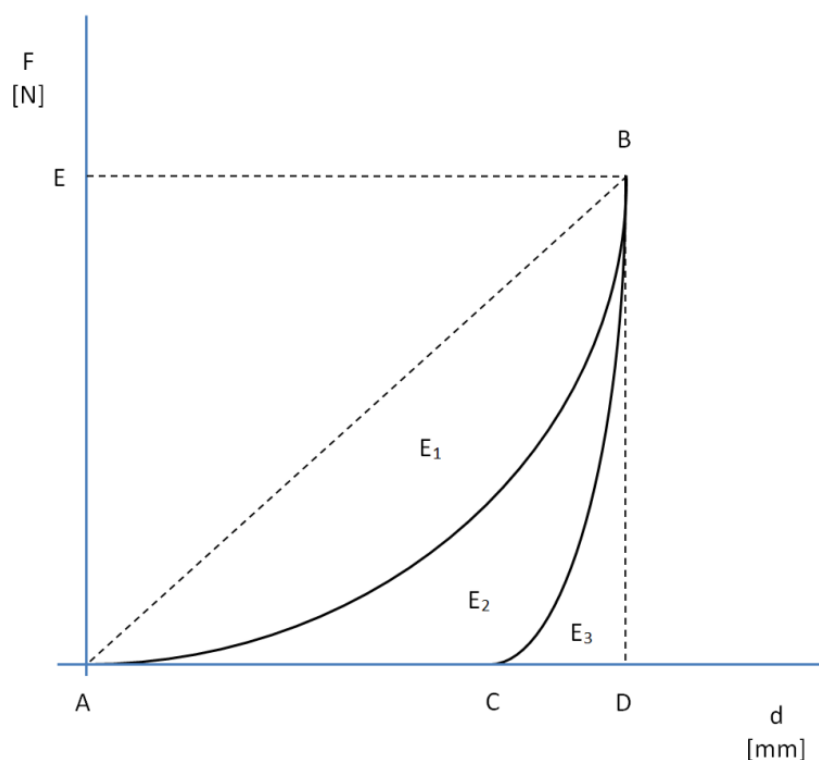
Dále byla spočítána plasticita:

$$FP = \frac{E'_2}{E'_2 + E'_3} \cdot 100$$

FP faktor plasticity (plasticita) [%]

E'_2 energie akumulovaná v tabletě [J]

E'_3 energie uvolněná z tablety po relaxaci tablety [J]



Graf č. 6: Příklad záznamu síla-dráha

3.3.2.3 Test stresové relaxace

3.3.2.3.1 Příprava tablet pro hodnocení parametrů testu stresové relaxace

Tablety pro hodnocení parametrů testu stresové relaxace byly lisovány z tabletovin v lisovacím přípravku (Adamus HT, Machine Factory Group, Szczecin, Polsko) v zařízení pro testování pevnosti materiálu v tlaku a tahu Zwick/Roell T1-FRO 50 (Zwick GmbH, Ulm, Německo). Matrice lisovacího zařízení měla průměr 13 mm, navážky tabletovin měly hmotnost 500 mg s přesností $\pm 0,5$ mg. Tablety byly lisovány při nastavení přístroje (výpis z řídicího přístroje):

Metoda měření	diferenční dráha
Okamžik vynulování dráhy	na předzátížení
Zatížení – zkušební cyklus	standardní síla 1 kN
Odlehčení zkušební cyklus	standardní síla 2 N
Rychlost cyklů	dráha příčnicku 0,5 mm/s
Definované síly pro zatížení	15 000 N
Prodleva na ref. hod. síly při zatížení	180 s
Předzátížení	2 N
Rychlost předzátížení	0,5 mm/s
Prodleva na předzátížení	bez prodlevy
Čas na dosažení předzátížení	60 s
Vynulovat sílu na předzátížení	ano
Tvar vzorku pro výpočet průřezu	není požadován
Zkušební délka vzorku	100 mm
Vzdálenost čelistí	13 mm
Rychlost nastavení LE	100 mm/min

U každého typu Avicelu bylo hodnoceno 20 tablet.

3.3.2.3.2 Hodnocení parametrů testu stresové relaxace

Pro výpočet parametrů stresové relaxace byla použita rovnice:

$$LT = A'_1 \cdot e^{-\frac{1}{T'_1}t} + A'_2 \cdot e^{-\frac{1}{T'_2}t} + A'_3 \cdot e^{-\frac{1}{T'_3}t}$$

LT lisovací tlak [MPa]

t čas [s]

A'_{1-3} vzájemné působení částic v různém stádiu deformace (modul elasticity)
[MPa]

T'_{1-3} relaxační konstanta udávající rychlost a strmost děje [s]

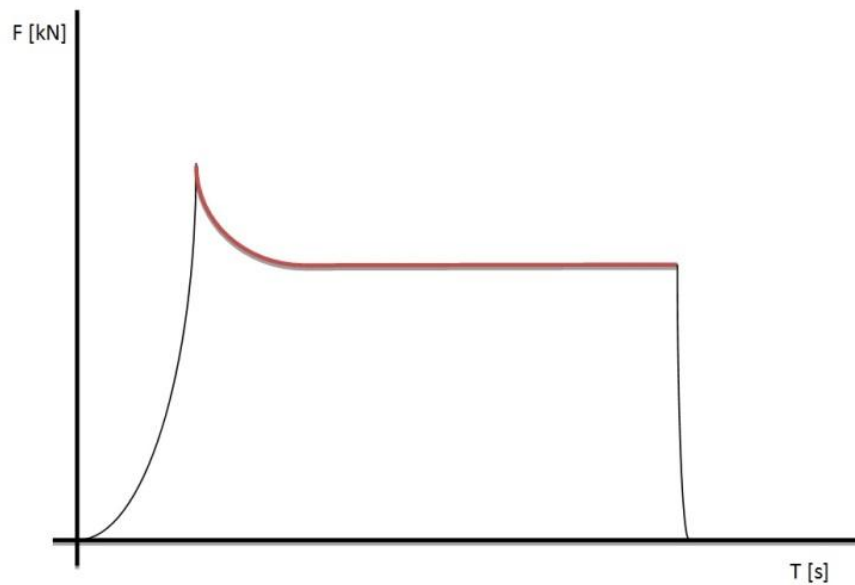
Rovnice pro výpočet plasticity:

$$P'_i = A'_i \cdot T'_i$$

P'_i plasticita (modul plasticity) [MPa.s]

A'_i modul elasticity [MPa]

T'_i relaxační konstanta příslušného děje [s]



Graf č. 7: Příklad záznamu testu stresové relaxace

3.3.2.4 Kinetika drcení tablet

Tablety byly připraveny dle režimu pro hodnocení metodou síla-dráha.

Tablety byly hodnoceny na zařízení pro testování pevnosti materiálu v tlaku a tahu Zwick/Roell T1-FRO 50 (Zwick GmbH, Ulm, Německo). Tablety byly jednotlivě měřeny tak, že byly postaveny na stranu mezi drtící čelisti. Poté bylo spuštěno měření při těchto parametrech (výpis z řídicího programu):

Metoda měření	absolutní dráha
Zatížení zkušební cyklu	standardní síla 2 kN
Rychlost cyklu	síla 5 N/s

Předzátížení	4 N
Rychlost předzátěžování	0,01 mm/s
Prodleva na předzátížení	bez prodlevy
Čas na dosažení předzátížení	60 s
Vynulovat sílu na předzátížení	ne
Tvar vzorku pro výpočet průřezu	není požadován
Vzdálenost čelistí	13,3 mm
Rychlost nastavení LE	100 mm/min
Pokles síly	10 % F_{\max}
Práh síly pro vyhodnocení porušení	0,5 % F_{\max}

Měřením byly získány tyto parametry:

DS	drtící síla [N]
W	destrukční energie [J]
l	drtící dráha [mm]

Radiální pevnost byla spočítána ze vztahu:

$$RP = \frac{2 \cdot DS}{\pi dh}$$

RP	radiální pevnost [MPa]
DS	drtící síla [N]
d	průměr tablety [mm]
h	výška tablety [mm]

Optimální radiální pevnost je v rozmezí od 0,56 do 1,12 MPa. U každého typu Avicelu bylo pro kinetiku drcení i následné stanovení radiální pevnosti hodnoceno 10 tablet.

3.4 Použité statistické metody

K získání základních dat byl použit řídicí software trhacího lisu testXpert v9.01. Pro zjištění a výpočet parametrů byl použit program Origin v7.5. Tyto data byla poté statisticky hodnocena v programu QC Expert v3.3. Rovněž byl použit vícefaktorový test ANOVA. Výsledky byly zpracovány do grafů.

4. Tabulky a grafy

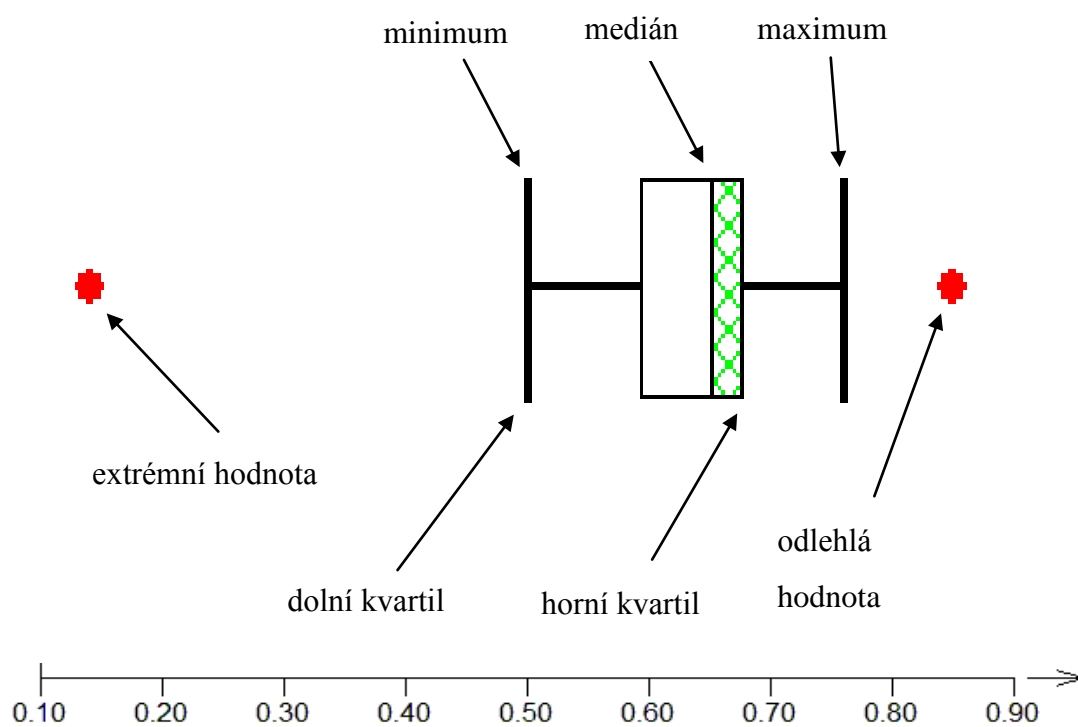
4.1 Vysvětlivky k tabulkám a grafům

Pro lepší přehlednost jsou v kulatých závorkách uvedeny metody, kterých se jednotlivé parametry týkají. V hranatých závorkách jsou uvedeny jednotky daných parametrů.

a_1	objemová redukce tabletoviny ve fázi předlisování (rce lisování) [bezr.]
a_2	objemová redukce tabletoviny ve fázi elastické deformace (rce lisování) [bezr.]
a_3	objemová redukce tabletoviny ve fázi plastické deformace (rce lisování) [bezr.]
A'_{1-3}	vzájemné působení částic v různém stádiu deformace - modul elasticity (stres. relaxace) [MPa]
ΔC_p	specifický tepelný přírůstek (DSC) [J/(g.°C)]
d	průměr tablety (pevnost tablety) [mm]
DS	drtící síla (kinetika drcení) [N]
E	celková energie lisovacího procesu (rce lisování) [mJ]
E_1	energie spotřebovaná na redukci objemu a_1 (rce lisování) [mJ]
E_2	energie spotřebovaná na redukci objemu a_2 (rce lisování) [mJ]
E_3	energie spotřebovaná na redukci objemu a_3 (rce lisování) [mJ]
E'_1	energie ztracená v důsledku tření mezi částicemi a plochami matrice (síla-dráha) [J]
E'_2	energie akumulovaná v tabletě po vylisování (síla-dráha) [J]
E'_3	energie, která se po vylisování z tablety uvolní (síla-dráha) [J]
E'_{lis}	energie spotřebovaná na vylisování tablety (síla-dráha) [J]
F_{max}	drtící síla (pevnost tablety) [N]
FP	faktor plasticity (síla-dráha) [%]
h	výška tablety (pevnost tablety) [mm]
H	teplo tání (DSC) [J/g]
l	drtící dráha (kinetika drcení) [mm]
P_{H1}	lisovací tlak, při kterém dochází k redukci objemu interpartikulárních pórů na polovinu počátečního stavu (rce lisování) [MPa]
P_{H2}	lisovací tlak, při kterém dochází k redukci objemu intrapartikulárních pórů na polovinu počátečního stavu (rce lisování) [MPa]

P_{H3}	lisovací tlak, při kterém dochází k redukci objemu pevné látky bez pórů na polovinu počátečního stavu (rce lisování) [MPa]
P'_{1-3}	plasticita v různém stádiu deformace (stres. relaxace) [MPa.s]
R_1	procentuální podíl E_1 (rce lisování) [%]
R_2	procentuální podíl E_2 (rce lisování) [%]
R_3	procentuální podíl E_3 (rce lisování) [%]
RP	radiální pevnost (pevnost tablety) [MPa]
s	směrodatná odchylka
T_{max}	teplota tání (DSC) [°C]
T_g	teplota skelného přechodu (DSC) [°C]
$1/t_1$	rychlost objemové redukce ve fázi předlisování (rce lisování) [MPa ⁻¹]
$1/t_2$	rychlost objemové redukce ve fázi elastické deformace (rce lisování) [MPa ⁻¹]
$1/t_3$	rychlost objemové redukce ve fázi plastické deformace (rce lisování) [MPa ⁻¹]
T'_{1-3}	relaxační konstanta příslušného děje (stres. relaxace) [s]
W	destrukční energie (kinetika drcení [J]
X	aritmetický průměr [bezr.]
y_0	teoretická maximální objemová redukce při nekonečně vysokém lisovacím tlaku (rce lisování) [bezr.]

Ke grafické interpretaci výsledků byl použit krabicový diagram. Horní a dolní strana základního obdélníku (krabice) odpovídá hornímu a dolnímu kvartilu. Vodorovná čára uvnitř krabice odpovídá mediánu naměřených hodnot. Výšku krabice nazýváme mezikvartilovým rozpětím. Dolní vodorovná úsečka znázorňuje hodnoty, které leží pod krabicí ve vzdálenosti nejvýše 1,5 násobku výšky krabice. Konec této úsečky označovaný jako minimum odpovídá nejmenší takové hodnotě souboru dat. Obdobně je tomu také u maxima, které znázorňuje nejvyšší naměřenou hodnotu, která leží nejvýše 1,5 násobku výšky krabice. Mimo zmiňované rozmezí jsou znázorněny body odpovídající odlehlým, případně extrémním hodnotám, které vznikly pravděpodobně v důsledku chyby měření.



Obrázek č. 11: Krabicový diagram

4.2 Tabulky

Tabulka č. 2: Velikost částic jednotlivých Avicelů

Typ plniva	Deklarovaná velikost částic [μm]	Naměřená velikost částic [μm]	
		\bar{X}	s
Avicel PH-101	50	52,32	23,51
Avicel PH-102	100	95,37	45,21
Avicel PH-103	50	48,87	35,65
Avicel PH-105	20	23,04	9,81
Avicel PH-112	100	99,86	44,28
Avicel PH-200	180	160,00	66,55
Avicel PH-302	100	86,45	34,01

Tabulka č. 3: Sypnost, sypný úhel, sypná a setřesná hustota, index stlačitelnosti jednotlivých Avicelů

Typ plniva	Tokové vlastnosti		Sypná a setřesná hustota							
	Sypnost [g/s]	Sypný úhel [°]	Sypná hustota (odměrný válec) [g/ml]		Sypná hustota (volumetr) [g/ml]		Setřesná hustota (odměrný válec) [g/ml]		Index stlačitelnosti [%]	
			X	s	X	s	X	s	X	s
Avicel PH-101	0-0,1	51,6	0,336	0,003	0,311	0,002	0,463	0,001	27,4	0,346
Avicel PH-102	0-0,1	47,0	0,346	0,009	0,317	0,001	0,501	0,010	30,9	0,702
Avicel PH-103	0	48,2	0,334	0,003	-	-	0,429	0,002	22,0	1,000
Avicel PH-105	0	Nezměřeno	0,344	0,005	0,273	0,005	0,440	0,008	21,8	0,346
Avicel PH-112	6,7	41,1	0,358	0,004	0,318	0,001	0,448	0,001	20,1	0,945
Avicel PH-200	15,1	37,5	0,380	0,002	0,358	0,002	0,460	0,001	17,3	0,416
Avicel PH-302	0-0,2	43,7	0,482	0,003	0,456	0,003	0,622	0,004	22,5	0,416

Tabulka č. 4A Parametry rovnice lisování u Avicelu PH-101 (tablety č. 1-10)

Parametr	Tableta číslo									
	1	2	3	4	5	6	7	8	9	10
a_1 [bezr.]	0,330	0,323	0,322	0,313	0,323	0,323	0,314	0,324	0,320	0,322
a_2 [bezr.]	0,338	0,338	0,337	0,344	0,340	0,339	0,346	0,341	0,345	0,344
a_3 [bezr.]	0,333	0,340	0,340	0,344	0,337	0,338	0,340	0,336	0,335	0,334
y_0 [bezr.]	0,097	0,094	0,093	0,095	0,096	0,096	0,098	0,097	0,098	0,100
$1/t_1$ [MPa ⁻¹]	2,322	2,103	2,064	1,970	2,062	2,036	2,053	2,097	2,041	1,973
$1/t_2$ [MPa ⁻¹]	0,125	0,120	0,120	0,117	0,116	0,118	0,118	0,117	0,118	0,114
$1/t_3$ [MPa ⁻¹]	0,008	0,008	0,008	0,008	0,008	0,008	0,008	0,008	0,008	0,008
P_{H1} [MPa]	0,299	0,330	0,336	0,352	0,336	0,340	0,338	0,331	0,340	0,351
P_{H2} [MPa]	5,536	5,793	5,778	5,913	5,975	5,902	5,858	5,927	5,867	6,058
P_{H3} [MPa]	87,110	90,313	90,669	91,588	90,852	90,293	90,406	90,318	90,266	89,995
E [mJ]	56 106,2	58 129,2	58 398,0	58 999,4	58 548,7	57 910,7	58 035,3	57 870,9	57 328,2	57 488,1
E_1 [mJ]	178,313	188,930	192,141	192,940	193,929	195,661	187,243	190,915	192,699	201,048
E_2 [mJ]	3 390,86	3 476,80	3 459,97	3 569,34	3 623,52	3 557,36	3 570,52	3 600,10	3 588,96	3 710,09
E_3 [mJ]	52 537,0	54 463,5	54 745,9	55 237,2	54 731,2	54 157,7	54 277,5	54 079,9	53 546,6	53 577,0
R_1 [%]	0,318	0,325	0,329	0,327	0,331	0,338	0,323	0,330	0,336	0,350
R_2 [%]	6,044	5,981	5,925	6,050	6,189	6,143	6,152	6,221	6,260	6,454
R_3 [%]	93,639	93,694	93,746	93,623	93,480	93,519	93,525	93,449	93,404	93,197

Tabulka č. 4B: Parametry rovnice lisování u Avicelu PH-101 (tablety č. 11-20)

Parametr	Tableta číslo									
	11	12	13	14	15	16	17	18	19	20
a_1 [bezr.]	0,320	0,329	0,308	0,321	0,334	0,319	0,313	0,324	0,318	0,319
a_2 [bezr.]	0,341	0,333	0,340	0,338	0,331	0,340	0,344	0,340	0,344	0,343
a_3 [bezr.]	0,339	0,338	0,352	0,341	0,335	0,341	0,343	0,336	0,339	0,338
y_0 [bezr.]	0,097	0,097	0,091	0,093	0,095	0,097	0,095	0,097	0,096	0,096
$1/t_1$ [MPa ⁻¹]	2,071	2,374	1,731	2,187	2,366	2,085	1,952	2,136	2,062	2,020
$1/t_2$ [MPa ⁻¹]	0,118	0,122	0,111	0,119	0,123	0,118	0,116	0,119	0,117	0,116
$1/t_3$ [MPa ⁻¹]	0,008	0,008	0,007	0,008	0,008	0,008	0,008	0,008	0,008	0,008
P_{H1} [MPa]	0,335	0,292	0,400	0,317	0,293	0,333	0,355	0,325	0,336	0,343
P_{H2} [MPa]	5,877	5,700	6,262	5,847	5,633	5,879	5,956	5,832	5,904	5,992
P_{H3} [MPa]	89,876	86,823	95,044	90,332	87,943	90,061	91,625	89,448	90,928	91,581
E [mJ]	57 875,3	56 716,7	61 552,0	58 600,1	56 998,3	58 185,5	58 868,9	57 300,1	58 202,5	58 373,3
E_1 [mJ]	190,245	173,635	212,230	181,214	177,485	188,159	194,387	187,645	188,906	192,747
E_2 [mJ]	3 562,94	3 438,34	3 670,51	3 513,49	3 382,23	3 538,34	3 591,58	3 540,12	3 586,88	3 614,95
E_3 [mJ]	54 122,1	53 104,7	57 669,2	54 905,4	53 438,6	54 459,0	55 082,9	53 572,4	54 426,7	54 565,6
R_1 [%]	0,329	0,306	0,345	0,309	0,311	0,323	0,330	0,328	0,325	0,330
R_2 [%]	6,156	6,062	5,963	5,996	5,934	6,081	6,101	6,178	6,163	6,193
R_3 [%]	93,515	93,632	93,692	93,695	93,755	93,596	93,569	93,494	93,513	93,477

Tabulka č. 5A: Parametry rovnice lisování u Avicelu PH-102 (tablety č. 1-10)

Parametr	Tableta číslo									
	1	2	3	4	5	6	7	8	9	10
a_1 [bezr.]	0,505	0,285	0,310	0,291	0,309	0,287	0,308	0,302	0,297	0,301
a_2 [bezr.]	0,244	0,350	0,339	0,348	0,341	0,351	0,341	0,344	0,347	0,346
a_3 [bezr.]	0,251	0,365	0,351	0,361	0,350	0,361	0,351	0,353	0,355	0,353
y_0 [bezr.]	0,079	0,094	0,094	0,094	0,101	0,095	0,094	0,094	0,093	0,094
$1/t_1$ [MPa ⁻¹]	5,610	1,767	2,215	1,887	2,144	1,801	2,188	2,048	1,997	1,968
$1/t_2$ [MPa ⁻¹]	0,151	0,103	0,114	0,106	0,113	0,107	0,114	0,111	0,110	0,108
$1/t_3$ [MPa ⁻¹]	0,009	0,007	0,008	0,007	0,008	0,007	0,008	0,008	0,008	0,007
P_{H1} [MPa]	0,124	0,392	0,313	0,367	0,323	0,385	0,317	0,338	0,347	0,352
P_{H2} [MPa]	4,594	6,730	6,074	6,560	6,145	6,498	6,076	6,238	6,296	6,420
P_{H3} [MPa]	74,768	94,638	90,432	93,758	88,190	94,372	90,814	91,926	92,742	93,412
E [mJ]	49 643,26	62 204,74	59 415,47	61 649,03	58 174,55	61 747,47	59 658,35	60 114,03	60 729,43	60 955,06
E_1 [mJ]	155,150	187,637	170,395	182,248	176,011	187,254	171,018	177,027	177,850	183,246
E_2 [mJ]	2 790,80	3 956,43	3 613,63	3 887,14	3 690,14	3 864,64	3 635,35	3 716,86	3 765,29	3 830,10
E_3 [mJ]	46 697,3	58 060,7	55 631,5	57 579,6	54 308,4	57 695,6	55 852,0	56 220,1	56 786,3	56 941,7
R_1 [%]	0,313	0,302	0,287	0,296	0,303	0,303	0,287	0,295	0,293	0,301
R_2 [%]	5,622	6,360	6,082	6,305	6,343	6,259	6,094	6,183	6,200	6,284
R_3 [%]	94,066	93,338	93,631	93,399	93,354	93,438	93,620	93,523	93,507	93,416

Tabulka č. 5B: Parametry rovnice lisování u Avicelu PH-102 (tablety č. 11-20)

Parametr	Tableta číslo									
	11	12	13	14	15	16	17	18	19	20
a_1 [bezr.]	0,303	0,301	0,313	0,295	0,306	0,302	0,301	0,299	0,304	0,304
a_2 [bezr.]	0,341	0,343	0,339	0,348	0,343	0,346	0,345	0,347	0,346	0,346
a_3 [bezr.]	0,356	0,357	0,348	0,357	0,352	0,352	0,354	0,354	0,350	0,350
y_0 [bezr.]	0,096	0,096	0,098	0,100	0,097	0,096	0,097	0,096	0,095	0,094
$1/t_1$ [MPa ⁻¹]	2,073	1,998	2,244	1,890	2,061	2,007	1,951	1,942	2,019	2,090
$1/t_2$ [MPa ⁻¹]	0,109	0,108	0,113	0,107	0,110	0,109	0,109	0,107	0,110	0,112
$1/t_3$ [MPa ⁻¹]	0,008	0,008	0,008	0,008	0,008	0,008	0,008	0,007	0,008	0,008
P_{H1} [MPa]	0,334	0,347	0,309	0,367	0,336	0,345	0,355	0,357	0,343	0,332
P_{H2} [MPa]	6,334	6,429	6,143	6,497	6,285	6,362	6,351	6,462	6,284	6,207
P_{H3} [MPa]	91,651	92,393	89,425	91,698	91,000	92,113	92,322	93,673	92,783	92,149
E [mJ]	60 768,4	60 889,4	58 832,9	60 230,5	59 563,7	60 237,9	60 390,5	61 093,9	60 392,3	60 090,8
E_1 [mJ]	176,371	180,025	170,675	185,485	178,871	181,104	184,603	183,196	181,439	175,300
E_2 [mJ]	3 757,45	3 807,23	3 677,11	3 879,01	3 747,27	3 813,27	3 785,26	3 858,18	3 773,88	3 744,41
E_3 [mJ]	56 834,5	56 902,2	54 985,1	56 166,0	55 637,6	56 243,5	56 420,6	57 052,5	56 436,9	56 171,1
R_1 [%]	0,290	0,296	0,290	0,308	0,300	0,301	0,306	0,300	0,300	0,292
R_2 [%]	6,183	6,253	6,250	6,440	6,291	6,330	6,268	6,315	6,249	6,231
R_3 [%]	93,527	93,452	93,460	93,252	93,409	93,369	93,426	93,385	93,451	93,477

Tabulka č. 6A: Parametry rovnice lisování u Avicelu PH-103 (tablety č. 1-10)

Parametr	Tableta číslo									
	1	2	3	4	5	6	7	8	9	10
a_1 [bezr.]	0,214	0,207	0,217	0,217	0,219	0,224	0,220	0,221	0,223	0,217
a_2 [bezr.]	0,439	0,441	0,437	0,440	0,440	0,437	0,437	0,437	0,434	0,436
a_3 [bezr.]	0,347	0,352	0,347	0,344	0,341	0,339	0,343	0,342	0,343	0,347
y_0 [bezr.]	0,087	0,083	0,089	0,089	0,089	0,090	0,085	0,088	0,087	0,081
$1/t_1$ [MPa ⁻¹]	1,579	1,523	1,546	1,607	1,527	1,674	1,586	1,635	1,510	1,449
$1/t_2$ [MPa ⁻¹]	0,094	0,095	0,095	0,097	0,095	0,099	0,099	0,097	0,098	0,098
$1/t_3$ [MPa ⁻¹]	0,007	0,007	0,007	0,007	0,007	0,007	0,007	0,007	0,007	0,007
P_{H1} [MPa]	0,439	0,455	0,448	0,431	0,454	0,414	0,437	0,424	0,459	0,478
P_{H2} [MPa]	7,339	7,262	7,299	7,179	7,266	7,028	7,029	7,130	7,100	7,058
P_{H3} [MPa]	97,273	98,616	96,723	96,193	96,793	94,264	96,837	95,842	96,495	98,406
E [mJ]	65 769,4	66 444,0	65 236,8	64 434,8	64 563,7	63 245,0	64 621,7	64 149,4	64 515,4	65 979,3
E_1 [mJ]	166,514	165,112	172,037	165,727	176,472	166,937	170,294	166,914	181,535	183,573
E_2 [mJ]	5 704,27	5 606,01	5 644,30	5 596,03	5 690,75	5 522,15	5 454,44	5 560,41	5 473,15	5 440,00
E_3 [mJ]	59 898,6	60 672,9	59 420,5	58 673,0	58 696,4	57 555,9	58 997,0	58 422,1	58 860,7	60 355,7
R_1 [%]	0,253	0,249	0,264	0,257	0,273	0,264	0,264	0,260	0,281	0,278
R_2 [%]	8,673	8,437	8,652	8,685	8,814	8,731	8,441	8,668	8,484	8,245
R_3 [%]	91,074	91,314	91,084	91,058	90,913	91,005	91,296	91,072	91,235	91,477

Tabulka č. 6B: Parametry rovnice lisování u Avicelu PH-103 (tablety č. 11-20)

Parametr	Tableta číslo									
	11	12	13	14	15	16	17	18	19	20
a_1 [bezr.]	0,215	0,216	0,308	0,217	0,227	0,217	0,218	0,224	0,216	0,220
a_2 [bezr.]	0,440	0,436	0,340	0,438	0,432	0,437	0,436	0,436	0,439	0,436
a_3 [bezr.]	0,344	0,348	0,352	0,345	0,341	0,346	0,346	0,340	0,345	0,343
y_0 [bezr.]	0,090	0,091	0,091	0,090	0,087	0,086	0,089	0,088	0,087	0,086
$1/t_1$ [MPa ⁻¹]	1,597	1,497	1,731	1,567	1,816	1,518	1,553	1,791	1,590	1,437
$1/t_2$ [MPa ⁻¹]	0,096	0,096	0,111	0,097	0,100	0,097	0,097	0,100	0,099	0,097
$1/t_3$ [MPa ⁻¹]	0,007	0,007	0,007	0,007	0,007	0,007	0,007	0,007	0,007	0,007
P_{H1} [MPa]	0,434	0,463	0,400	0,442	0,382	0,457	0,446	0,387	0,436	0,483
P_{H2} [MPa]	7,248	7,261	6,262	7,182	6,963	7,153	7,170	6,910	7,040	7,178
P_{H3} [MPa]	95,720	95,064	95,044	95,369	93,950	96,863	95,514	93,945	96,330	97,581
E [mJ]	64 386,2	64 316,5	61 552,0	64 118,1	63 595,1	65 168,4	64 331,5	63 130,4	64 519,2	65 128,5
E_1 [mJ]	166,084	177,067	212,230	170,511	156,637	175,891	172,472	155,860	166,488	188,472
E_2 [mJ]	5 671,96	5 608,10	3 670,51	5 590,36	5 439,18	5 548,34	5 541,57	5 421,47	5 470,06	5 550,69
E_3 [mJ]	58 548,2	58 531,4	57 669,2	58 357,2	57 999,3	59 444,2	58 617,4	57 553,1	58 882,6	59 389,4
R_1 [%]	0,258	0,275	0,345	0,266	0,246	0,270	0,268	0,247	0,258	0,289
R_2 [%]	8,809	8,720	5,963	8,719	8,553	8,514	8,614	8,588	8,478	8,523
R_3 [%]	90,933	91,005	93,692	91,015	91,201	91,216	91,118	91,165	91,264	91,188

Tabulka č. 7A: Parametry rovnice lisování u Avicelu PH-105 (tablety č. 1-10)

Parametr	Tableta číslo									
	1	2	3	4	5	6	7	8	9	10
a_1 [bezr.]	0,439	0,263	0,269	0,274	0,277	0,294	0,288	0,293	0,298	0,294
a_2 [bezr.]	0,278	0,349	0,351	0,356	0,353	0,349	0,358	0,354	0,355	0,356
a_3 [bezr.]	0,284	0,388	0,380	0,370	0,369	0,357	0,353	0,353	0,348	0,351
y_0 [bezr.]	0,084	0,091	0,096	0,093	0,096	0,097	0,096	0,097	0,099	0,099
$1/t_1$ [MPa ⁻¹]	5,037	2,208	2,290	2,154	2,241	2,515	2,357	2,414	2,527	2,392
$1/t_2$ [MPa ⁻¹]	0,128	0,099	0,100	0,103	0,104	0,109	0,111	0,111	0,113	0,111
$1/t_3$ [MPa ⁻¹]	0,008	0,007	0,007	0,007	0,007	0,008	0,007	0,008	0,008	0,008
P_{H1} [MPa]	0,138	0,314	0,303	0,322	0,309	0,276	0,294	0,287	0,274	0,290
P_{H2} [MPa]	5,421	6,978	6,917	6,724	6,660	6,338	6,247	6,249	6,143	6,238
P_{H3} [MPa]	83,170	98,585	96,558	97,891	96,139	92,595	93,554	92,888	90,849	91,784
E [mJ]	52 598,4	64 485,8	62 825,5	62 225,4	61 462,6	58 958,7	58 616,8	58 605,6	56 991,0	57 537,4
E_1 [mJ]	125,987	130,420	130,351	141,424	139,001	135,002	140,554	140,286	137,396	141,907
E_2 [mJ]	3 141,10	3 846,65	3 883,20	3 849,63	3 814,01	3 692,56	3 709,27	3 690,84	3 669,12	3 707,33
E_3 [mJ]	49 331,3	60 508,7	58 811,9	58 234,3	57 509,6	55 131,2	54 766,9	54 774,5	53 184,5	53 688,2
R_1 [%]	0,240	0,202	0,208	0,227	0,226	0,229	0,240	0,239	0,241	0,247
R_2 [%]	5,972	5,965	6,181	6,187	6,205	6,263	6,328	6,298	6,438	6,443
R_3 [%]	93,789	93,833	93,612	93,586	93,568	93,508	93,432	93,463	93,321	93,310

Tabulka č. 7B: Parametry rovnice lisování u Avicelu PH-105 (tablety č. 11-20)

Parametr	Tableta číslo									
	11	12	13	14	15	16	17	18	19	20
a_1 [bezr.]	0,273	0,282	0,273	0,278	0,289	0,305	0,284	0,283	0,305	0,279
a_2 [bezr.]	0,348	0,346	0,353	0,357	0,352	0,347	0,358	0,359	0,349	0,363
a_3 [bezr.]	0,379	0,372	0,374	0,365	0,359	0,349	0,358	0,358	0,346	0,357
y_0 [bezr.]	0,093	0,093	0,097	0,094	0,096	0,096	0,101	0,094	0,095	0,102
$1/t_1$ [MPa ⁻¹]	2,238	2,479	2,201	2,170	2,512	2,700	2,234	2,186	2,729	2,064
$1/t_2$ [MPa ⁻¹]	0,101	0,106	0,103	0,105	0,110	0,112	0,108	0,109	0,116	0,106
$1/t_3$ [MPa ⁻¹]	0,007	0,007	0,007	0,007	0,008	0,008	0,008	0,007	0,008	0,007
P_{H1} [MPa]	0,310	0,280	0,315	0,320	0,276	0,257	0,310	0,317	0,254	0,336
P_{H2} [MPa]	6,896	6,527	6,720	6,599	6,292	6,173	6,412	6,341	5,987	6,535
P_{H3} [MPa]	96,015	94,474	95,605	96,680	93,025	91,598	92,800	95,206	90,668	93,550
E [mJ]	62 196,5	61 205,8	61 512,5	61 155,9	59 254,9	57 921,9	58 530,8	59 906,2	57 051,1	58 354,5
E_1 [mJ]	135,200	128,743	138,500	143,752	132,323	132,625	145,015	147,412	131,620	152,488
E_2 [mJ]	3 834,18	3 688,00	3 820,33	3 812,81	3 672,14	3 634,19	3 775,69	3 733,66	3 554,57	3 859,88
E_3 [mJ]	58 227,1	57 389,0	57 553,7	57 199,3	55 450,4	54 155,1	54 610,1	56 025,1	53 364,9	54 342,1
R_1 [%]	0,217	0,210	0,225	0,235	0,223	0,229	0,248	0,246	0,231	0,261
R_2 [%]	6,165	6,026	6,211	6,235	6,197	6,274	6,451	6,233	6,231	6,615
R_3 [%]	93,618	93,764	93,564	93,530	93,580	93,497	93,302	93,521	93,539	93,124

Tabulka č. 8A: Parametry rovnice lisování u Avicelu PH-112 (tablety č. 1-10)

Parametr	Tableta číslo									
	1	2	3	4	5	6	7	8	9	10
a_1 [bezr.]	0,138	0,157	0,168	0,165	0,168	0,147	0,152	0,165	0,165	0,165
a_2 [bezr.]	0,507	0,503	0,500	0,508	0,507	0,504	0,505	0,498	0,504	0,504
a_3 [bezr.]	0,355	0,340	0,332	0,328	0,326	0,349	0,344	0,337	0,331	0,332
y_0 [bezr.]	0,093	0,094	0,095	0,096	0,097	0,090	0,092	0,091	0,095	0,093
$1/t_1$ [MPa ⁻¹]	1,361	1,589	1,750	1,537	1,570	1,639	1,443	1,624	1,611	1,529
$1/t_2$ [MPa ⁻¹]	0,090	0,102	0,107	0,104	0,105	0,096	0,100	0,105	0,107	0,107
$1/t_3$ [MPa ⁻¹]	0,007	0,008	0,008	0,008	0,008	0,007	0,007	0,008	0,008	0,008
P_{H1} [MPa]	0,509	0,436	0,396	0,451	0,442	0,423	0,481	0,427	0,430	0,453
P_{H2} [MPa]	7,692	6,818	6,503	6,667	6,617	7,197	6,969	6,601	6,484	6,479
P_{H3} [MPa]	95,337	91,182	88,890	90,520	90,482	94,401	93,552	91,537	90,061	91,354
E [mJ]	67 680,3	63 495,7	61 625,1	61 629,5	61 369,1	66 976,1	65 060,8	63 046,3	61 593,1	62 051,4
E_1 [mJ]	125,652	125,622	124,535	137,918	138,032	113,400	132,766	129,763	131,497	137,774
E_2 [mJ]	6 988,57	6 314,67	6 105,29	6 289,62	6 257,20	6 623,90	6 403,12	6 061,34	6 072,03	6 021,78
E_3 [mJ]	60 566,1	57 055,4	55 395,3	55 202,0	54 973,9	60 238,8	58 524,9	56 855,2	55 389,6	55 891,9
R_1 [%]	0,186	0,198	0,202	0,224	0,225	0,169	0,204	0,206	0,214	0,222
R_2 [%]	10,326	9,945	9,907	10,206	10,196	9,890	9,842	9,614	9,858	9,705
R_3 [%]	89,489	89,857	89,891	89,571	89,579	89,941	89,954	90,180	89,928	90,074

Tabulka č. 8B: Parametry rovnice lisování u Avicelu PH-112 (tablety č. 11-20)

Parametr	Tableta číslo									
	11	12	13	14	15	16	17	18	19	20
a_1 [bezr.]	0,172	0,282	0,157	0,161	0,164	0,180	0,174	0,178	0,182	0,162
a_2 [bezr.]	0,505	0,346	0,507	0,506	0,506	0,498	0,506	0,501	0,499	0,495
a_3 [bezr.]	0,323	0,372	0,337	0,333	0,330	0,322	0,320	0,321	0,319	0,343
y_0 [bezr.]	0,095	0,093	0,093	0,094	0,094	0,094	0,095	0,093	0,092	0,088
$1/t_1$ [MPa ⁻¹]	1,607	2,479	1,591	1,521	1,605	1,555	1,691	1,487	1,520	1,643
$1/t_2$ [MPa ⁻¹]	0,110	0,106	0,103	0,106	0,108	0,112	0,115	0,114	0,115	0,101
$1/t_3$ [MPa ⁻¹]	0,008	0,007	0,008	0,008	0,008	0,008	0,008	0,008	0,008	0,007
P_{H1} [MPa]	0,431	0,280	0,436	0,456	0,432	0,446	0,410	0,466	0,456	0,422
P_{H2} [MPa]	6,331	6,527	6,749	6,551	6,445	6,194	6,036	6,093	6,022	6,868
P_{H3} [MPa]	89,513	94,474	91,829	91,209	90,413	89,708	88,333	89,835	89,670	93,543
E [mJ]	60 403,3	61 205,8	63 393,9	62 338,3	61 781,0	60 251,5	59 209,9	60 081,8	59 878,8	65 581,3
E_1 [mJ]	139,316	128,743	125,522	135,155	132,149	150,665	134,689	155,894	157,023	125,582
E_2 [mJ]	6 007,84	3 688,00	6 297,74	6 113,60	6 077,16	5 801,43	5 754,43	5 743,14	5 673,58	6 269,99
E_3 [mJ]	54 256,1	57 389,0	56 970,7	56 089,5	55 571,7	54 299,4	53 320,8	54 182,8	54 048,2	59 185,7
R_1 [%]	0,231	0,210	0,198	0,217	0,214	0,250	0,228	0,260	0,262	0,192
R_2 [%]	9,946	6,026	9,934	9,807	9,837	9,629	9,719	9,559	9,475	9,561
R_3 [%]	89,823	93,764	89,868	89,976	89,950	90,121	90,054	90,182	90,263	90,248

Tabulka č. 9A: Parametry rovnice lisování u Avicelu PH-200 (tablety č. 1-10)

Parametr	Tableta číslo									
	1	2	3	4	5	6	7	8	9	10
a_1 [bezr.]	0,136	0,130	0,142	0,134	0,131	0,133	0,136	0,136	0,139	0,130
a_2 [bezr.]	0,518	0,523	0,512	0,517	0,521	0,520	0,518	0,518	0,514	0,526
a_3 [bezr.]	0,346	0,347	0,346	0,349	0,348	0,347	0,346	0,346	0,346	0,345
y_0 [bezr.]	0,090	0,091	0,089	0,091	0,090	0,090	0,094	0,090	0,089	0,089
$1/t_1$ [MPa ⁻¹]	1,471	1,485	1,425	1,429	1,393	1,550	1,520	1,434	1,461	1,441
$1/t_2$ [MPa ⁻¹]	0,104	0,103	0,103	0,102	0,102	0,102	0,102	0,102	0,102	0,101
$1/t_3$ [MPa ⁻¹]	0,007	0,007	0,007	0,007	0,007	0,007	0,007	0,007	0,007	0,007
P_{H1} [MPa]	0,471	0,467	0,486	0,485	0,498	0,447	0,456	0,483	0,475	0,481
P_{H2} [MPa]	6,687	6,705	6,756	6,827	6,826	6,782	6,828	6,830	6,822	6,867
P_{H3} [MPa]	93,868	94,277	95,237	95,459	96,048	95,586	93,714	95,990	95,754	96,454
E [mJ]	63 527,9	63 441,8	64 030,9	64 014,6	64 351,7	63 969,9	62 984,6	64 171,6	64 362,7	63 465,8
E_1 [mJ]	113,090	106,194	121,214	113,066	113,203	103,620	108,827	114,426	115,939	107,283
E_2 [mJ]	6 115,97	6 126,30	6 080,60	6 122,61	6 169,61	6 139,94	6 183,36	6 160,44	6 147,22	6 202,91
E_3 [mJ]	57 298,8	57 209,3	57 829,1	57 778,9	58 068,9	57 726,3	56 692,5	57 896,7	58 099,5	57 155,6
R_1 [%]	0,178	0,167	0,189	0,177	0,176	0,162	0,173	0,178	0,180	0,169
R_2 [%]	9,627	9,657	9,496	9,564	9,587	9,598	9,817	9,600	9,551	9,774
R_3 [%]	90,195	90,176	90,314	90,259	90,237	90,240	90,010	90,222	90,269	90,057

Tabulka č. 9B: Parametry rovnice lisování u Avicelu PH-200 (tablety č. 11-20)

Parametr	Tableta číslo									
	11	12	13	14	15	16	17	18	19	20
a_1 [bezr.]	0,140	0,134	0,137	0,138	0,139	0,131	0,135	0,143	0,128	0,139
a_2 [bezr.]	0,518	0,519	0,516	0,515	0,512	0,517	0,517	0,513	0,518	0,510
a_3 [bezr.]	0,342	0,347	0,348	0,347	0,350	0,352	0,348	0,344	0,354	0,351
y_0 [bezr.]	0,088	0,092	0,091	0,093	0,089	0,088	0,090	0,097	0,090	0,090
$1/t_1$ [MPa ⁻¹]	1,410	1,448	1,507	1,486	1,508	1,381	1,486	1,582	1,416	1,518
$1/t_2$ [MPa ⁻¹]	0,102	0,101	0,102	0,103	0,101	0,101	0,103	0,105	0,101	0,103
$1/t_3$ [MPa ⁻¹]	0,007	0,007	0,007	0,007	0,007	0,007	0,007	0,008	0,007	0,007
P_{H1} [MPa]	0,492	0,479	0,460	0,466	0,460	0,502	0,466	0,438	0,490	0,457
P_{H2} [MPa]	6,828	6,869	6,803	6,755	6,863	6,873	6,763	6,609	6,879	6,740
P_{H3} [MPa]	94,573	94,840	94,040	93,547	95,499	97,665	94,802	90,786	96,583	95,420
E [mJ]	63 439,5	63 899,8	63 781,5	63 304,0	64 656,9	65 579,4	63 919,4	61 670,9	65 030,6	64 268,1
E_1 [mJ]	121,019	112,222	110,434	113,415	111,349	113,394	110,226	111,085	107,455	110,473
E_2 [mJ]	6 242,76	6 231,97	6 162,73	6 126,76	6 144,01	6 124,77	6 113,77	6 025,35	6 132,98	5 967,42
E_3 [mJ]	57 075,7	57 555,6	57 508,4	57 063,9	58 401,6	59 341,2	57 695,4	55 534,5	58 790,2	58 190,2
R_1 [%]	0,191	0,176	0,173	0,179	0,172	0,173	0,172	0,180	0,165	0,172
R_2 [%]	9,841	9,753	9,662	9,678	9,503	9,340	9,565	9,770	9,431	9,285
R_3 [%]	89,969	90,072	90,165	90,143	90,325	90,488	90,263	90,050	90,404	90,543

Tabulka č. 10A: Parametry rovnice lisování u Avicelu PH-302 (tablety č. 1-10)

Parametr	Tableta číslo									
	1	2	3	4	5	6	7	8	9	10
a_1 [bezr.]	0,154	0,170	0,173	0,172	0,174	0,171	0,171	0,179	0,181	0,173
a_2 [bezr.]	0,391	0,387	0,384	0,388	0,391	0,392	0,389	0,394	0,395	0,399
a_3 [bezr.]	0,455	0,443	0,443	0,440	0,436	0,437	0,440	0,427	0,425	0,428
y_0 [bezr.]	0,083	0,096	0,086	0,087	0,087	0,094	0,082	0,096	0,098	0,097
$1/t_1$ [MPa ⁻¹]	1,161	1,400	1,444	1,456	1,439	1,311	1,379	1,511	1,569	1,363
$1/t_2$ [MPa ⁻¹]	0,062	0,065	0,068	0,069	0,069	0,067	0,069	0,071	0,072	0,070
$1/t_3$ [MPa ⁻¹]	0,006	0,006	0,006	0,006	0,006	0,006	0,006	0,006	0,006	0,006
P_{H1} [MPa]	0,597	0,495	0,480	0,476	0,482	0,529	0,503	0,459	0,442	0,509
P_{H2} [MPa]	11,112	10,670	10,268	9,984	10,105	10,341	10,046	9,821	9,689	9,962
P_{H3} [MPa]	121,970	116,135	117,366	116,502	117,871	116,640	120,164	114,094	113,730	116,590
E [mJ]	78 004,2	74 168,6	75 296,7	73 913,3	74 181,3	73 739,9	75 482,0	71 199,3	70 564,0	72 015,2
E_1 [mJ]	119,656	111,973	111,276	109,571	111,851	120,721	113,821	110,789	108,085	117,541
E_2 [mJ]	5 663,10	5 504,72	5 294,93	5 190,05	5 283,31	5 420,02	5 191,72	5 233,82	5 166,96	5 309,35
E_3 [mJ]	72 221,4	68 551,9	69 890,5	68 613,7	68 786,1	68 199,2	70 176,5	65 854,7	65 289,0	66 588,4
R_1 [%]	0,153	0,151	0,148	0,148	0,151	0,164	0,151	0,156	0,153	0,163
R_2 [%]	7,260	7,422	7,032	7,022	7,122	7,350	6,878	7,351	7,322	7,373
R_3 [%]	92,587	92,427	92,820	92,830	92,727	92,486	92,971	92,494	92,525	92,464

Tabulka č. 10B: Parametry rovnice lisování u Avicelu PH-302 (tablety č. 11-20)

Parametr	Tableta číslo									
	11	12	13	14	15	16	17	18	19	20
a_1 [bezr.]	0,171	0,166	0,164	0,168	0,170	0,173	0,172	0,179	0,175	0,174
a_2 [bezr.]	0,382	0,391	0,392	0,392	0,391	0,389	0,393	0,389	0,394	0,394
a_3 [bezr.]	0,447	0,443	0,444	0,441	0,438	0,439	0,434	0,432	0,432	0,432
y_0 [bezr.]	0,085	0,095	0,087	0,086	0,086	0,088	0,088	0,089	0,092	0,090
$1/t_1$ [MPa ⁻¹]	1,512	1,386	1,277	1,292	1,366	1,430	1,310	1,520	1,367	1,417
$1/t_2$ [MPa ⁻¹]	0,066	0,066	0,065	0,066	0,069	0,069	0,068	0,070	0,069	0,070
$1/t_3$ [MPa ⁻¹]	0,006	0,006	0,006	0,006	0,006	0,006	0,006	0,006	0,006	0,006
P_{H1} [MPa]	0,459	0,500	0,543	0,537	0,507	0,485	0,529	0,456	0,507	0,489
P_{H2} [MPa]	10,514	10,571	10,631	10,443	10,112	10,092	10,272	9,857	10,011	9,847
P_{H3} [MPa]	118,954	116,288	121,261	120,850	119,224	117,774	119,414	116,219	117,595	117,215
E [mJ]	76 529,2	74 123,5	76 367,4	75 983,6	74 628,1	74 296,0	74 515,5	72 959,4	73 220,6	72 902,3
E_1 [mJ]	104,809	110,223	117,173	119,189	114,415	111,716	121,481	110,042	118,507	113,556
E_2 [mJ]	5 367,67	5 492,82	5 484,67	5 413,94	5 244,95	5 237,45	5 378,54	5 175,50	5 270,49	5 186,17
E_3 [mJ]	71 056,8	68 520,5	70 765,5	70 450,5	69 268,8	68 946,9	69 015,4	67 673,9	67 831,6	67 602,5
R_1 [%]	0,137	0,149	0,153	0,157	0,153	0,150	0,163	0,151	0,162	0,156
R_2 [%]	7,014	7,410	7,182	7,125	7,028	7,049	7,218	7,094	7,198	7,114
R_3 [%]	92,849	92,441	92,665	92,718	92,819	92,800	92,619	92,756	92,640	92,730

Tabulka č. 11: Průměrné hodnoty parametrů a_1 , a_2 , a_3 a y_0 z rovnice lisování v závislosti na použitém Avicelu

Typ plniva	a_1 [bezr.]		a_2 [bezr.]		a_3 [bezr.]		y_0 [bezr.]	
	X	s	X	s	X	s	X	s
Avicel PH-101	0,321	0,006	0,340	0,004	0,339	0,004	0,096	0,002
Avicel PH-102	0,311	0,046	0,340	0,023	0,349	0,024	0,095	0,004
Avicel PH-103	0,223	0,020	0,432	0,022	0,345	0,003	0,088	0,003
Avicel PH-105	0,292	0,036	0,350	0,018	0,359	0,021	0,096	0,004
Avicel PH-112	0,170	0,029	0,496	0,035	0,335	0,013	0,093	0,002
Avicel PH-200	0,136	0,004	0,517	0,004	0,347	0,003	0,091	0,002
Avicel PH-302	0,171	0,006	0,391	0,004	0,438	0,007	0,089	0,005

Tabulka č. 12: Průměrné hodnoty parametrů $1/t_1$, $1/t_2$ a $1/t_3$ z rovnice lisování v závislosti na použitém Avicelu

Typ plniva	$1/t_1$ [MPa ⁻¹]		$1/t_2$ [MPa ⁻¹]		$1/t_3$ [MPa ⁻¹]	
	X	s	X	s	X	s
Avicel PH-101	2,085	0,147	0,118	0,003	0,008	0,000
Avicel PH-102	2,195	0,814	0,112	0,010	0,008	0,000
Avicel PH-103	1,587	0,102	0,098	0,003	0,007	0,000
Avicel PH-105	2,482	0,629	0,108	0,007	0,007	0,000
Avicel PH-112	1,617	0,220	0,106	0,006	0,008	0,000
Avicel PH-200	1,468	0,053	0,102	0,001	0,007	0,000
Avicel PH-302	1,395	0,097	0,068	0,002	0,006	0,000

Tabulka č. 13: Průměrné hodnoty parametrů P_{H1} , P_{H2} a P_{H3} z rovnice lisování v závislosti na použitém Avicelu

Typ plniva	P_{H1} [MPa]		P_{H2} [MPa]		P_{H3} [MPa]	
	X	s	X	s	X	s
Avicel PH-101	0,334	0,024	5,874	0,153	90,274	1,736
Avicel PH-102	0,334	0,054	6,249	0,424	91,213	4,185
Avicel PH-103	0,439	0,027	7,103	0,229	96,141	1,324
Avicel PH-105	0,289	0,042	6,420	0,365	93,682	3,370
Avicel PH-112	0,434	0,044	6,592	0,400	91,292	1,989
Avicel PH-200	0,473	0,017	6,796	0,071	95,007	1,449
Avicel PH-302	0,499	0,036	10,217	0,355	117,793	2,214

Tabulka č. 14: Průměrné hodnoty parametrů E , E_1 , E_2 a E_3 z rovnice lisování v závislosti na použitém Avicelu

Typ plniva	E [mJ]		E_1 [mJ]		E_2 [mJ]		E_3 [mJ]	
	X	s	X	s	X	s	X	s
Avicel PH-101	58 074,4	1 095,3	190,024	8,488	3 549,34	85,49	54 335,0	1 044,0
Avicel PH-102	59 839,1	2 587,2	178,245	7,515	3 729,67	237,56	55 931,2	2 349,7
Avicel PH-103	64 460,3	1 082,4	172,841	12,348	5 460,19	429,94	58 827,2	854,5
Avicel PH-105	59 569,9	2 662,5	137,500	6,809	3 719,46	162,31	55 712,9	2 528,3
Avicel PH-112	62 432,6	2 339,1	134,085	10,800	6 028,22	631,65	56 270,3	2 070,5
Avicel PH-200	63 893,6	803,2	111,897	4,361	6 136,07	62,87	57 645,6	800,3
Avicel PH-302	74 204,5	1 812,2	113,820	4,608	5 325,51	136,25	68 765,2	1 729,1

Tabulka č. 15: Průměrné hodnoty parametrů R_1 , R_2 a R_3 z rovnice lisování v závislosti na použitém Avicelu

Typ plniva	R_1 [%]		R_2 [%]		R_3 [%]	
	\bar{X}	s	\bar{X}	s	\bar{X}	s
Avicel PH-101	0,327	0,011	6,112	0,127	93,561	0,133
Avicel PH-102	0,298	0,007	6,227	0,166	93,475	0,166
Avicel PH-103	0,268	0,021	8,466	0,606	91,266	0,588
Avicel PH-105	0,231	0,015	6,246	0,160	93,523	0,172
Avicel PH-112	0,216	0,024	9,649	0,882	90,136	0,881
Avicel PH-200	0,175	0,007	9,605	0,149	90,220	0,151
Avicel PH-302	0,153	0,006	7,178	0,156	92,668	0,158

Tabulka č. 16: Hodnoty parametrů E'_1 , E'_2 , E'_3 , E'_{lis} a FP Avicelu PH-101 ze záznamu síla-dráha

Avicel PH-101					
Tableta číslo	E'_1	E'_2	E'_3	E'_{lis}	FP
	[J]	[J]	[J]	[J]	[%]
1	5,599	2,781	0,286	3,067	90,675
2	5,643	2,790	0,286	3,076	90,702
3	5,869	2,785	0,287	3,072	90,658
4	5,436	2,772	0,289	3,061	90,559
5	5,598	2,768	0,295	3,063	90,369
6	6,006	2,784	0,285	3,069	90,714
7	5,617	2,783	0,284	3,067	90,740
8	5,595	2,788	0,280	3,068	90,874
9	5,570	2,780	0,286	3,066	90,672
10	5,684	2,789	0,288	3,077	90,640
11	5,796	2,776	0,292	3,068	90,482
12	5,881	2,784	0,289	3,073	90,596
13	5,887	2,790	0,292	3,082	90,526
14	5,676	2,783	0,287	3,070	90,651
15	5,632	2,784	0,291	3,075	90,537
16	5,517	2,765	0,292	3,057	90,448
17	5,758	2,810	0,282	3,092	90,880
18	5,829	2,806	0,286	3,092	90,750
19	6,069	2,805	0,288	3,093	90,689
20	5,882	2,772	0,291	3,063	90,500

Tabulka č. 17: Hodnoty parametrů E'_1 , E'_2 , E'_3 , E'_{lis} a FP Avicelu PH-102 ze záznamu síla-dráha

Avicel PH-102					
Tableta číslo	E'_1	E'_2	E'_3	E'_{lis}	FP
	[J]	[J]	[J]	[J]	[%]
1	5,179	2,797	0,285	3,082	90,753
2	5,328	2,815	0,290	3,105	90,660
3	5,325	2,829	0,294	3,123	90,586
4	5,355	2,820	0,291	3,111	90,646
5	5,440	2,812	0,291	3,103	90,622
6	5,382	2,828	0,288	3,116	90,757
7	5,571	2,816	0,283	3,099	90,868
8	5,313	2,834	0,283	3,117	90,921
9	5,539	2,839	0,288	3,127	90,790
10	5,748	2,845	0,275	3,120	91,186
11	5,913	2,850	0,280	3,130	91,054
12	5,619	2,855	0,278	3,133	91,127
13	5,892	2,837	0,274	3,111	91,193
14	5,803	2,845	0,272	3,117	91,274
15	5,495	2,843	0,273	3,116	91,239
16	5,604	2,840	0,272	3,112	91,260
17	5,744	2,869	0,272	3,141	91,340
18	5,778	2,869	0,275	3,144	91,253
19	5,926	2,855	0,271	3,126	91,331
20	5,847	2,850	0,279	3,129	91,083

Tabulka č. 18: Hodnoty parametrů E'_1 , E'_2 , E'_3 , E'_{lis} a FP Avicelu PH-103 ze záznamu síla-dráha

Avicel PH-103					
Tableta číslo	E'_1	E'_2	E'_3	E'_{lis}	FP
	[J]	[J]	[J]	[J]	[%]
1	4,600	3,606	0,290	3,896	92,556
2	4,920	3,602	0,296	3,898	92,406
3	4,641	3,584	0,295	3,879	92,395
4	4,721	3,601	0,292	3,893	92,499
5	4,836	3,592	0,298	3,890	92,339
6	4,624	3,587	0,295	3,882	92,401
7	4,661	3,587	0,292	3,879	92,472
8	5,000	3,593	0,298	3,891	92,341
9	4,832	3,580	0,303	3,883	92,197
10	4,945	3,578	0,295	3,873	92,383
11	4,578	3,587	0,304	3,891	92,187
12	4,539	3,604	0,292	3,896	92,505
13	4,860	3,601	0,291	3,892	92,523
14	4,567	3,596	0,297	3,893	92,371
15	4,714	3,590	0,292	3,882	92,478
16	4,896	3,591	0,289	3,880	92,552
17	4,945	3,597	0,287	3,884	92,611
18	5,363	3,610	0,291	3,901	92,540
19	4,923	3,596	0,296	3,892	92,395
20	4,913	3,600	0,289	3,889	92,569

Tabulka č. 19: Hodnoty parametrů E'_1 , E'_2 , E'_3 , E'_{lis} a FP Avicelu PH-105 ze záznamu síla-dráha

Avicel PH-105					
Tableta číslo	E'_1	E'_2	E'_3	E'_{lis}	FP
	[J]	[J]	[J]	[J]	[%]
1	4,342	2,630	0,284	2,914	90,254
2	4,263	2,659	0,282	2,941	90,411
3	4,661	2,671	0,283	2,954	90,420
4	4,610	2,689	0,286	2,975	90,387
5	4,389	2,696	0,279	2,975	90,622
6	4,433	2,727	0,272	2,999	90,930
7	4,556	2,742	0,268	3,010	91,096
8	4,431	2,731	0,272	3,003	90,942
9	4,725	2,750	0,270	3,020	91,060
10	4,834	2,725	0,278	3,003	90,743
11	4,780	2,742	0,273	3,015	90,945
12	4,789	2,735	0,269	3,004	91,045
13	4,551	2,740	0,266	3,006	91,151
14	4,535	2,753	0,263	3,016	91,280
15	5,019	2,775	0,267	3,042	91,223
16	5,082	2,764	0,272	3,036	91,041
17	4,918	2,742	0,269	3,011	91,066
18	4,431	2,760	0,259	3,019	91,421
19	5,110	2,755	0,269	3,024	91,104
20	4,784	2,766	0,266	3,032	91,227

Tabulka č. 20: Hodnoty parametrů E'_1 , E'_2 , E'_3 , E'_{lis} a FP Avicelu PH-112 ze záznamu síla-dráha

Avicel PH-112					
Tableta číslo	E'_1	E'_2	E'_3	E'_{lis}	FP
	[J]	[J]	[J]	[J]	[%]
1	4,160	4,156	0,318	4,474	92,892
2	4,270	4,161	0,304	4,465	93,191
3	4,104	4,152	0,307	4,459	93,115
4	4,673	4,133	0,299	4,432	93,254
5	4,510	4,142	0,293	4,435	93,393
6	4,889	4,135	0,298	4,433	93,278
7	4,694	4,144	0,291	4,435	93,439
8	4,943	4,156	0,295	4,451	93,372
9	5,089	4,138	0,287	4,425	93,514
10	4,875	4,147	0,283	4,430	93,612
11	4,070	4,167	0,304	4,471	93,201
12	4,554	4,130	0,295	4,425	93,333
13	4,355	4,149	0,297	4,446	93,320
14	4,527	4,132	0,288	4,420	93,484
15	4,536	4,138	0,290	4,428	93,451
16	4,713	4,154	0,288	4,442	93,516
17	4,835	4,132	0,295	4,427	93,336
18	4,577	4,132	0,289	4,421	93,463
19	5,047	4,141	0,289	4,430	93,476
20	4,973	4,124	0,294	4,418	93,345

Tabulka č. 21: Hodnoty parametrů E'_1 , E'_2 , E'_3 , E'_{lis} a FP Avicelu PH-200 ze záznamu síla-dráha

Avicel PH-200					
Tableta číslo	E'_1	E'_2	E'_3	E'_{lis}	FP
	[J]	[J]	[J]	[J]	[%]
1	3,805	4,019	0,298	4,317	93,097
2	3,820	4,006	0,293	4,299	93,184
3	3,757	4,007	0,295	4,302	93,143
4	4,059	4,020	0,289	4,309	93,293
5	3,934	3,997	0,291	4,288	93,214
6	4,066	4,002	0,289	4,291	93,265
7	4,138	3,988	0,282	4,270	93,396
8	4,206	4,019	0,288	4,307	93,313
9	4,193	4,012	0,284	4,296	93,389
10	4,372	3,966	0,278	4,244	93,450
11	4,132	4,064	0,292	4,356	93,297
12	3,986	4,032	0,295	4,327	93,182
13	4,011	4,003	0,290	4,293	93,245
14	4,078	3,975	0,289	4,264	93,222
15	4,093	3,989	0,291	4,280	93,201
16	4,020	3,991	0,283	4,274	93,379
17	4,167	3,981	0,281	4,262	93,407
18	4,242	3,998	0,279	4,277	93,477
19	4,099	4,000	0,279	4,279	93,480
20	4,118	3,968	0,283	4,251	93,343

Tabulka č. 22: Hodnoty parametrů E'_1 , E'_2 , E'_3 , E'_{lis} a FP Avicelu PH-302 ze záznamu síla-dráha

Avicel PH-302					
Tableta číslo	E'_1	E'_2	E'_3	E'_{lis}	FP
	[J]	[J]	[J]	[J]	[%]
1	2,738	2,565	0,267	2,832	90,572
2	2,739	2,555	0,271	2,826	90,410
3	2,516	2,562	0,266	2,828	90,594
4	2,607	2,548	0,272	2,820	90,355
5	2,540	2,559	0,264	2,823	90,648
6	2,743	2,598	0,262	2,860	90,839
7	2,589	2,591	0,260	2,851	90,880
8	2,570	2,601	0,259	2,860	90,944
9	2,789	2,652	0,260	2,912	91,071
10	2,715	2,627	0,263	2,890	90,900
11	2,260	2,462	0,267	2,729	90,216
12	2,392	2,471	0,273	2,744	90,051
13	2,373	2,476	0,261	2,737	90,464
14	2,407	2,495	0,266	2,761	90,366
15	2,741	2,617	0,264	2,881	90,837
16	2,674	2,658	0,260	2,918	91,090
17	2,711	2,624	0,268	2,892	90,733
18	2,665	2,613	0,258	2,871	91,014
19	2,554	2,595	0,261	2,856	90,861
20	2,276	2,439	0,265	2,704	90,200

Tabulka č. 23: Souhrnné hodnoty parametrů E'_1 , E'_2 , E'_3 , E'_{lis} a FP ze záznamu síla-dráha v závislosti na použitém Avicelu

Typ plniva	E'_1 [J]		E'_2 [J]		E'_3 [J]		E'_{lis} [J]		FP [%]	
	X	s	X	s	X	s	X	s	X	s
Avicel PH-101	5,727	0,169	2,785	0,012	0,288	0,004	3,073	0,010	90,633	0,133
Avicel PH-102	5,590	0,232	2,837	0,019	0,281	0,008	3,118	0,015	90,997	0,264
Avicel PH-103	4,804	0,200	3,594	0,009	0,294	0,004	3,888	0,007	92,436	0,116
Avicel PH-105	4,662	0,250	2,728	0,039	0,272	0,007	3,000	0,033	90,918	0,334
Avicel PH-112	4,620	0,311	4,143	0,012	0,295	0,008	4,438	0,017	93,349	0,165
Avicel PH-200	4,065	0,152	4,002	0,023	0,287	0,006	4,289	0,027	93,299	0,113
Avicel PH-302	2,580	0,164	2,565	0,065	0,264	0,004	2,830	0,063	90,652	0,312

Tabulka č. 24: Parametry testu stresové relaxace Avicelu PH-101

Avicel PH-101									
Tableta číslo	A ₁ '	T ₁ '	P ₁ '	A ₂ '	T ₂ '	P ₂ '	A ₃ '	T ₃ '	P ₃ '
	[MPa]	[s]	[MPa.s]	[MPa]	[s]	[MPa.s]	[MPa]	[s]	[MPa.s]
1	0,516	0,253	0,130	0,308	3,630	1,118	0,244	56,084	13,704
2	0,512	0,259	0,132	0,303	3,660	1,110	0,245	57,943	14,209
3	0,498	0,256	0,128	0,306	3,567	1,091	0,247	56,143	13,846
4	0,510	0,258	0,131	0,304	3,587	1,089	0,249	56,317	14,021
5	0,505	0,255	0,129	0,303	3,673	1,113	0,250	58,621	14,641
6	0,501	0,257	0,129	0,306	3,542	1,082	0,244	56,768	13,857
7	0,498	0,257	0,128	0,300	3,631	1,089	0,245	58,254	14,264
8	0,452	0,264	0,119	0,305	3,686	1,126	0,250	58,925	14,711
9	0,503	0,264	0,133	0,298	3,703	1,103	0,250	58,955	14,709
10	0,506	0,269	0,136	0,310	3,845	1,194	0,246	60,107	14,802
11	0,494	0,259	0,128	0,307	3,602	1,105	0,246	58,431	14,393
12	0,489	0,258	0,126	0,297	3,686	1,095	0,248	58,961	14,622
13	0,500	0,256	0,128	0,300	3,578	1,075	0,248	58,961	14,606
14	0,500	0,254	0,127	0,293	3,673	1,075	0,248	58,890	14,578
15	0,500	0,259	0,129	0,300	3,644	1,092	0,249	58,868	14,632
16	0,492	0,252	0,124	0,298	3,564	1,062	0,249	57,669	14,355
17	0,490	0,263	0,129	0,297	3,673	1,089	0,249	58,451	14,530
18	0,503	0,260	0,130	0,297	3,664	1,086	0,245	59,225	14,534
19	0,509	0,260	0,132	0,298	3,739	1,113	0,251	59,094	14,836
20	0,496	0,254	0,126	0,298	3,655	1,089	0,246	59,136	14,546

Tabulka č. 25: Parametry testu stresové relaxace Avicelu PH-102

Avicel PH-102									
Tableta číslo	A ₁ '	T ₁ '	P ₁ '	A ₂ '	T ₂ '	P ₂ '	A ₃ '	T ₃ '	P ₃ '
	[MPa]	[s]	[MPa.s]	[MPa]	[s]	[MPa.s]	[MPa]	[s]	[MPa.s]
1	0,513	0,249	0,128	0,300	3,591	1,078	0,246	58,017	14,256
2	0,515	0,255	0,131	0,307	3,636	1,115	0,250	58,897	14,728
3	0,523	0,255	0,133	0,304	3,650	1,109	0,253	57,965	14,667
4	0,514	0,252	0,129	0,306	3,653	1,117	0,250	58,391	14,605
5	0,515	0,249	0,128	0,303	3,549	1,077	0,249	57,281	14,276
6	0,529	0,254	0,135	0,303	3,628	1,099	0,251	58,616	14,710
7	0,509	0,254	0,129	0,306	3,639	1,112	0,256	58,574	14,980
8	0,514	0,258	0,133	0,304	3,741	1,137	0,255	59,409	15,159
9	0,510	0,259	0,132	0,308	3,648	1,123	0,251	58,755	14,741
10	0,521	0,255	0,133	0,306	3,625	1,108	0,254	57,395	14,577
11	0,516	0,255	0,131	0,307	3,691	1,132	0,256	59,121	15,146
12	0,519	0,254	0,132	0,304	3,638	1,106	0,251	58,843	14,783
13	0,500	0,264	0,132	0,302	3,775	1,142	0,255	60,140	15,339
14	0,508	0,263	0,134	0,301	3,740	1,126	0,251	60,704	15,206
15	0,494	0,258	0,128	0,315	3,653	1,152	0,253	59,793	15,098
16	0,511	0,249	0,127	0,301	3,615	1,087	0,252	58,666	14,757
17	0,513	0,253	0,130	0,304	3,736	1,136	0,251	59,855	15,016
18	0,508	0,253	0,129	0,299	3,662	1,094	0,256	59,095	15,099
19	0,496	0,253	0,125	0,302	3,610	1,092	0,255	57,624	14,711
20	0,510	0,257	0,131	0,296	3,683	1,089	0,252	59,274	14,937

Tabulka č. 26: Parametry testu stresové relaxace Avicelu PH-103

Avicel PH-103									
Tableta číslo	A ₁ '	T ₁ '	P ₁ '	A ₂ '	T ₂ '	P ₂ '	A ₃ '	T ₃ '	P ₃ '
	[MPa]	[s]	[MPa.s]	[MPa]	[s]	[MPa.s]	[MPa]	[s]	[MPa.s]
1	0,518	0,246	0,128	0,300	3,511	1,052	0,246	57,794	14,197
2	0,520	0,247	0,128	0,298	3,539	1,053	0,246	58,553	14,422
3	0,536	0,251	0,135	0,298	3,574	1,063	0,242	59,942	14,514
4	0,525	0,249	0,131	0,298	3,583	1,068	0,244	59,587	14,546
5	0,529	0,245	0,130	0,305	3,457	1,054	0,246	57,996	14,269
6	0,516	0,245	0,126	0,302	3,489	1,053	0,247	58,437	14,407
7	0,522	0,253	0,132	0,305	3,450	1,051	0,245	58,153	14,236
8	0,529	0,247	0,131	0,300	3,513	1,055	0,246	58,560	14,393
9	0,537	0,254	0,136	0,299	3,632	1,086	0,246	59,860	14,717
10	0,534	0,256	0,137	0,297	3,670	1,091	0,244	60,143	14,666
11	0,521	0,253	0,132	0,300	3,594	1,079	0,248	59,356	14,688
12	0,518	0,256	0,132	0,300	3,686	1,106	0,249	59,643	14,829
13	0,521	0,252	0,131	0,300	3,584	1,073	0,248	58,206	14,421
14	0,521	0,254	0,132	0,301	3,628	1,093	0,246	60,840	14,937
15	0,532	0,255	0,135	0,301	3,679	1,109	0,249	60,855	15,149
16	0,534	0,253	0,135	0,297	3,616	1,074	0,246	59,352	14,569
17	0,523	0,253	0,132	0,299	3,606	1,079	0,247	59,301	14,642
18	0,531	0,251	0,133	0,298	3,584	1,069	0,241	58,379	14,068
19	0,530	0,252	0,134	0,295	3,593	1,058	0,242	58,653	14,190
20	0,520	0,248	0,129	0,298	3,541	1,054	0,244	58,876	14,387

Tabulka č. 27: Parametry testu stresové relaxace Avicelu PH-105

Avicel PH-105									
Tableta číslo	A ₁ '	T ₁ '	P ₁ '	A ₂ '	T ₂ '	P ₂ '	A ₃ '	T ₃ '	P ₃ '
	[MPa]	[s]	[MPa.s]	[MPa]	[s]	[MPa.s]	[MPa]	[s]	[MPa.s]
1	0,515	0,256	0,132	0,305	3,729	1,139	0,257	60,446	15,511
2	0,519	0,258	0,134	0,305	3,573	1,091	0,259	58,662	15,168
3	0,525	0,255	0,134	0,308	3,641	1,121	0,258	58,682	15,121
4	0,509	0,266	0,135	0,312	3,726	1,164	0,263	60,189	15,826
5	0,507	0,260	0,132	0,312	3,605	1,126	0,259	59,185	15,333
6	0,523	0,256	0,134	0,308	3,651	1,126	0,258	58,165	14,985
7	0,528	0,265	0,140	0,306	3,768	1,152	0,263	59,596	15,686
8	0,519	0,256	0,133	0,306	3,686	1,126	0,259	59,429	15,402
9	0,528	0,261	0,138	0,313	3,443	1,079	0,255	56,415	14,364
10	0,513	0,259	0,133	0,304	3,621	1,102	0,258	58,123	14,987
11	0,515	0,257	0,132	0,302	3,634	1,096	0,259	58,228	15,084
12	0,523	0,258	0,135	0,305	3,646	1,113	0,260	58,535	15,223
13	0,525	0,258	0,135	0,313	3,659	1,146	0,260	59,692	15,488
14	0,527	0,263	0,139	0,312	3,698	1,153	0,264	59,359	15,652
15	0,514	0,253	0,130	0,306	3,635	1,112	0,256	58,745	15,023
16	0,507	0,267	0,135	0,305	3,784	1,152	0,259	60,241	15,571
17	0,518	0,266	0,138	0,305	3,762	1,146	0,260	59,784	15,567
18	0,507	0,270	0,137	0,310	3,751	1,164	0,266	60,257	15,995
19	0,518	0,254	0,131	0,306	3,607	1,102	0,257	58,315	14,974
20	0,522	0,265	0,138	0,306	3,851	1,179	0,266	61,336	16,304

Tabulka č. 28: Parametry testu stresové relaxace Avicelu PH-112

Avicel PH-112									
Tableta číslo	A ₁ '	T ₁ '	P ₁ '	A ₂ '	T ₂ '	P ₂ '	A ₃ '	T ₃ '	P ₃ '
	[MPa]	[s]	[MPa.s]	[MPa]	[s]	[MPa.s]	[MPa]	[s]	[MPa.s]
1	0,527	0,244	0,128	0,313	3,492	1,093	0,252	56,902	14,354
2	0,530	0,253	0,134	0,308	3,543	1,091	0,252	58,609	14,790
3	0,536	0,246	0,132	0,311	3,518	1,094	0,254	57,803	14,668
4	0,539	0,246	0,133	0,311	3,416	1,064	0,247	56,736	14,022
5	0,524	0,247	0,129	0,307	3,556	1,091	0,252	58,608	14,754
6	0,525	0,240	0,126	0,309	3,472	1,074	0,255	57,474	14,670
7	0,538	0,249	0,134	0,309	3,552	1,096	0,252	58,282	14,710
8	0,542	0,250	0,135	0,308	3,573	1,099	0,251	58,511	14,700
9	0,524	0,251	0,132	0,303	3,582	1,085	0,247	58,728	14,522
10	0,532	0,242	0,129	0,307	3,505	1,075	0,251	58,850	14,777
11	0,527	0,253	0,133	0,304	3,597	1,095	0,250	58,873	14,722
12	0,525	0,252	0,132	0,307	3,603	1,106	0,250	59,632	14,888
13	0,522	0,253	0,132	0,306	3,591	1,098	0,250	58,803	14,669
14	0,540	0,250	0,135	0,303	3,529	1,071	0,250	57,758	14,445
15	0,537	0,246	0,132	0,306	3,504	1,071	0,247	57,736	14,238
16	0,523	0,258	0,135	0,307	3,628	1,112	0,249	60,086	14,981
17	0,538	0,256	0,138	0,304	3,615	1,098	0,250	59,313	14,810
18	0,532	0,253	0,134	0,311	3,432	1,067	0,247	58,128	14,339
19	0,525	0,249	0,131	0,305	3,530	1,076	0,247	59,041	14,554
20	0,529	0,253	0,134	0,304	3,636	1,106	0,246	60,136	14,802

Tabulka č. 29: Parametry testu stresové relaxace u Avicelu PH-200

Avicel PH-200									
Tableta číslo	A ₁ '	T ₁ '	P ₁ '	A ₂ '	T ₂ '	P ₂ '	A ₃ '	T ₃ '	P ₃ '
	[MPa]	[s]	[MPa.s]	[MPa]	[s]	[MPa.s]	[MPa]	[s]	[MPa.s]
1	0,538	0,248	0,133	0,305	3,514	1,072	0,239	58,500	13,974
2	0,519	0,248	0,129	0,306	3,506	1,074	0,240	57,769	13,873
3	0,530	0,251	0,133	0,311	3,558	1,105	0,241	59,475	14,325
4	0,520	0,248	0,129	0,303	3,505	1,062	0,240	59,783	14,356
5	0,525	0,247	0,129	0,299	3,526	1,056	0,243	58,409	14,213
6	0,529	0,247	0,131	0,300	3,524	1,057	0,243	58,597	14,245
7	0,518	0,249	0,129	0,302	3,588	1,082	0,244	59,028	14,382
8	0,521	0,244	0,127	0,302	3,515	1,060	0,244	58,645	14,308
9	0,524	0,250	0,131	0,295	3,575	1,056	0,245	58,877	14,433
10	0,513	0,251	0,129	0,298	3,656	1,090	0,245	60,846	14,919
11	0,511	0,250	0,128	0,300	3,572	1,071	0,246	59,598	14,662
12	0,519	0,242	0,125	0,295	3,513	1,035	0,246	58,688	14,415
13	0,527	0,249	0,131	0,292	3,554	1,036	0,243	59,268	14,403
14	0,531	0,244	0,130	0,296	3,558	1,052	0,246	60,079	14,784
15	0,520	0,245	0,127	0,297	3,596	1,067	0,246	59,188	14,544
16	0,513	0,246	0,126	0,297	3,552	1,056	0,243	59,694	14,519
17	0,517	0,246	0,127	0,295	3,564	1,052	0,241	59,695	14,380
18	0,521	0,247	0,129	0,302	3,511	1,061	0,242	58,910	14,266
19	0,510	0,239	0,122	0,297	3,440	1,023	0,245	58,623	14,356
20	0,525	0,248	0,130	0,296	3,594	1,064	0,246	59,635	14,639

Tabulka č. 30: Parametry testu stresové relaxace Avicelu PH-302

Avicel PH-302									
Tableta číslo	A ₁ '	T ₁ '	P ₁ '	A ₂ '	T ₂ '	P ₂ '	A ₃ '	T ₃ '	P ₃ '
	[MPa]	[s]	[MPa.s]	[MPa]	[s]	[MPa.s]	[MPa]	[s]	[MPa.s]
1	0,510	0,235	0,120	0,287	3,545	1,017	0,243	57,295	13,929
2	0,506	0,238	0,121	0,286	3,563	1,017	0,244	57,408	13,982
3	0,517	0,235	0,122	0,281	3,563	1,002	0,240	57,218	13,714
4	0,518	0,236	0,122	0,289	3,510	1,015	0,240	56,413	13,523
5	0,517	0,236	0,122	0,288	3,498	1,007	0,240	58,011	13,897
6	0,507	0,239	0,121	0,289	3,512	1,014	0,244	57,967	14,146
7	0,504	0,227	0,115	0,287	3,358	0,964	0,240	55,604	13,359
8	0,499	0,231	0,115	0,286	3,438	0,983	0,240	56,528	13,588
9	0,504	0,227	0,114	0,285	3,432	0,979	0,241	56,810	13,676
10	0,514	0,237	0,122	0,285	3,561	1,015	0,238	57,648	13,739
11	0,491	0,229	0,113	0,283	3,384	0,958	0,237	56,357	13,368
12	0,504	0,243	0,122	0,296	3,446	1,020	0,238	57,949	13,804
13	0,517	0,238	0,123	0,284	3,511	0,997	0,240	56,696	13,600
14	0,522	0,238	0,124	0,284	3,614	1,027	0,238	58,222	13,857
15	0,508	0,234	0,119	0,279	3,530	0,986	0,236	59,029	13,923
16	0,503	0,234	0,118	0,285	3,386	0,963	0,239	55,931	13,341
17	0,503	0,237	0,119	0,284	3,521	0,998	0,240	57,558	13,837
18	0,493	0,241	0,119	0,282	3,561	1,004	0,242	57,882	14,014
19	0,506	0,233	0,118	0,285	3,508	1,000	0,239	58,102	13,869
20	0,512	0,231	0,118	0,284	3,480	0,989	0,234	57,278	13,417

Tabulka č. 31: Souhrn hodnot testu stresové relaxace

Parametr	Avicel PH-101		Avicel PH-102		Avicel PH-103		Avicel PH-105		Avicel PH-112		Avicel PH-200		Avicel PH-302	
	X	s	X	s	X	s	X	s	X	s	X	s	X	s
A'_1 [MPa]	0,499	0,013	0,512	0,009	0,526	0,139	0,518	0,007	0,531	0,007	0,521	0,007	0,508	0,008
T'_1 [s]	0,258	0,004	0,255	0,004	0,251	0,060	0,260	0,005	0,249	0,005	0,247	0,003	0,235	0,004
P'_1 [MPa.s]	0,129	0,004	0,131	0,003	0,132	0,085	0,135	0,003	0,132	0,003	0,129	0,003	0,119	0,003
A'_2 [MPa]	0,301	0,005	0,304	0,004	0,300	1,660	0,308	0,004	0,307	0,003	0,299	0,005	0,285	0,004
T'_2 [s]	3,650	0,069	3,658	0,056	3,577	1,270	3,673	0,090	3,544	0,062	3,546	0,046	3,496	0,069
P'_2 [MPa.s]	1,100	0,027	1,112	0,022	1,071	0,418	1,130	0,028	1,088	0,014	1,061	0,019	0,998	0,020
A'_3 [MPa]	0,247	0,002	0,252	0,003	0,246	29,821	0,260	0,003	0,250	0,003	0,243	0,002	0,240	0,002
T'_3 [s]	58,290	1,132	58,821	0,905	59,124	22,600	59,169	1,101	58,501	0,929	59,165	0,702	57,295	0,859
P'_3 [MPa.s]	14,420	0,334	14,839	0,295	14,512	0,277	15,363	0,433	14,621	0,238	14,400	0,244	13,729	0,238

Tabulka č. 32: Parametry kinetiky drcení tablet z Avicelu PH-101

Avicel PH-101			
Tableta číslo	DS	W	l
	[N]	[J]	[mm]
1	70,2	11,72	0,278
2	73,7	14,37	0,313
3	72,5	12,97	0,295
4	71,6	12,45	0,282
5	64,2	10,99	0,285
6	74,4	12,81	0,285
7	74,8	13,00	0,289
8	73,4	13,42	0,297
9	76,7	14,04	0,297
10	78,0	13,62	0,288

Tabulka č. 33: Parametry kinetiky drcení tablet z Avicelu PH-102

Avicel PH-102			
Tableta číslo	DS	W	l
	[N]	[J]	[mm]
1	59,8	8,35	0,236
2	61,8	8,97	0,254
3	65,7	10,15	0,268
4	65,5	9,32	0,240
5	63,7	9,33	0,254
6	69,2	10,08	0,245
7	71,5	10,66	0,250
8	71,4	10,58	0,248
9	72,0	10,45	0,242
10	74,5	10,70	0,243

Tabulka č. 34: Parametry kinetiky drcení tablet z Avicelu PH-103

Avicel PH-103			
Tableta číslo	DS	W	I
	[N]	[J]	[mm]
1	89,6	13,41	0,260
2	89,4	13,28	0,254
3	89,6	13,65	0,263
4	91,8	13,72	0,256
5	87,9	13,20	0,256
6	87,1	12,92	0,258
7	91,8	13,94	0,274
8	96,8	14,61	0,261
9	91,3	13,49	0,259
10	94,9	14,47	0,263

Tabulka č. 35: Parametry kinetiky drcení tablet z Avicelu PH-105

Avicel PH-105			
Tableta číslo	DS	W	I
	[N]	[J]	[mm]
1	105,4	20,78	0,333
2	105,9	21,77	0,354
3	121,2	28,02	0,392
4	117,4	25,39	0,376
5	114,2	22,97	0,344
6	121,1	26,06	0,368
7	115,4	22,36	0,334
8	116,4	23,50	0,345
9	123,3	26,25	0,363
10	127,9	30,29	0,397

Tabulka č. 36: Parametry kinetiky drcení tablet z Avicelu PH-112

Avicel PH-112			
Tableta číslo	DS	W	l
	[N]	[J]	[mm]
1	67,6	8,26	0,216
2	70,7	8,38	0,212
3	72,2	8,56	0,217
4	81,4	10,28	0,222
5	83,0	10,69	0,229
6	86,8	11,42	0,236
7	87,3	11,75	0,234
8	86,3	11,62	0,252
9	90,3	11,97	0,239
10	86,4	11,64	0,241

Tabulka č. 37: Parametry kinetiky drcení tablet z Avicelu PH-200

Avicel PH-200			
Tableta číslo	DS	W	l
	[N]	[J]	[mm]
1	74,0	8,79	0,210
2	74,1	8,65	0,202
3	75,3	8,76	0,201
4	77,8	9,31	0,210
5	78,9	9,56	0,212
6	80,2	9,93	0,225
7	85,9	10,93	0,226
8	84,3	10,55	0,222
9	80,3	9,81	0,214
10	85,6	10,48	0,216

Tabulka č. 38: Parametry kinetiky drcení tablet z Avicelu PH-302

Avicel PH-302			
Tableta číslo	DS	W	l
	[N]	[J]	[mm]
1	55,2	5,39	0,168
2	51,6	4,59	0,154
3	55,8	5,45	0,171
4	56,6	5,89	0,190
5	54,1	4,88	0,155
6	55,7	5,22	0,170
7	62,6	6,07	0,169
8	61,1	6,26	0,181
9	61,7	6,05	0,170
10	61,3	5,80	0,165

Tabulka č. 39: Průměrné hodnoty parametrů kinetiky drcení u tablet z jednotlivých Avicelů

Typ plniva	DS [N]		W [J]		l [mm]	
	X	s	X	s	X	s
Avicel PH-101	73,0	3,83	12,94	1,03	0,291	0,01
Avicel PH-102	67,5	4,91	9,86	0,82	0,248	0,01
Avicel PH-103	91,0	3,01	13,67	0,54	0,260	0,01
Avicel PH-105	116,8	7,16	24,74	3,00	0,361	0,02
Avicel PH-112	81,2	8,05	10,46	1,51	0,230	0,01
Avicel PH-200	79,6	4,50	9,68	0,81	0,214	0,01
Avicel PH-302	57,6	3,79	5,56	0,55	0,169	0,01

Tabulka č. 40: Pevnost tablet z Avicelu PH-101

Avicel PH-101				
Tableta číslo	F_{max}	d	h	RP
	[N]	[mm]	[mm]	[MPa]
1	70,20	13,05	4,09	0,84
2	73,70	13,06	4,06	0,89
3	72,50	13,06	4,04	0,88
4	71,60	13,05	4,05	0,86
5	64,20	13,07	4,12	0,76
6	74,40	13,05	4,05	0,90
7	74,80	13,05	4,00	0,91
8	73,40	13,06	4,04	0,89
9	76,70	13,05	4,03	0,93
10	78,00	13,05	4,00	0,95

Tabulka č. 41: Pevnost tablet z Avicelu PH-102

Avicel PH-102				
Tableta číslo	F_{max}	d	h	RP
	[N]	[mm]	[mm]	[MPa]
1	59,80	13,08	4,09	0,71
2	61,80	13,07	4,09	0,74
3	65,70	13,06	4,02	0,80
4	65,50	13,06	4,00	0,80
5	63,70	13,06	4,05	0,77
6	69,20	13,06	3,98	0,85
7	71,50	13,05	3,94	0,89
8	71,40	13,05	3,96	0,88
9	72,00	13,05	3,97	0,89
10	74,50	13,04	3,94	0,92

Tabulka č. 42: Pevnost tablet z Avicelu PH-103

Avicel PH-103				
Tableta číslo	F_{max}	d	h	RP
	[N]	[mm]	[mm]	[MPa]
1	89,60	13,05	4,14	1,06
2	89,40	13,02	4,15	1,05
3	89,60	13,05	4,15	1,05
4	91,80	13,05	4,11	1,09
5	87,90	13,06	4,16	1,03
6	87,10	13,06	4,13	1,03
7	91,80	13,04	4,11	1,09
8	96,80	13,04	4,08	1,16
9	91,30	13,04	4,10	1,09
10	94,90	13,04	4,08	1,14

Tabulka č. 43: Pevnost tablet z Avicelu PH-105

Avicel PH-105				
Tableta číslo	F_{max}	d	h	RP
	[N]	[mm]	[mm]	[MPa]
1	105,40	13,06	4,03	1,28
2	105,90	13,05	4,01	1,29
3	121,20	13,05	3,98	1,49
4	117,40	13,05	3,99	1,44
5	114,20	13,05	4,00	1,39
6	121,10	13,04	3,96	1,49
7	115,40	13,03	3,95	1,43
8	116,40	13,04	3,95	1,44
9	123,30	13,04	3,94	1,53
10	127,90	13,04	3,96	1,58

Tabulka č. 44: Pevnost tablet z Avicelu PH-112

Avicel PH-112				
Tableta číslo	F_{max}	d	h	RP
	[N]	[mm]	[mm]	[MPa]
1	67,60	13,10	4,48	0,73
2	70,70	13,09	4,42	0,78
3	72,20	13,09	4,42	0,79
4	81,40	13,07	4,32	0,92
5	83,00	13,06	4,29	0,94
6	86,80	13,06	4,25	1,00
7	87,30	13,06	4,24	1,00
8	86,30	13,06	4,22	1,00
9	90,30	13,05	4,14	1,06
10	86,40	13,05	4,15	1,02

Tabulka č. 45: Pevnost tablet z Avicelu PH-200

Avicel PH-200				
Tableta číslo	F_{max}	d	h	RP
	[N]	[mm]	[mm]	[MPa]
1	74,00	13,08	4,20	0,86
2	74,10	13,07	4,20	0,86
3	75,30	13,07	4,18	0,88
4	77,80	13,07	4,15	0,91
5	78,90	13,07	4,17	0,92
6	80,20	13,07	4,16	0,94
7	85,90	13,05	4,09	1,03
8	84,30	13,06	4,10	1,00
9	80,30	13,06	4,10	0,96
10	85,60	13,05	4,06	1,03

Tabulka č. 46: Pevnost tablet z Avicelu PH-302

Avicel PH-302				
Tableta číslo	F_{max}	d	h	RP
	[N]	[mm]	[mm]	[MPa]
1	55,20	13,04	3,90	0,69
2	51,60	13,05	3,94	0,64
3	55,80	13,04	3,90	0,70
4	56,60	13,04	3,92	0,71
5	54,10	13,04	3,87	0,68
6	55,70	13,04	3,87	0,70
7	62,60	13,02	3,85	0,80
8	61,10	13,03	3,84	0,78
9	61,70	13,02	3,81	0,79
10	61,30	13,02	3,82	0,79

Tabulka č. 47: Průměrné hodnoty radiální pevnosti u tablet z jednotlivých Avicelů

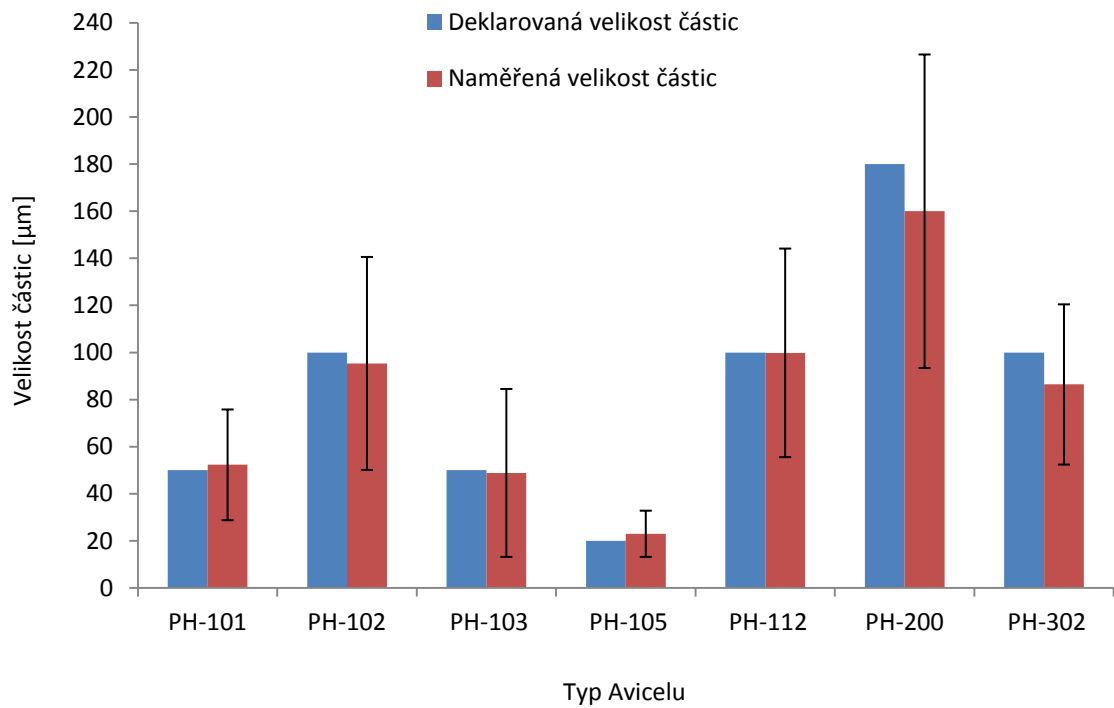
Typ plniva	RP [MPa]	
	\bar{x}	s
Avicel PH-101	0,88	0,05
Avicel PH-102	0,82	0,07
Avicel PH-103	1,08	0,04
Avicel PH-105	1,43	0,10
Avicel PH-112	0,92	0,12
Avicel PH-200	0,94	0,06
Avicel PH-302	0,73	0,06

Tabulka č. 48: Hodnoty testu DSC jednotlivých Avicelů

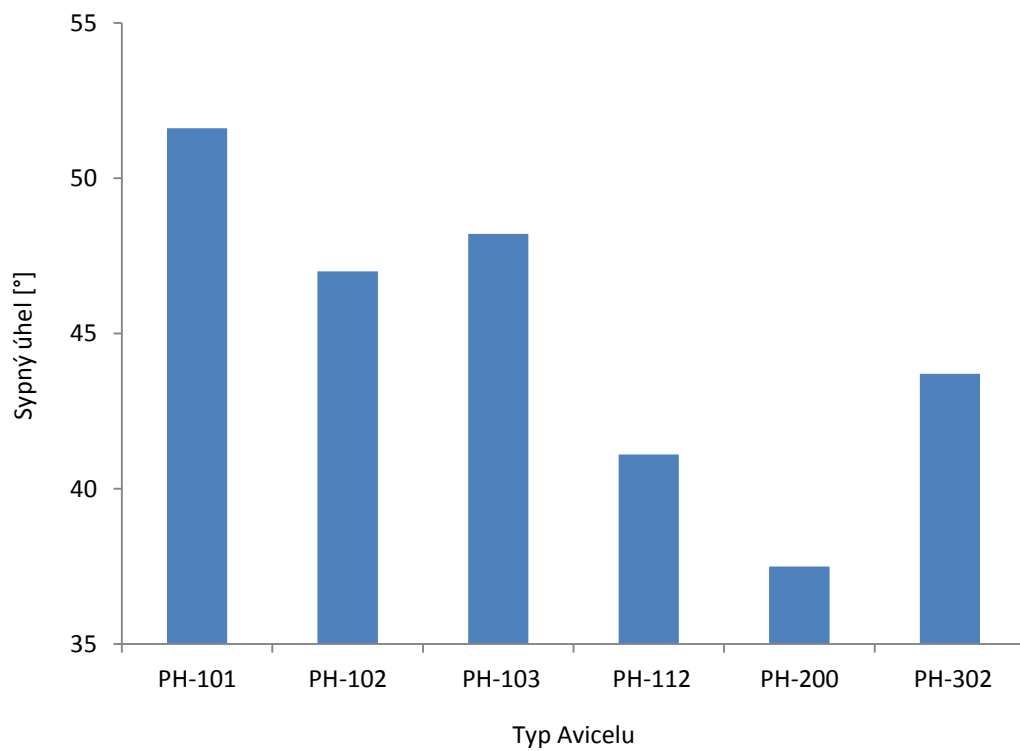
Typ plniva	T_{\max}	H	T_g	ΔC_p
	[°C]	[J/g]	[°C]	[J/(g.°C)]
Avicel PH-101	112,23	140,4	91,22	0,403
Avicel PH-102	104,71	146,3	87,82	0,331
Avicel PH-103	-	-	-	-
Avicel PH-105	106,43	140,8	87,91	0,434
Avicel PH-112	114,23	141,3	84,08	0,240
Avicel PH-200	121,83	142,5	81,71	0,215
Avicel PH-302	115,23	104,6	73,39	0,060

4.3 Grafy

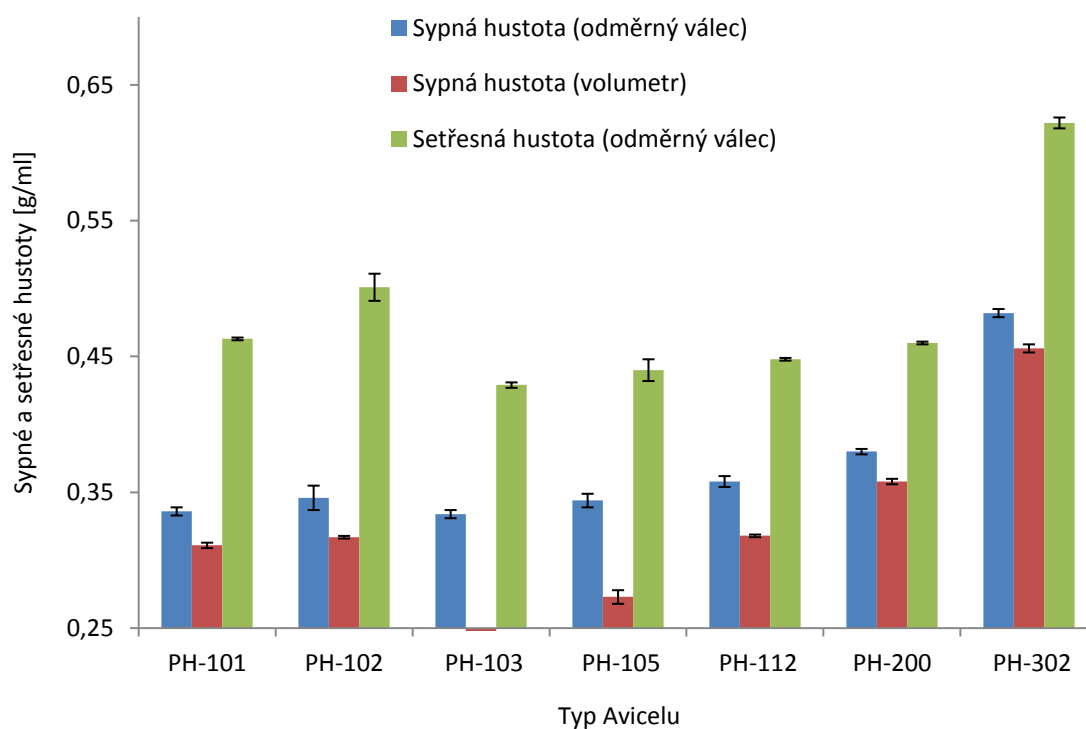
Graf č. 8: Velikost částic jednotlivých Avicelů



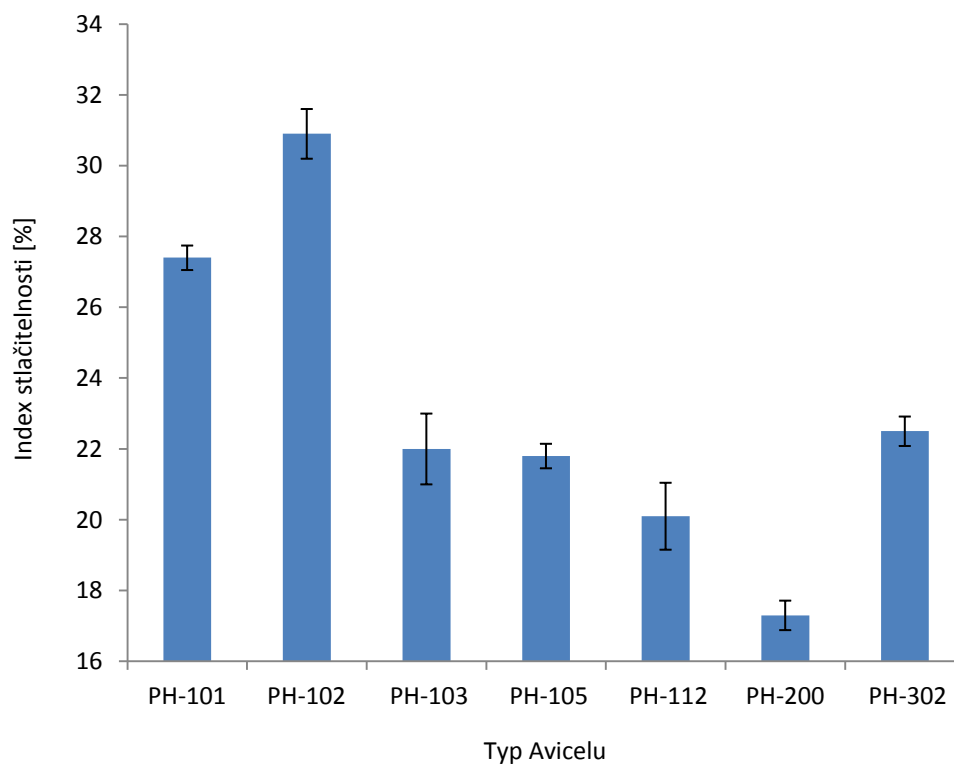
Graf č. 9: Sypný úhel jednotlivých Avicelů



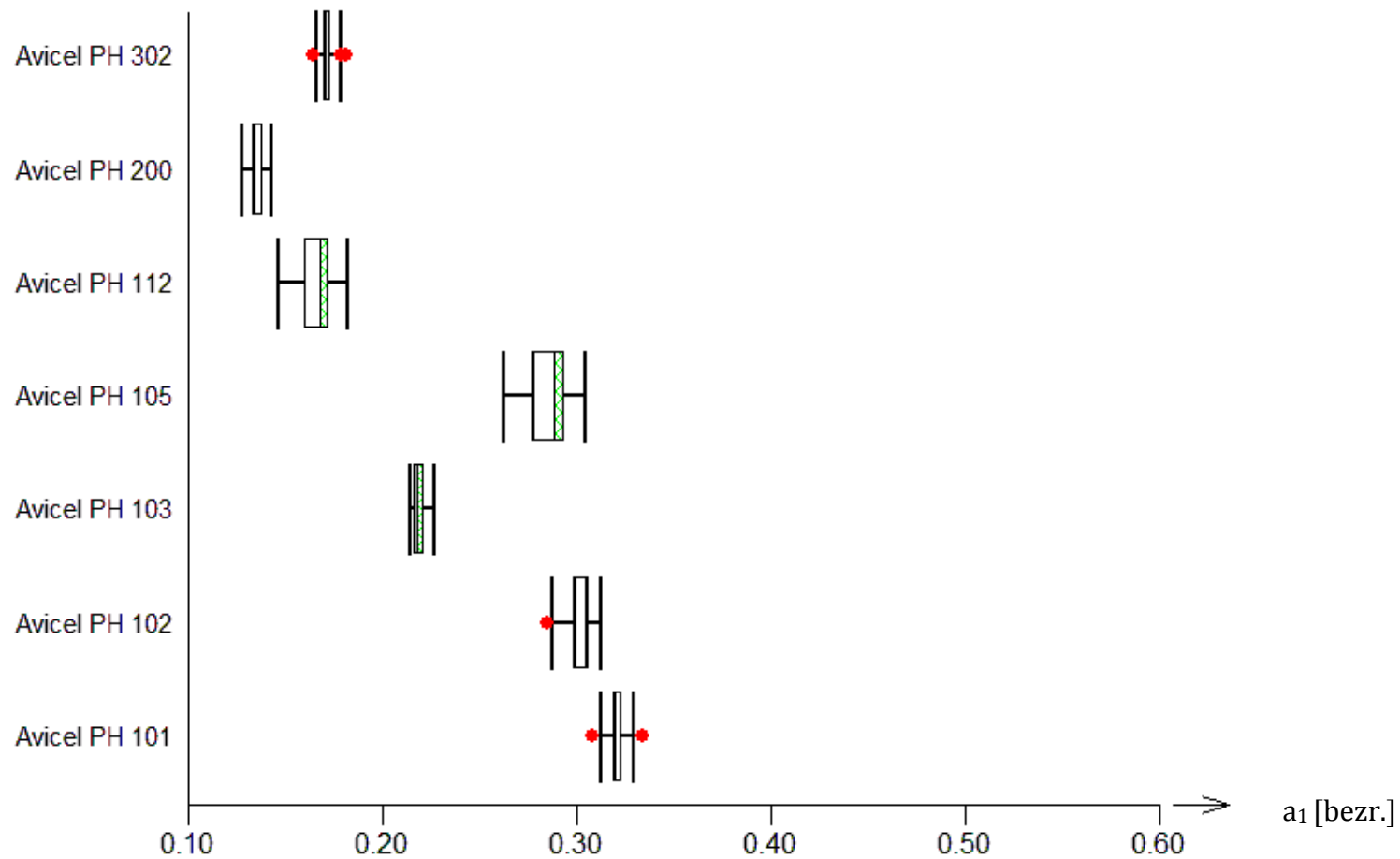
Graf č. 10: Sypná a setřesná hustota jednotlivých Avicelů



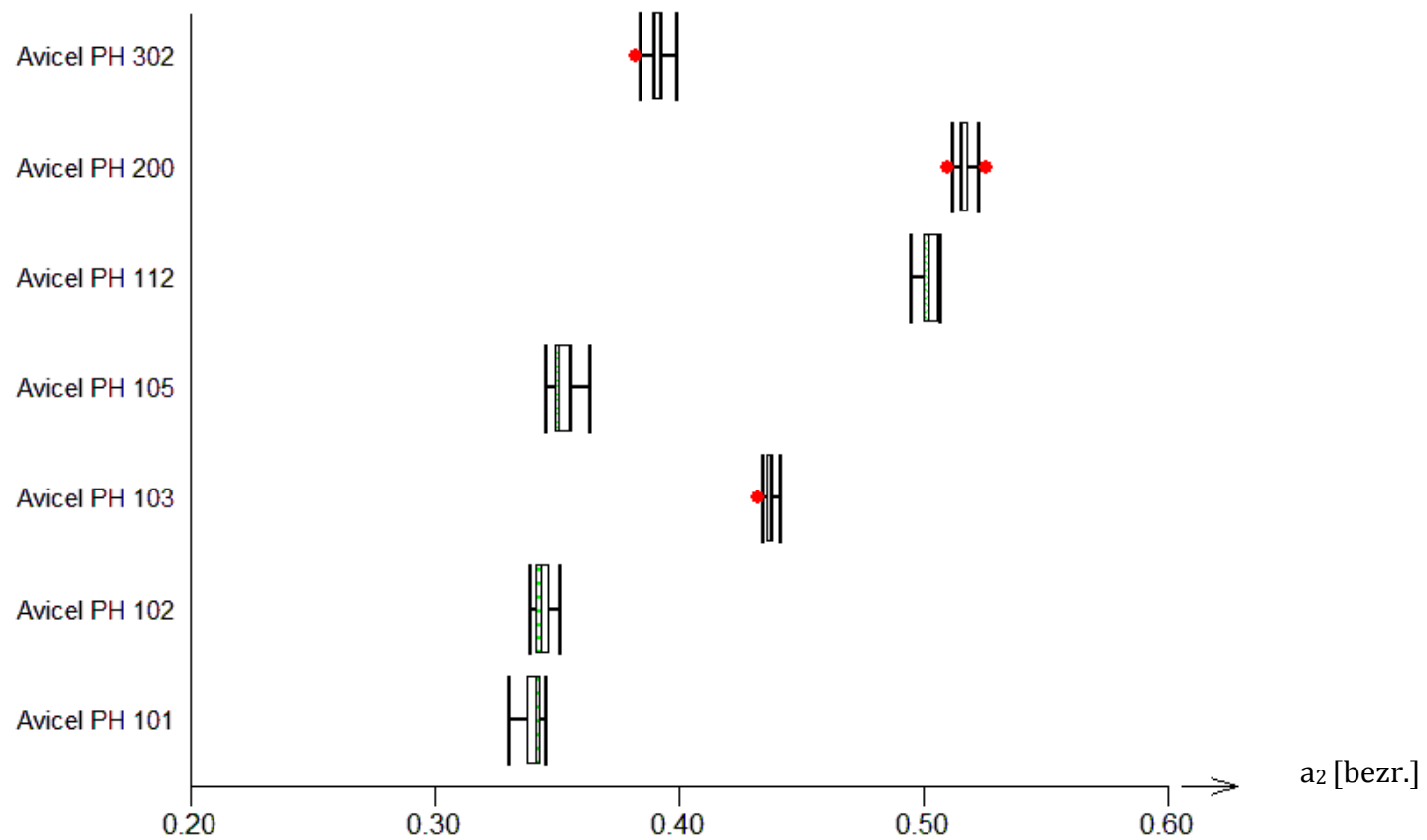
Graf č. 11: Index stlačitelnosti jednotlivých Avicelů



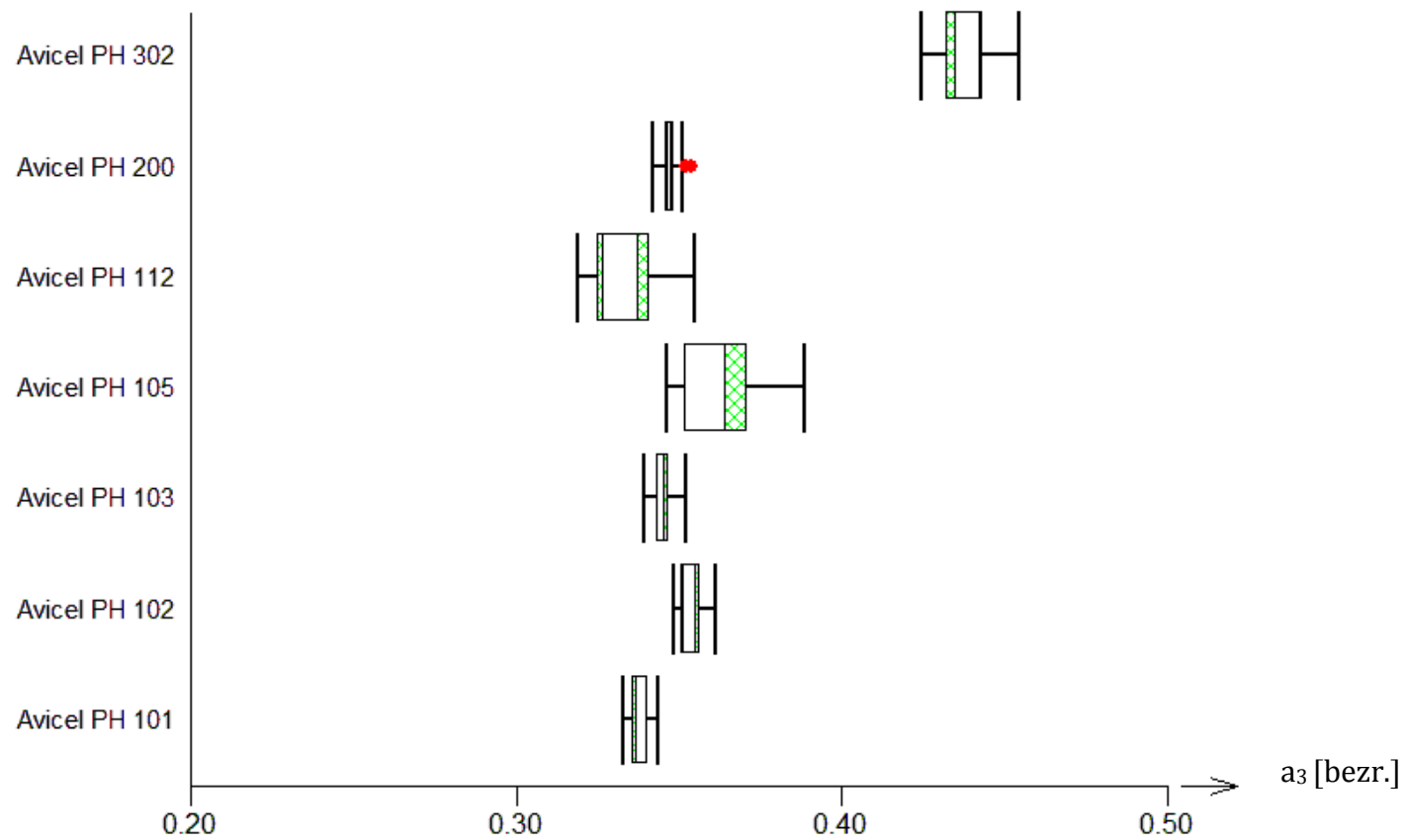
Graf č. 12: Závislost parametru rovnice lisování a_1 na použitém Avicelu



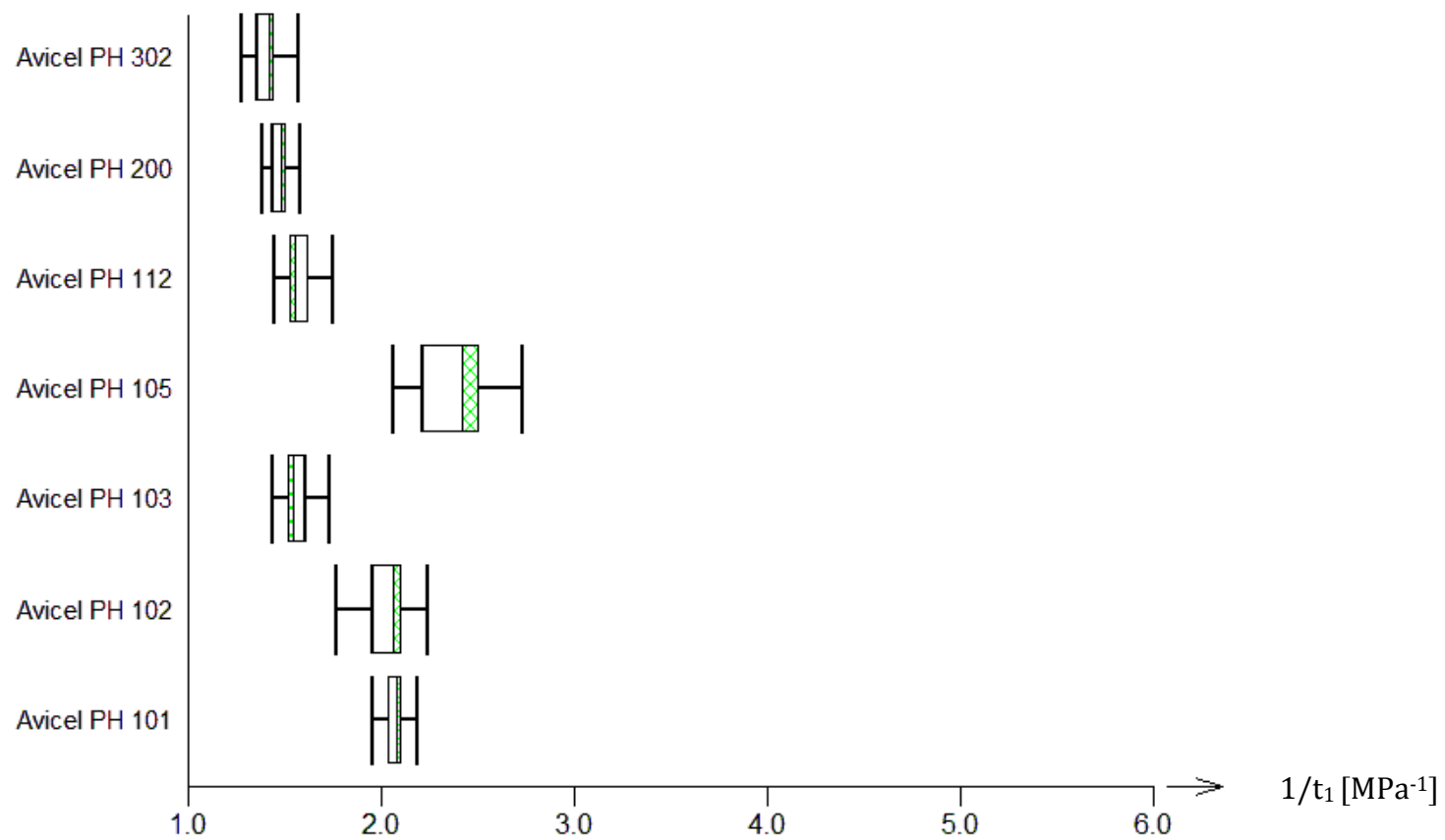
Graf č. 13: Závislost parametru rovnice lisování a_2 na použitém Avicelu



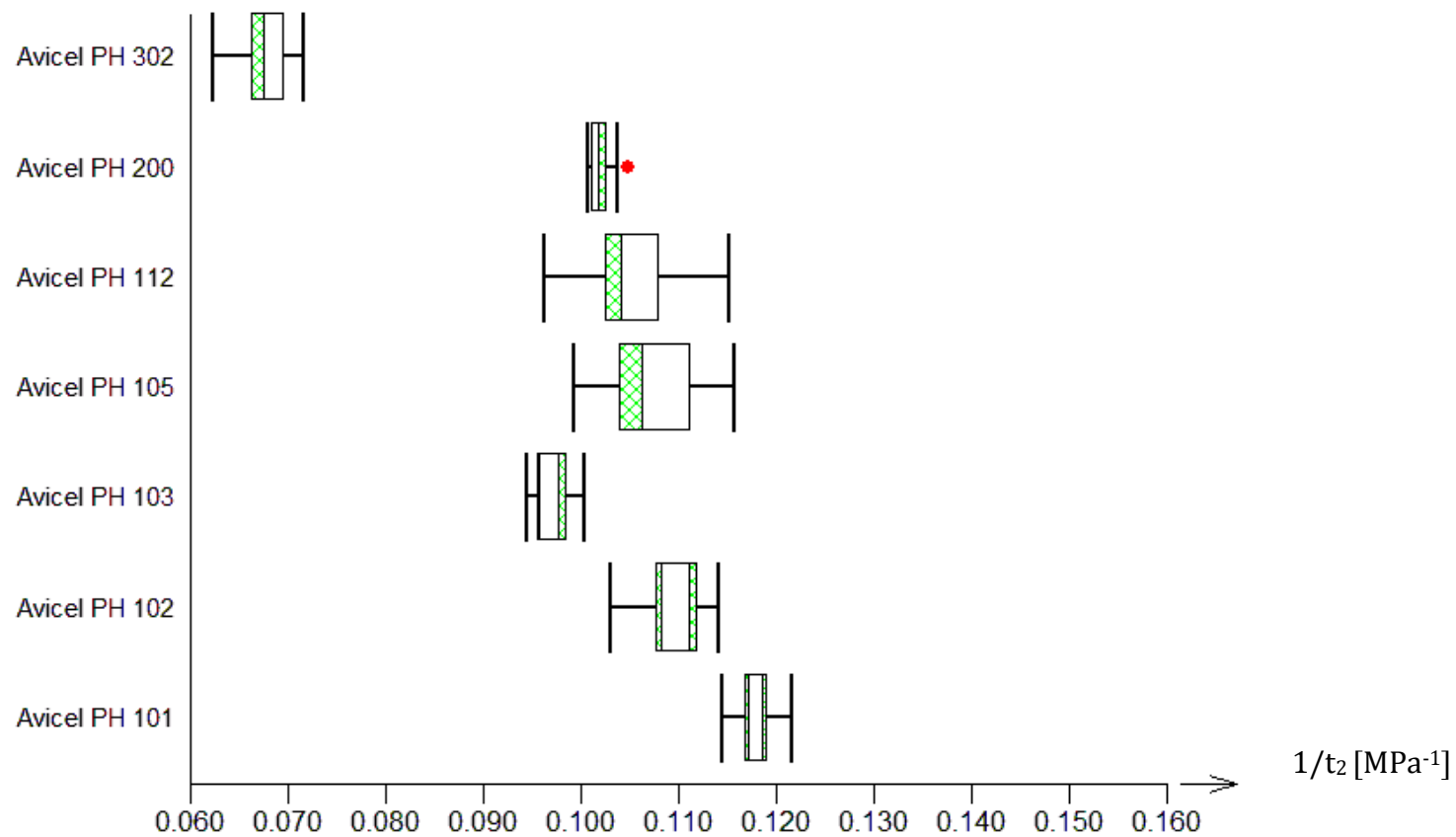
Graf č. 14: Závislost parametru rovnice lisování a_3 na použitém Avicelu



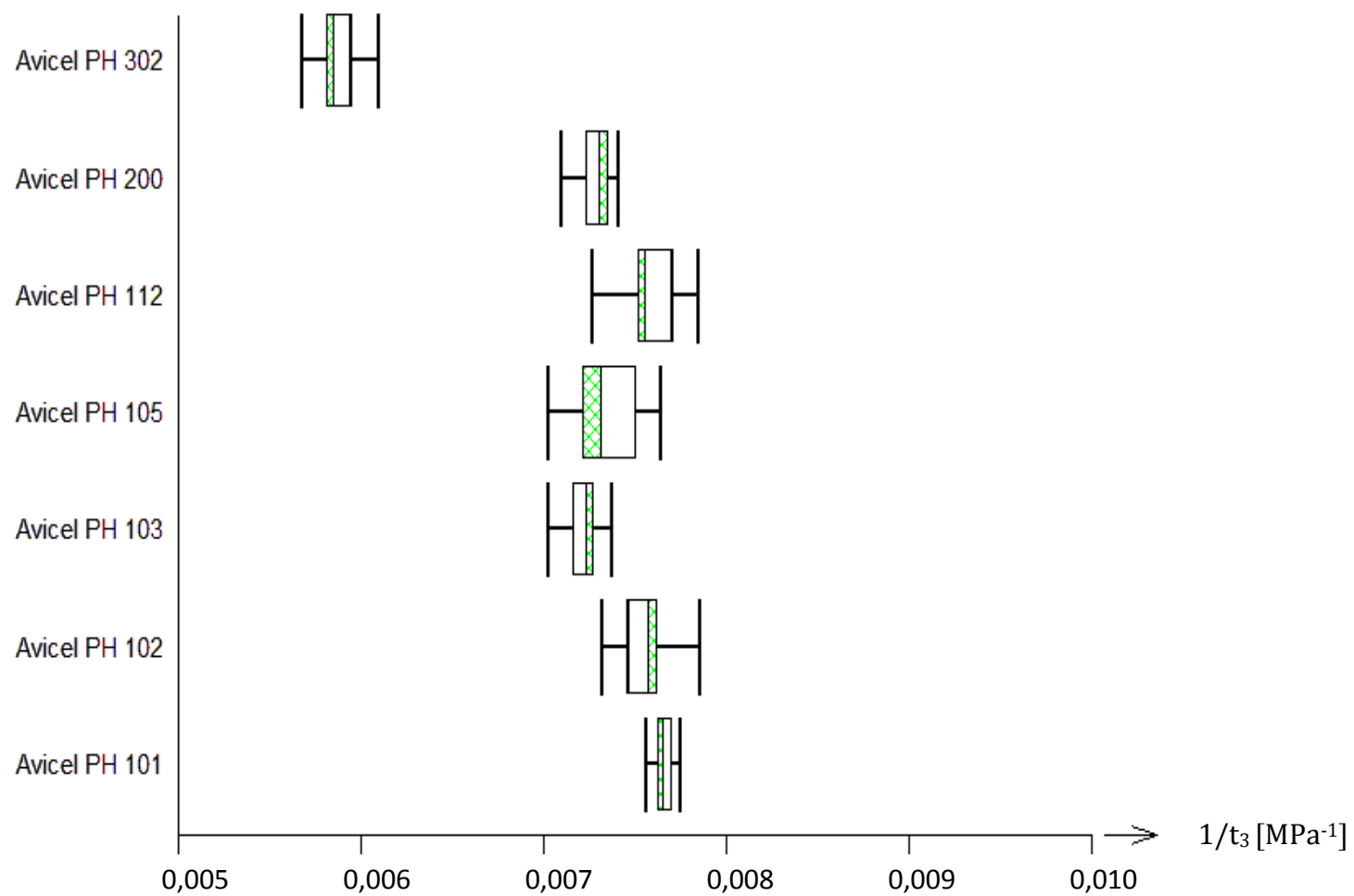
Graf č. 15: Závislost parametru rovnice lisování $1/t_1$ na použitém Avicelu



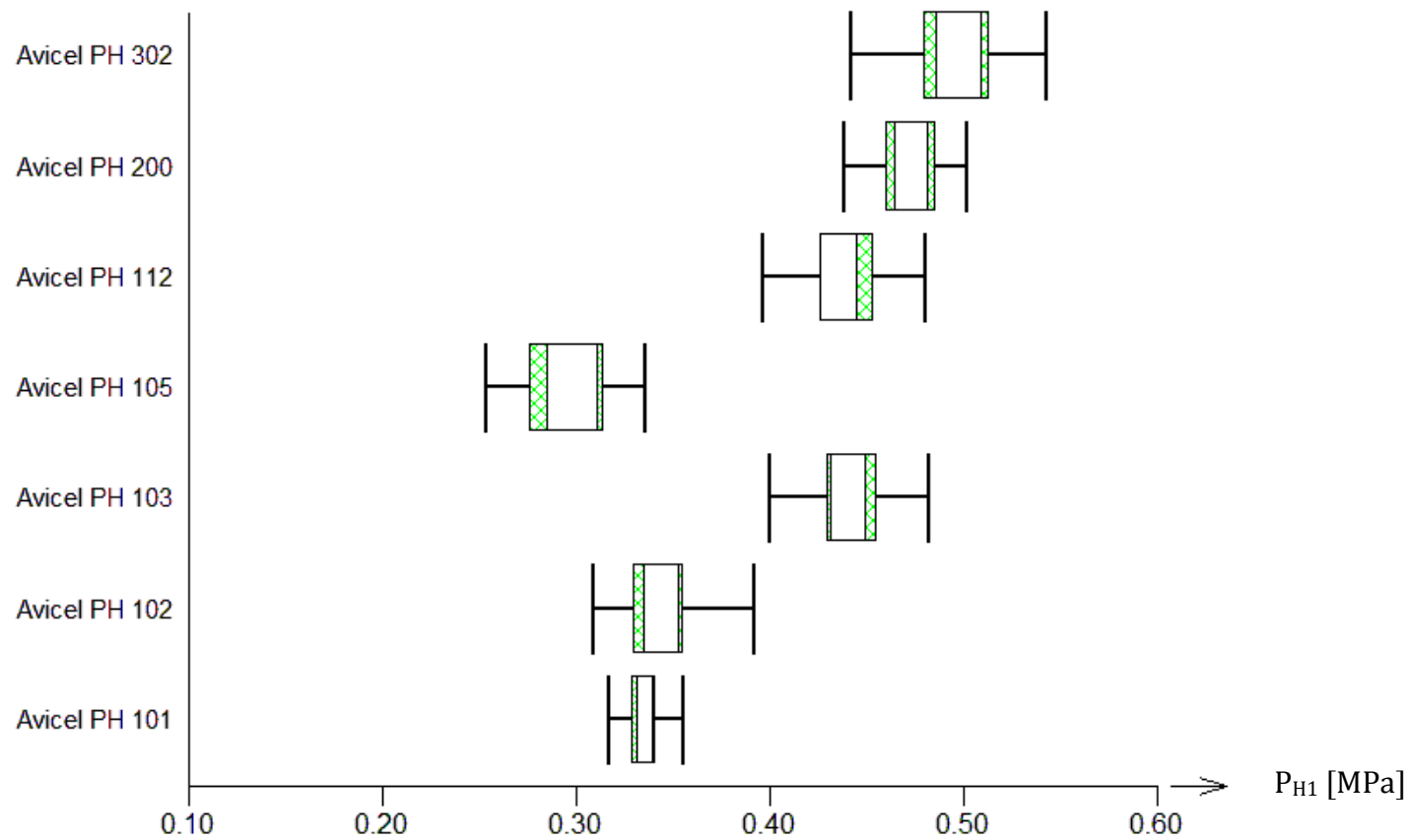
Graf č. 16: Závislost parametru rovnice lisování $1/t_2$ na použitém Avicelu



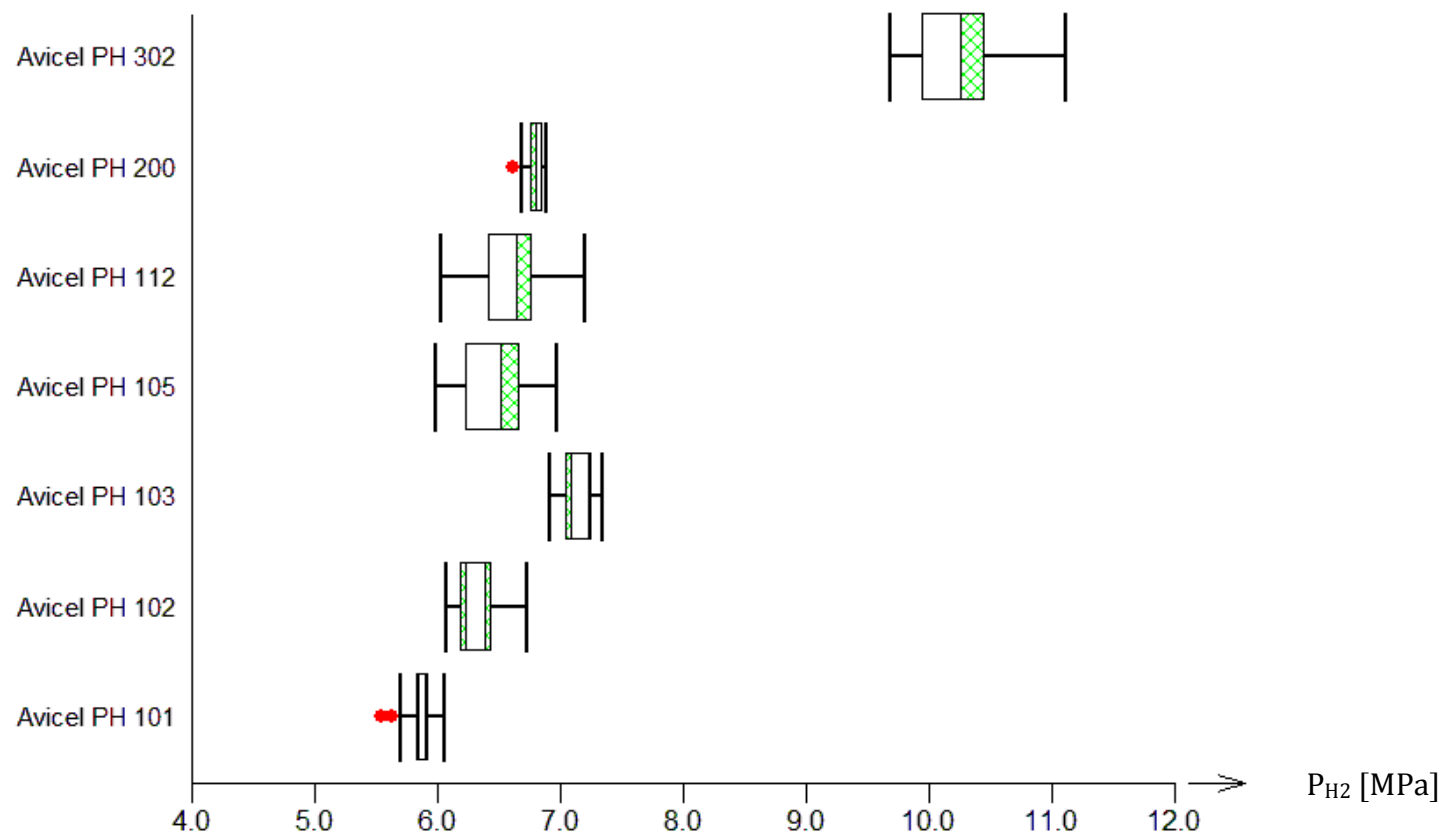
Graf č. 17: Závislost parametru rovnice lisování $1/t_3$ na použitém Avicelu



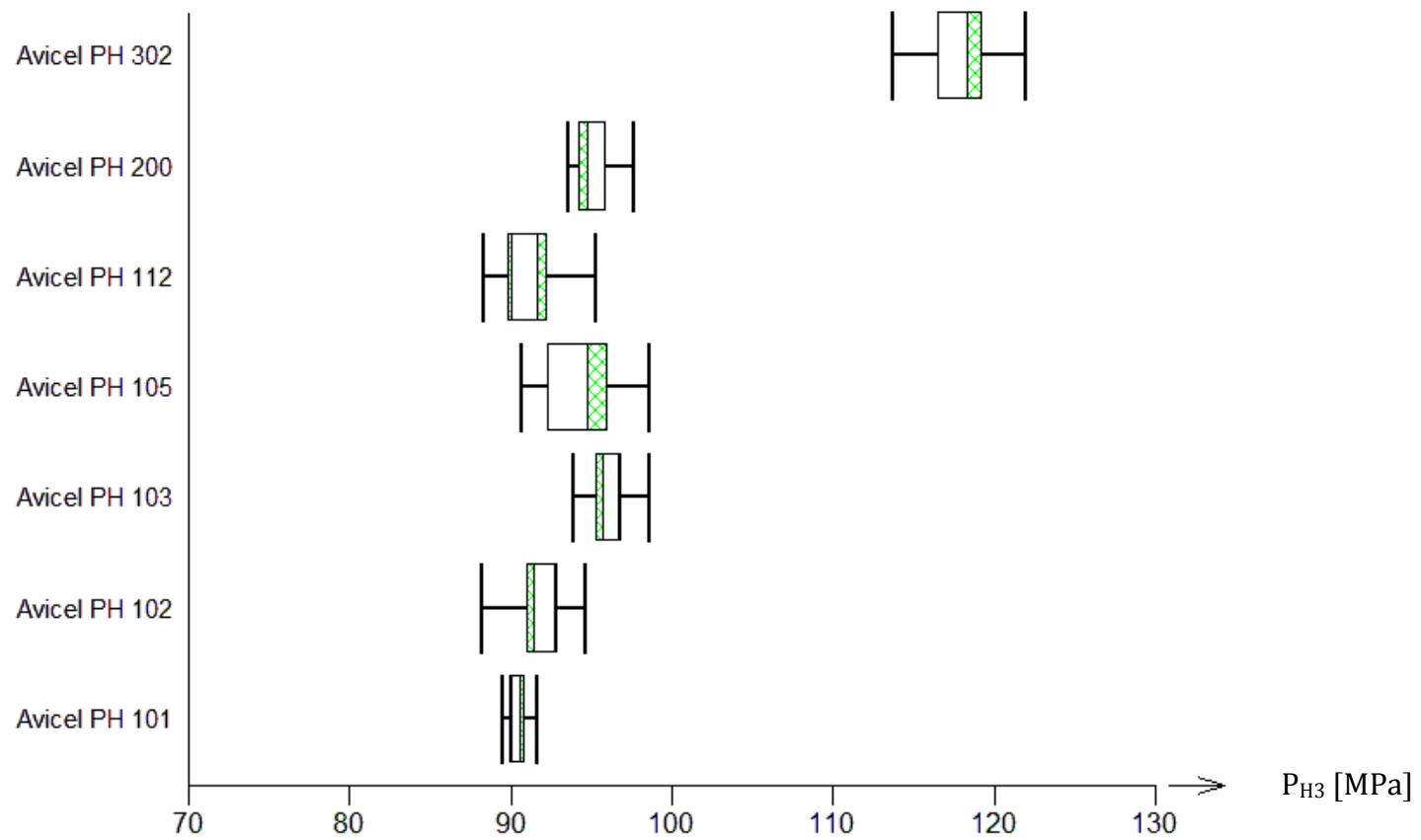
Graf č. 18: Závislost parametru rovnice lisování P_{H1} na použitém Avicelu



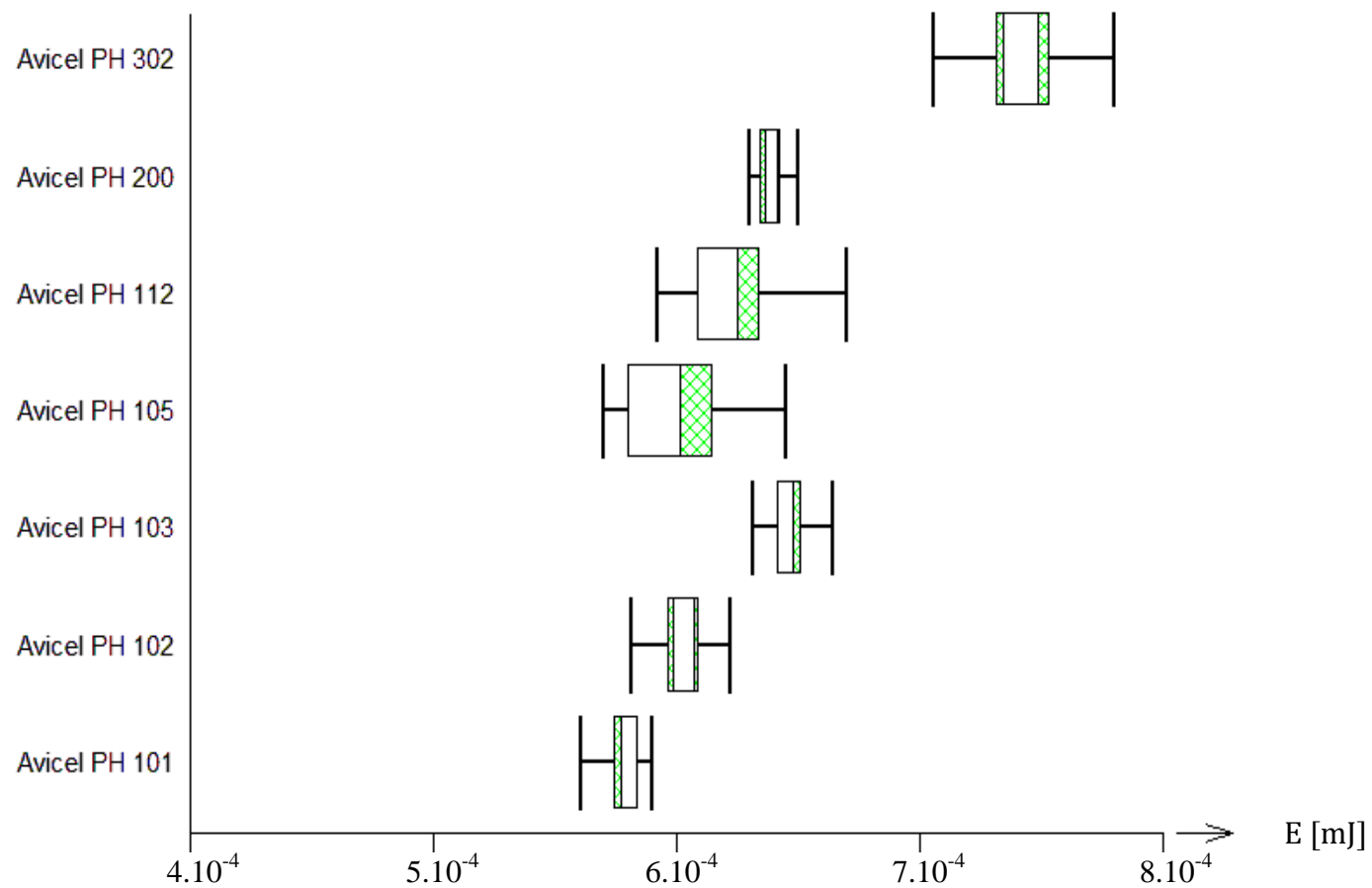
Graf č. 19: Závislost parametru rovnice lisování P_{H2} na použitém Avicelu



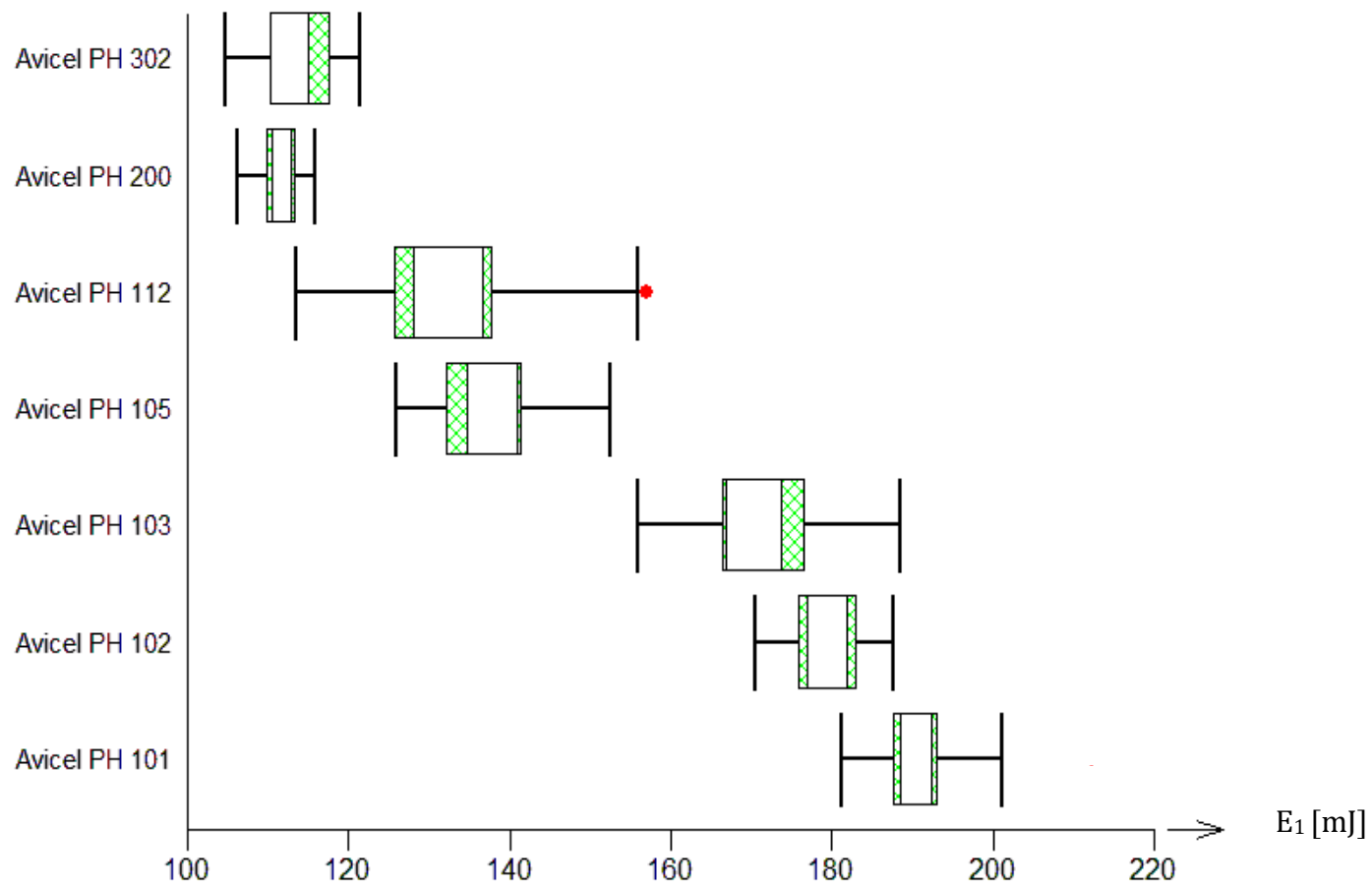
Graf č. 20: Závislost parametru rovnice lisování P_{H3} na použitém Avicelu



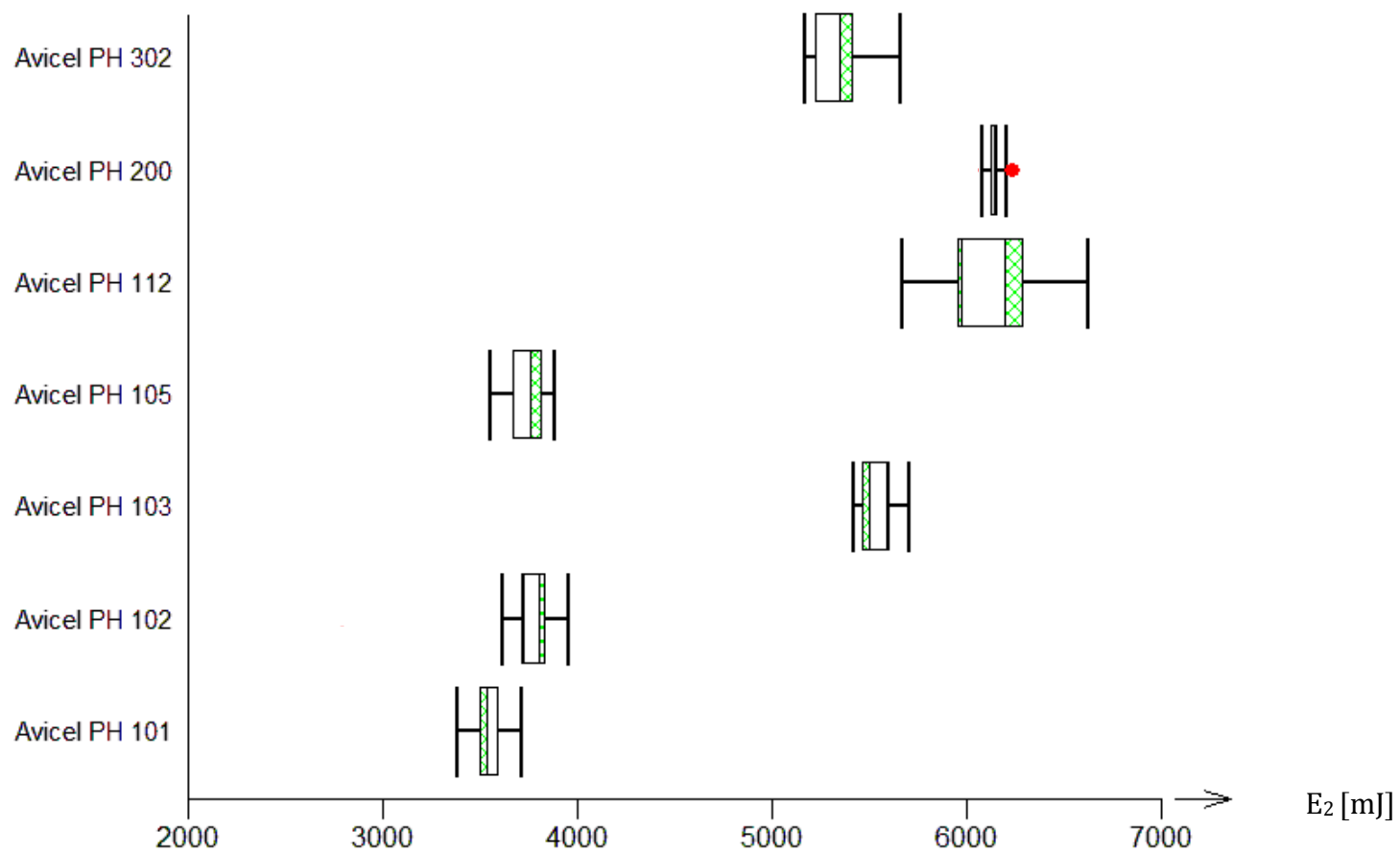
Graf č. 21: Závislost parametru rovnice lisování E na použitém Avicelu



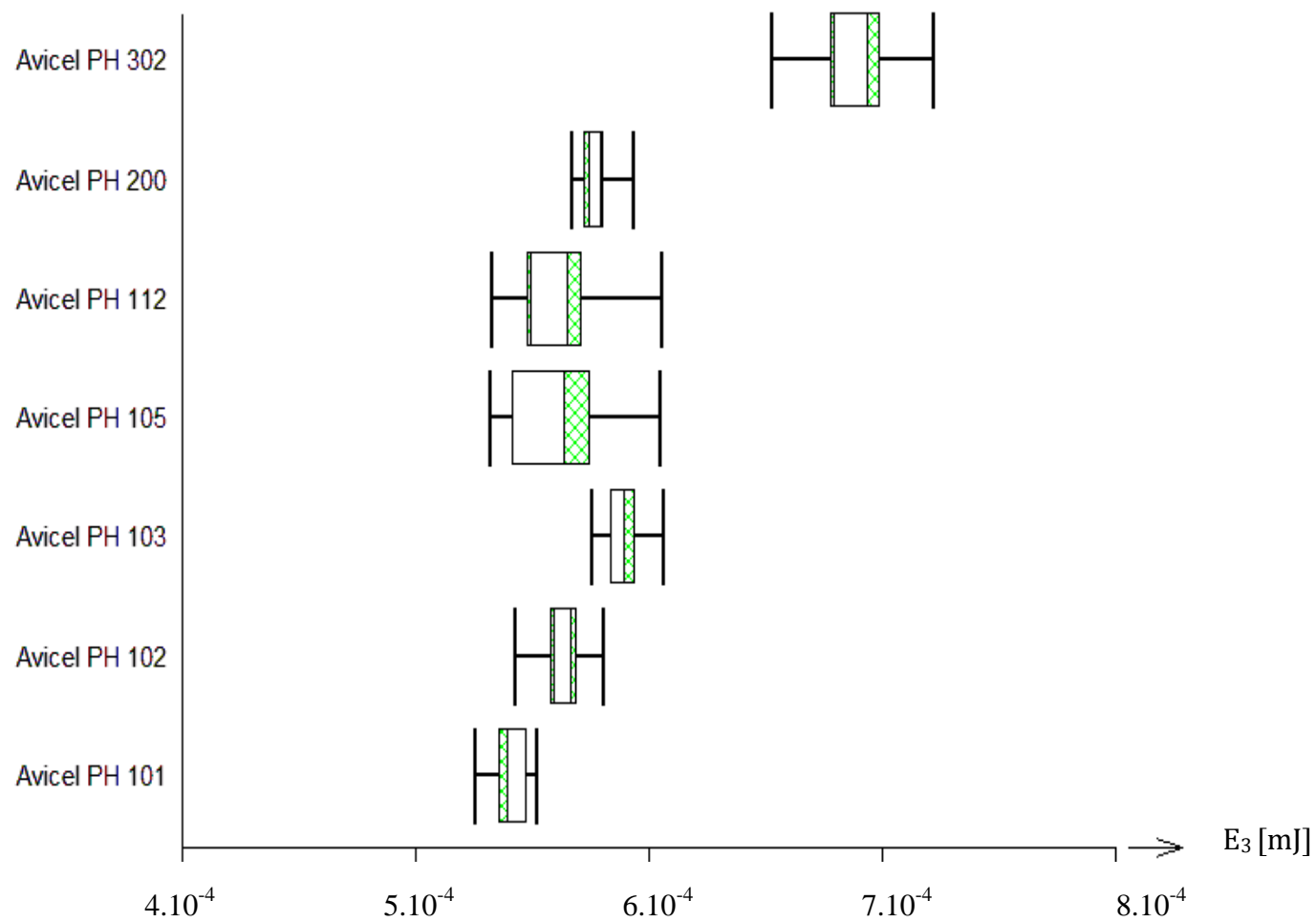
Graf č. 22: Závislost parametru rovnice lisování E_1 na použitém Avicelu



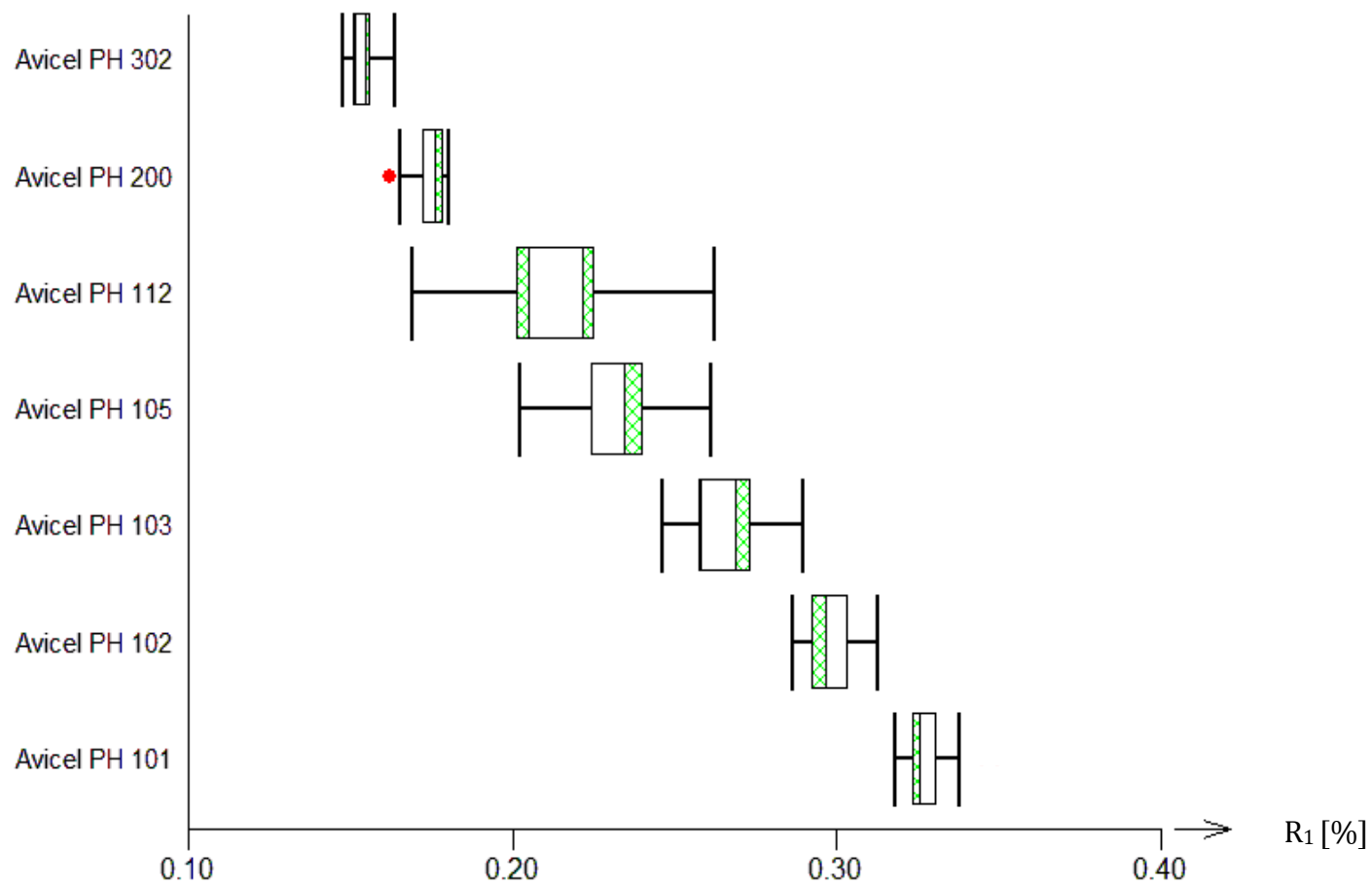
Graf č. 23: Závislost parametru rovnice lisování E_2 na použitém Avicelu



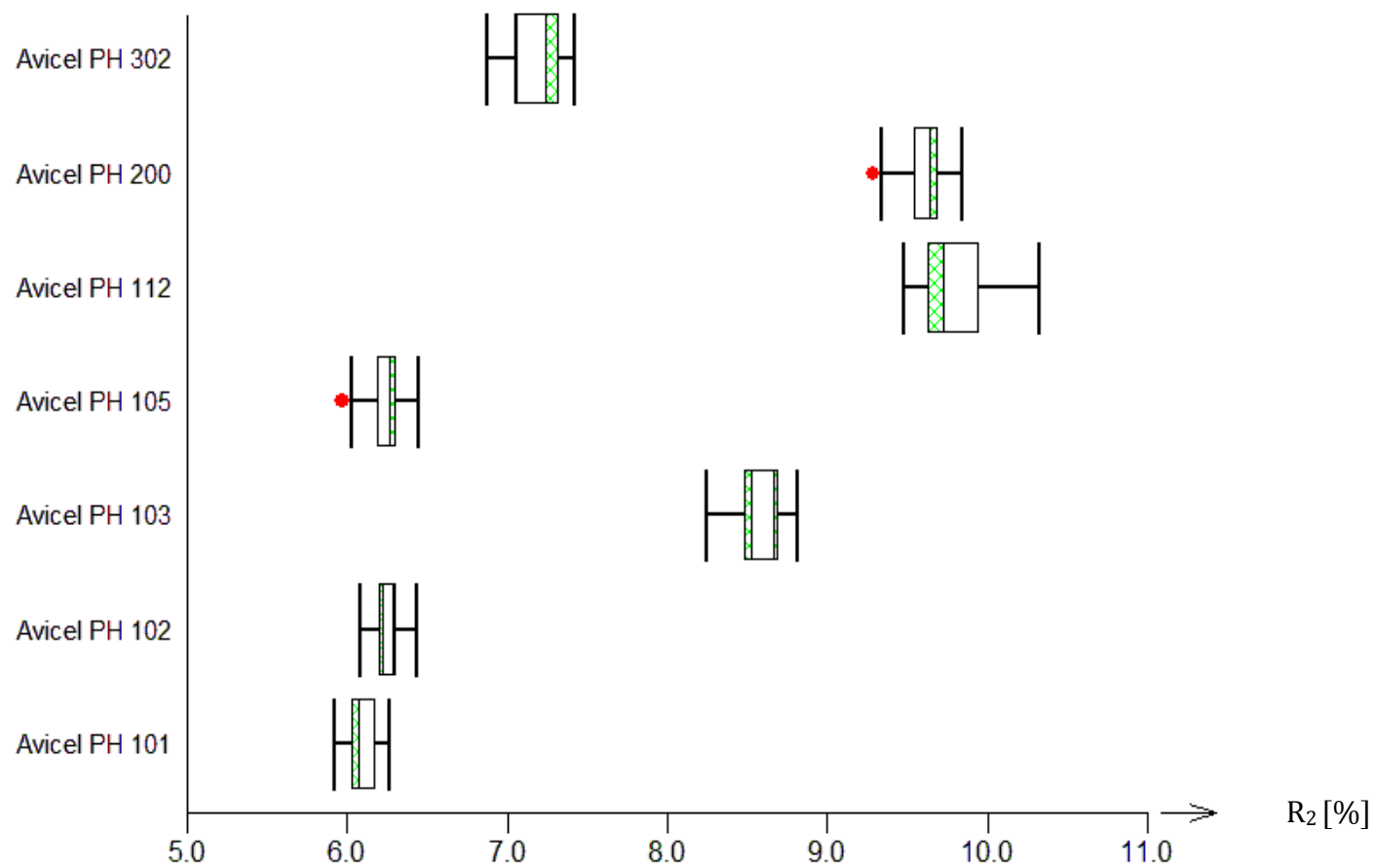
Graf č. 24: Závislost parametru rovnice lisování E_3 na použitém Avicelu



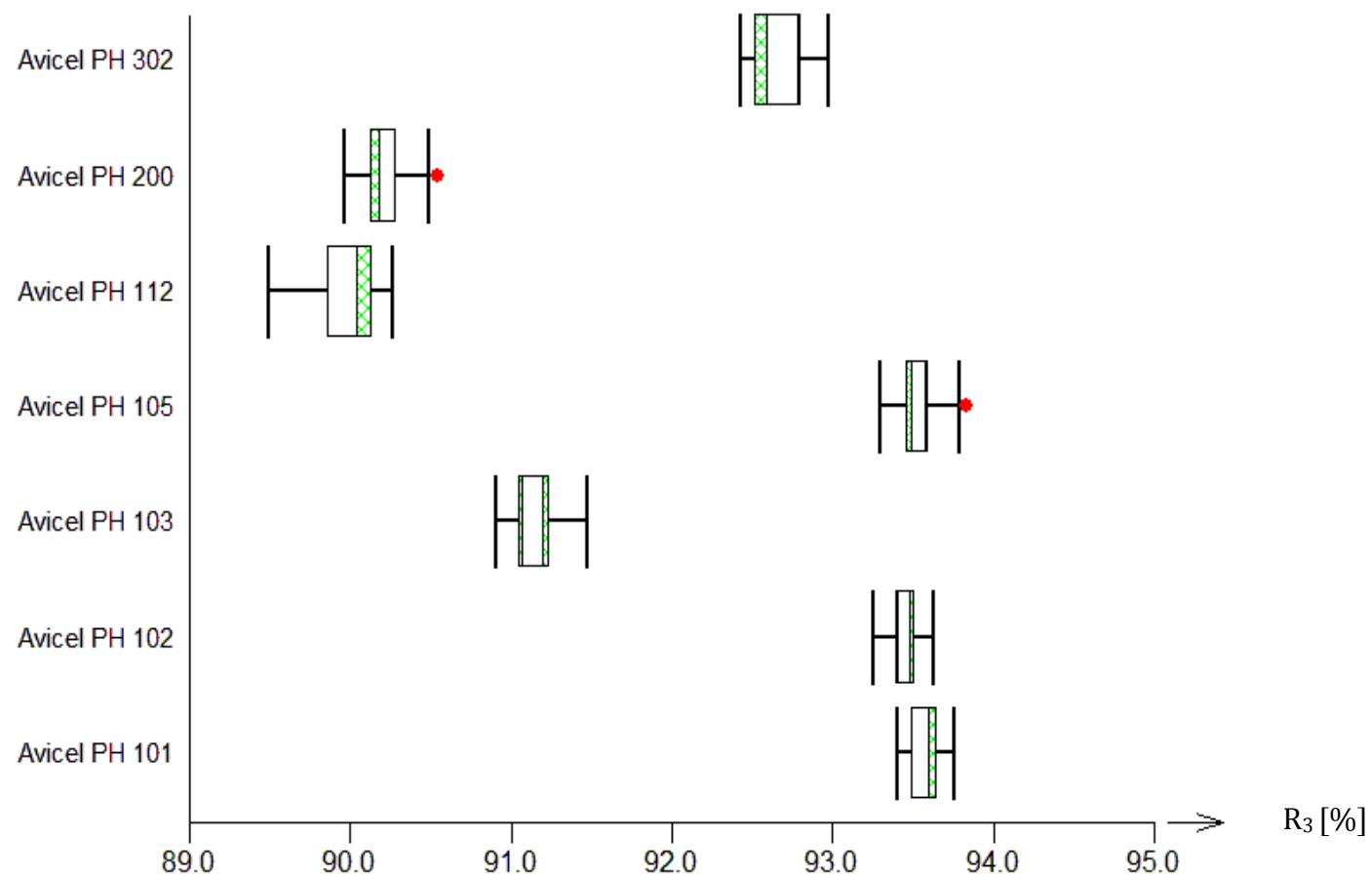
Graf č. 25: Závislost parametru rovnice lisování R_1 na použitém Avicelu



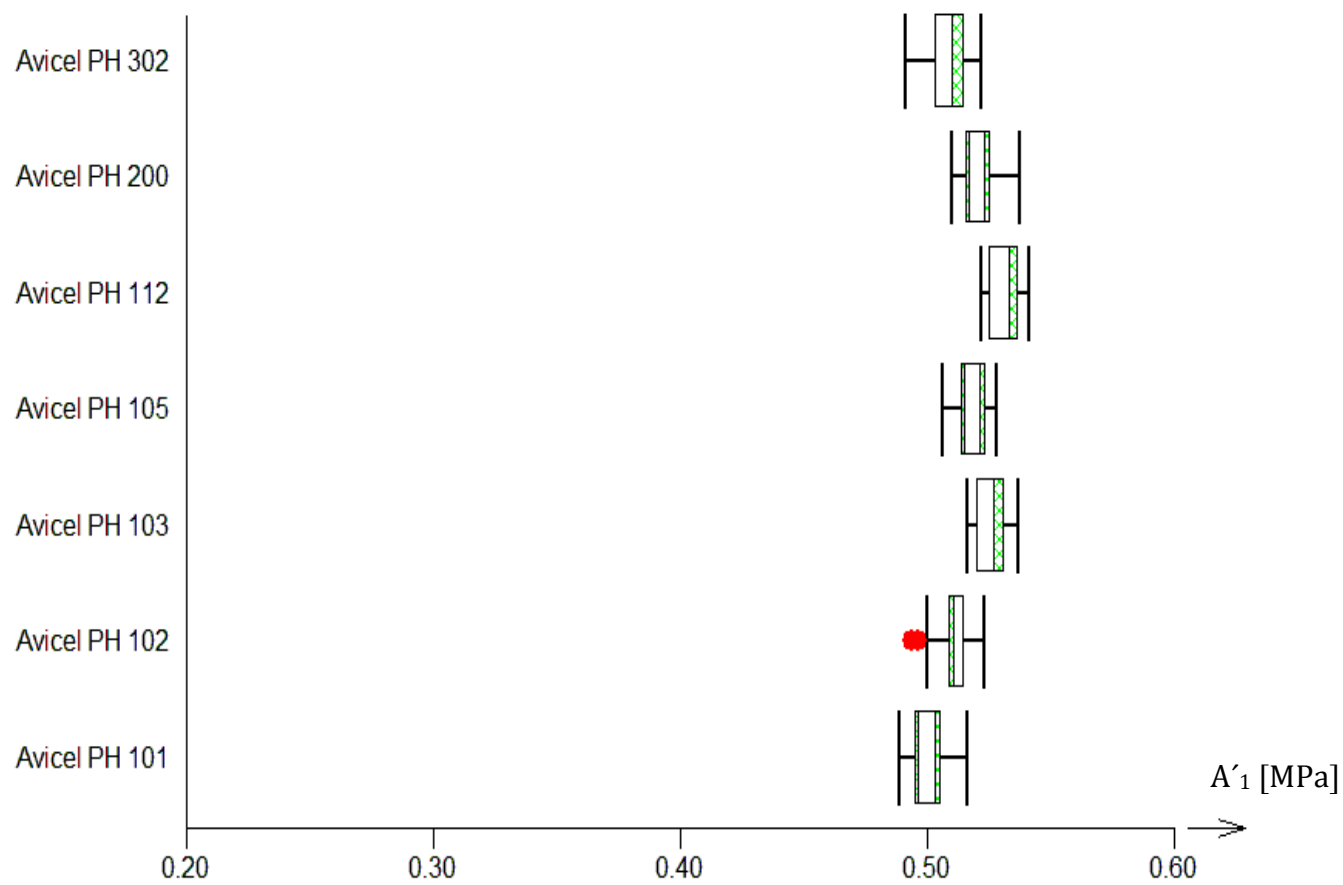
Graf č. 26: Závislost parametru rovnice lisování R_2 na použitém Avicelu



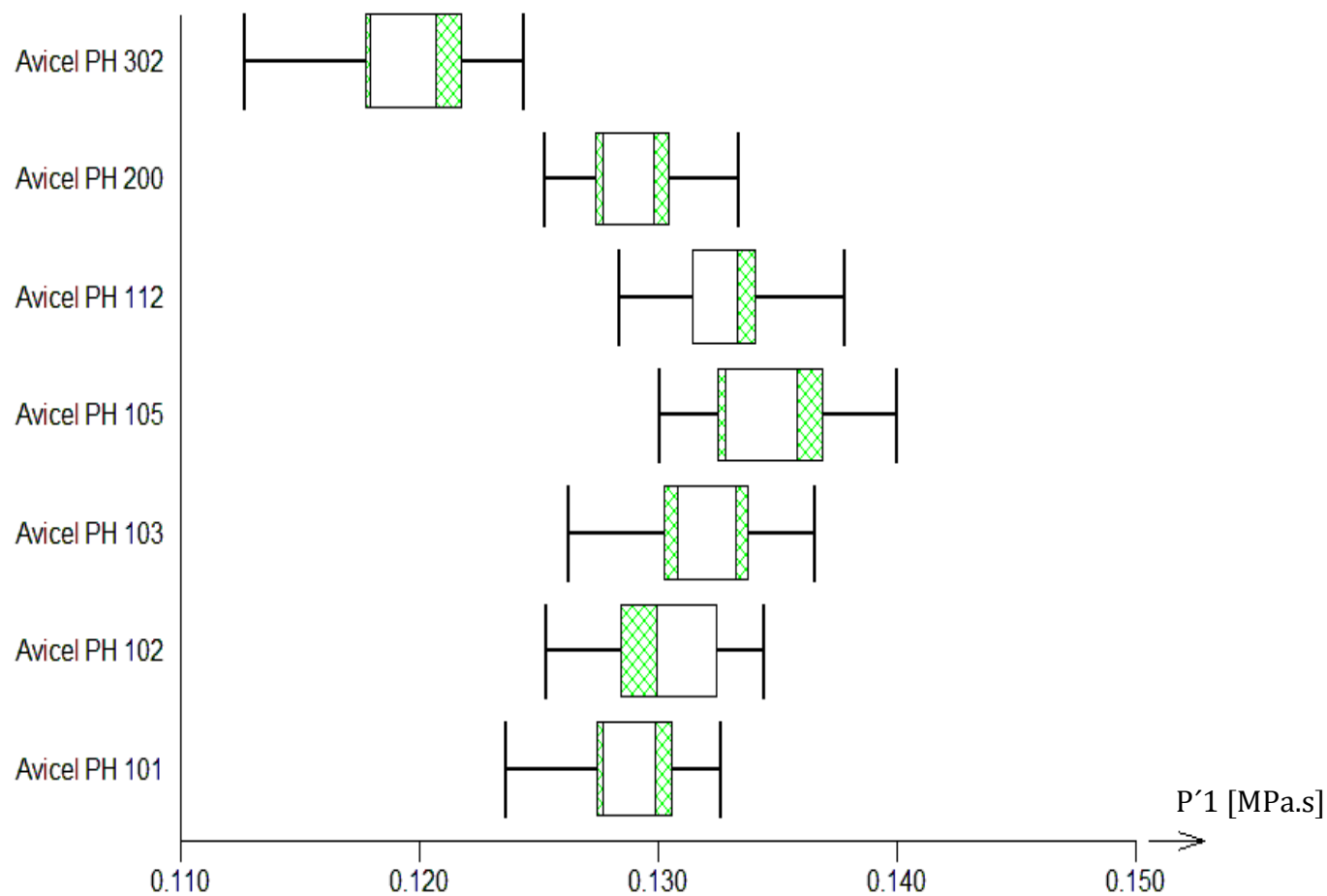
Graf č. 27: Závislost parametru rovnice lisování R_3 na použitém Avicelu



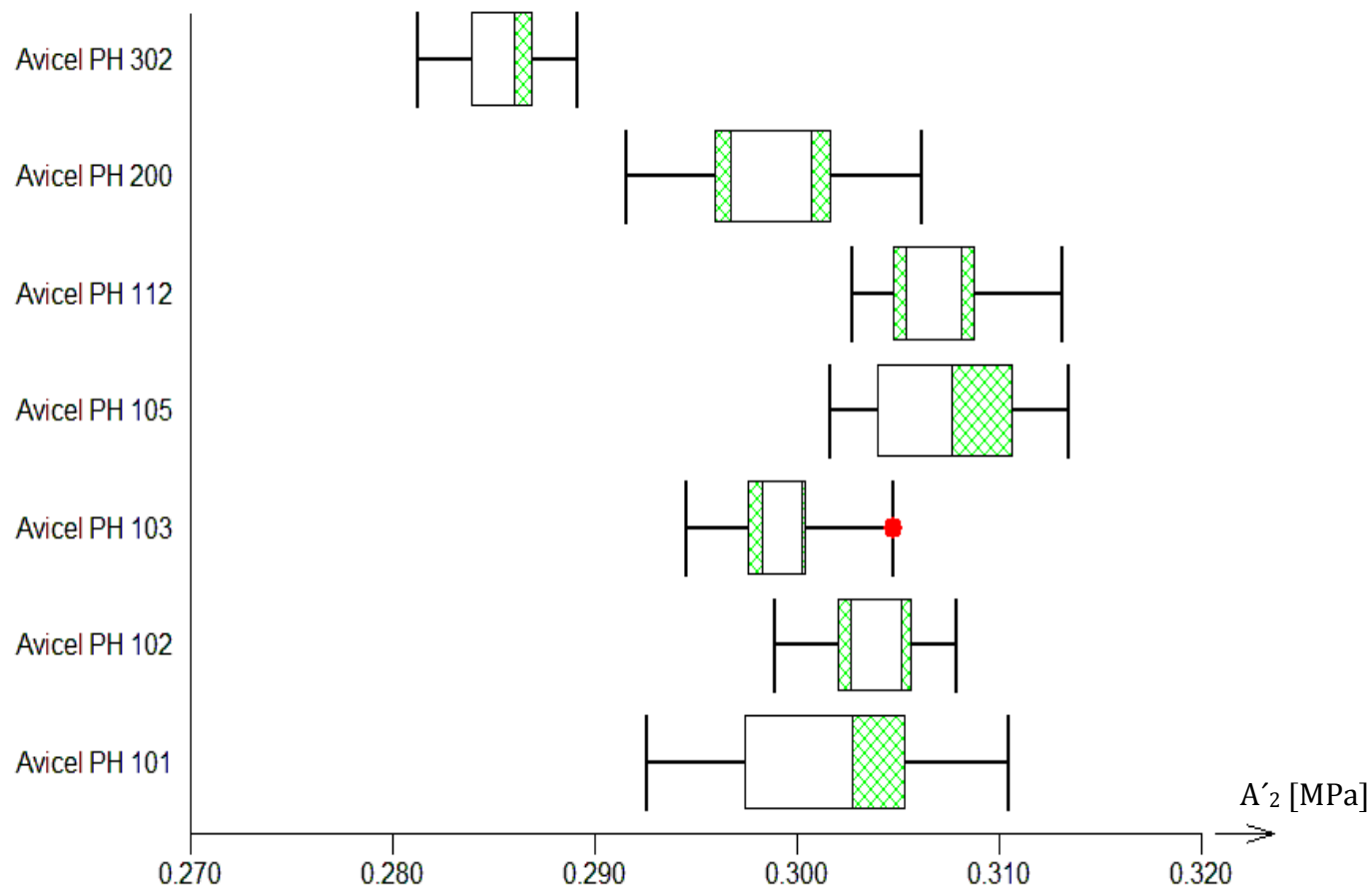
Graf č. 28: Závislost parametru A'_1 testu stresové relaxace na použitém Avicelu



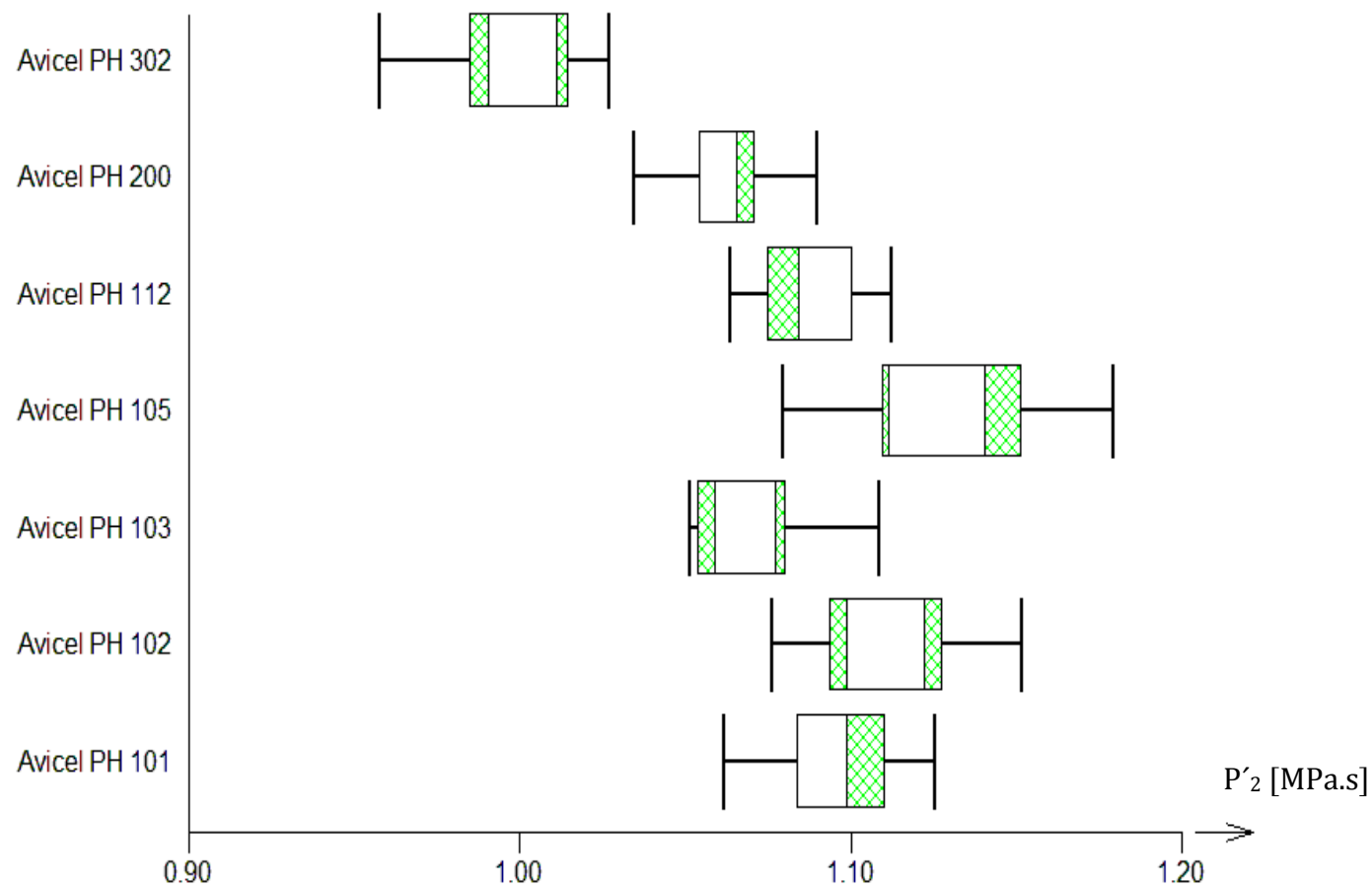
Graf č. 29: Závislost parametru P'_1 testu stresové relaxace na použitém Avicelu



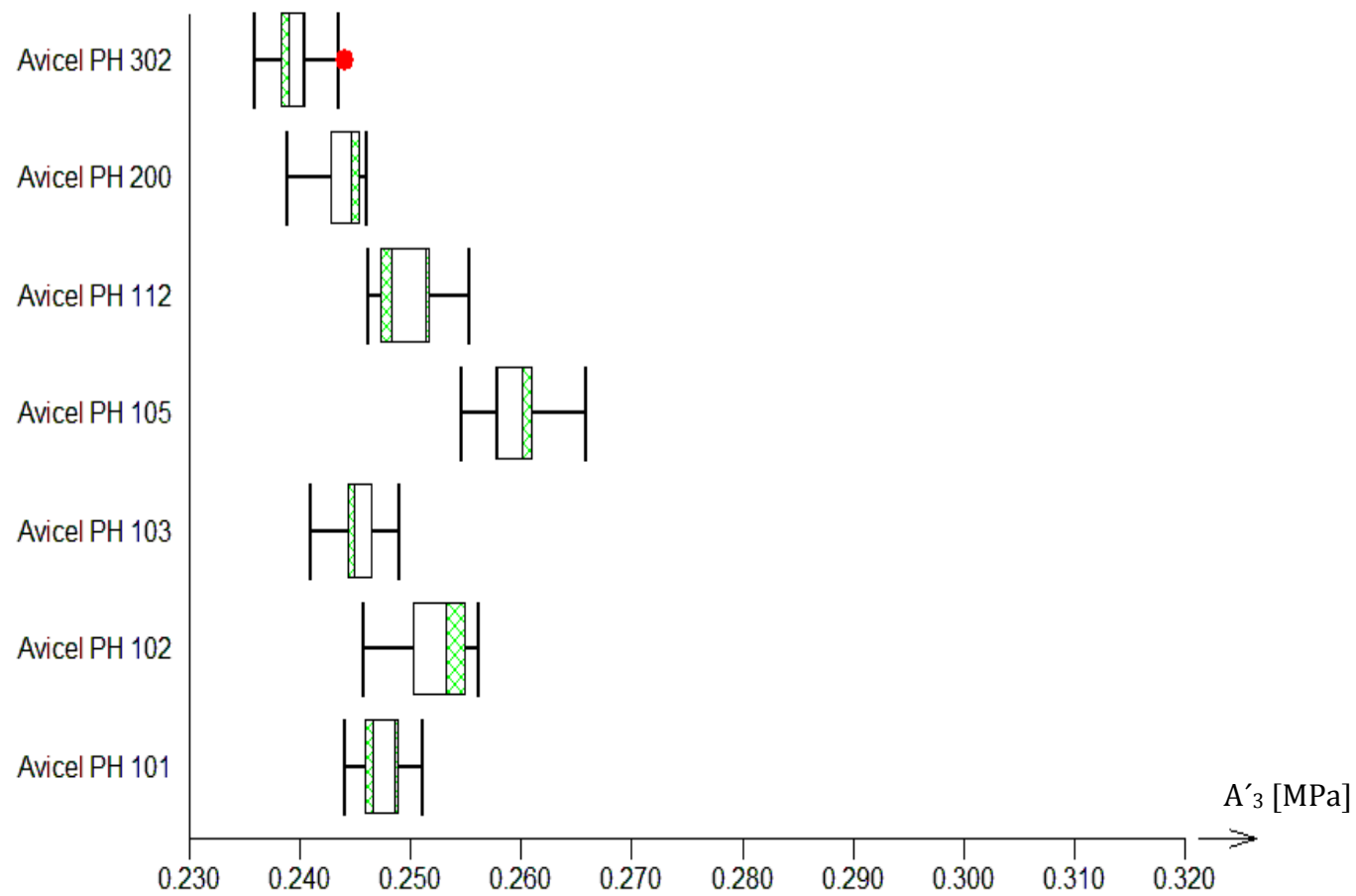
Graf č. 30: Závislost parametru A'_2 testu stresové relaxace na použitém Avicelu



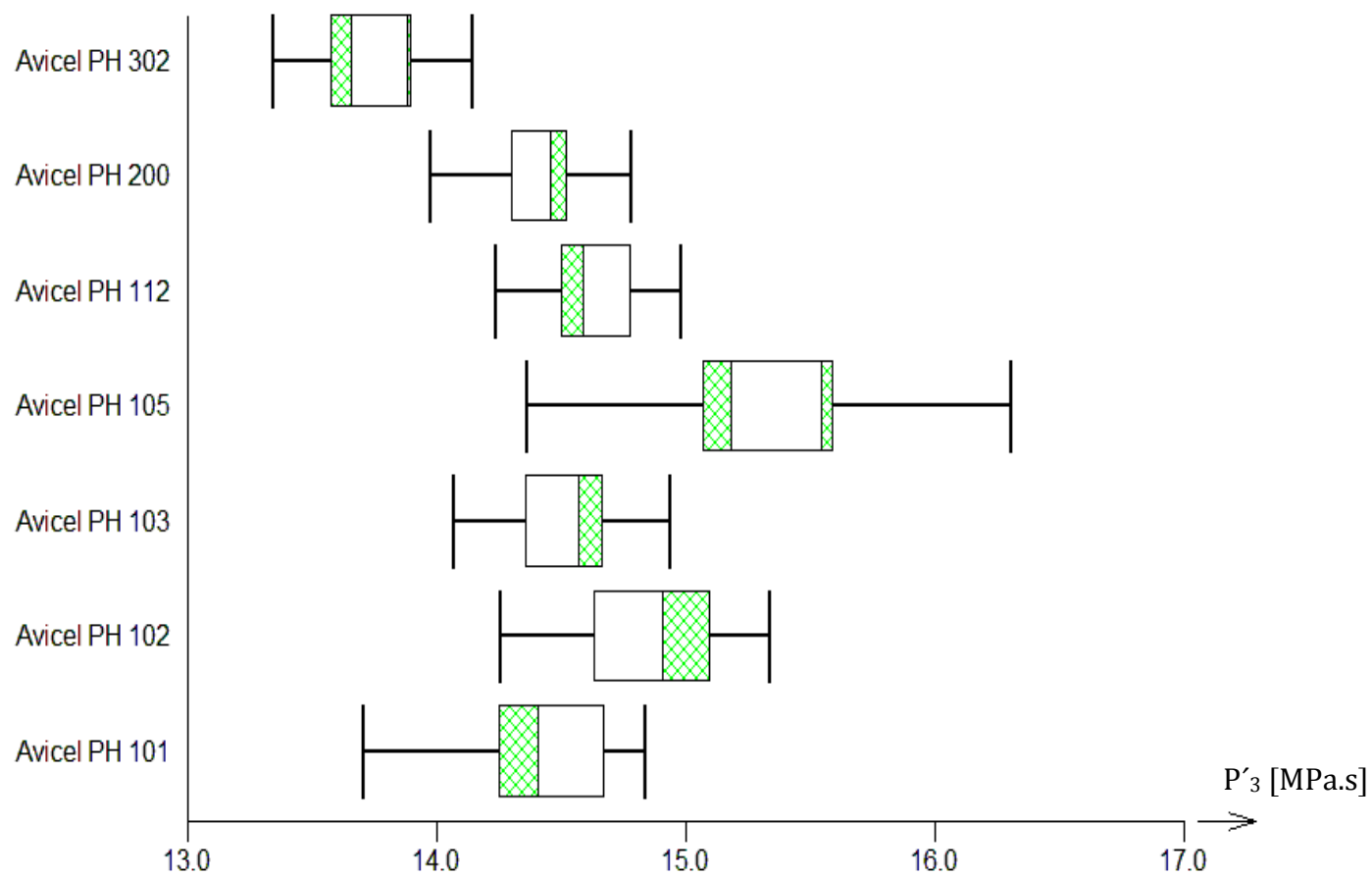
Graf č. 31: Závislost parametru P'_2 testu stresové relaxace na použitém Avicelu



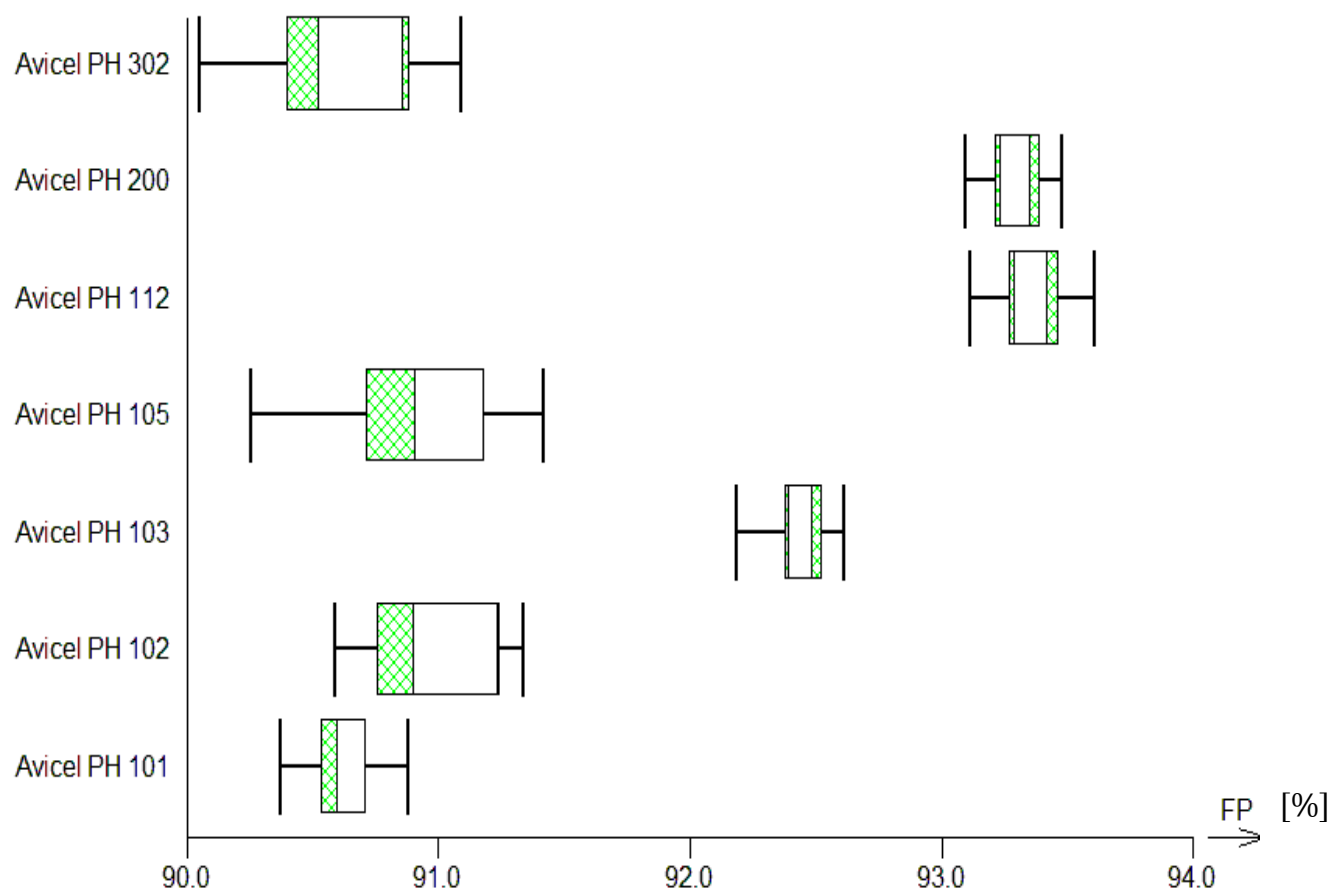
Graf č. 32: Závislost parametru A'_3 testu stresové relaxace na použitém Avicelu



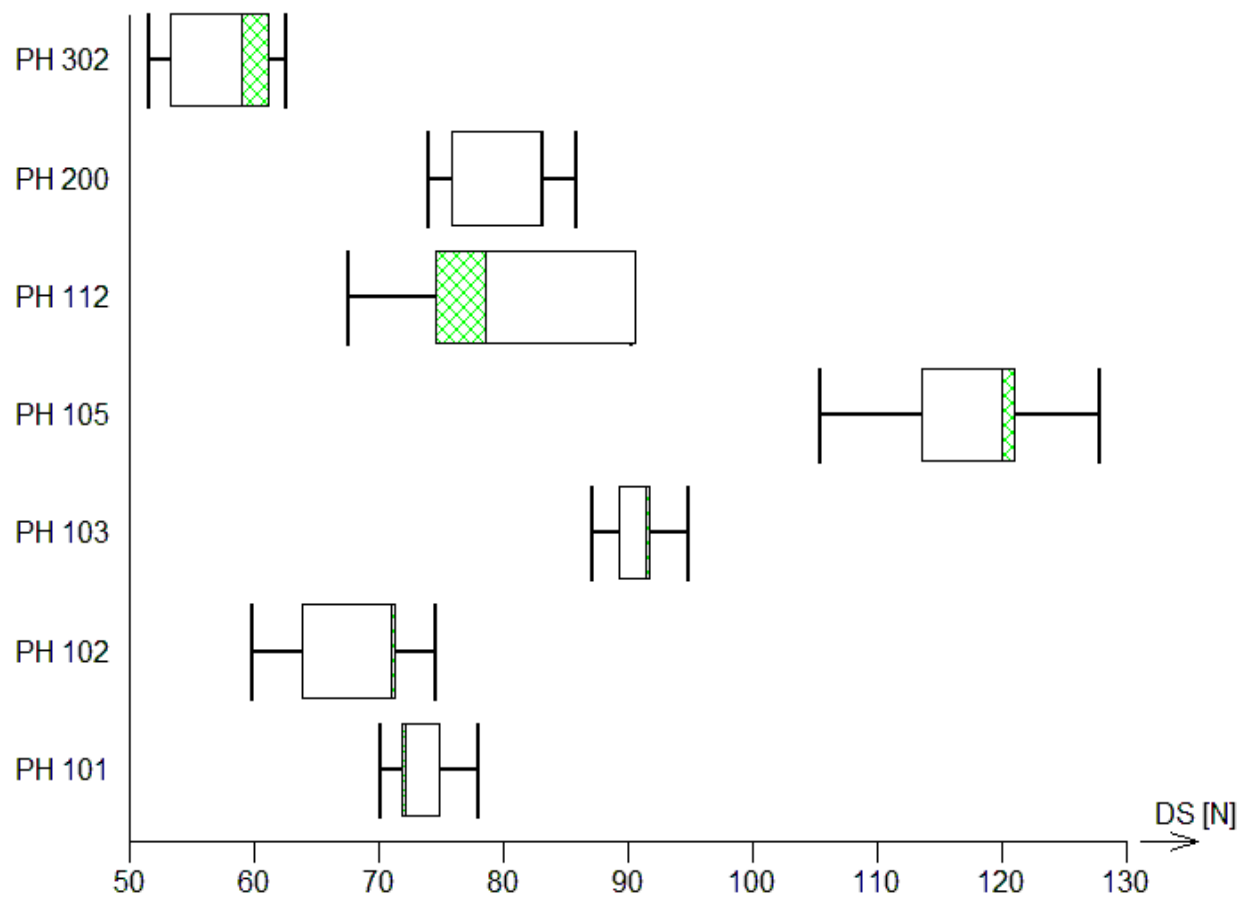
Graf č. 33: Závislost parametru P'_3 testu stresové relaxace na použitém Avicelu



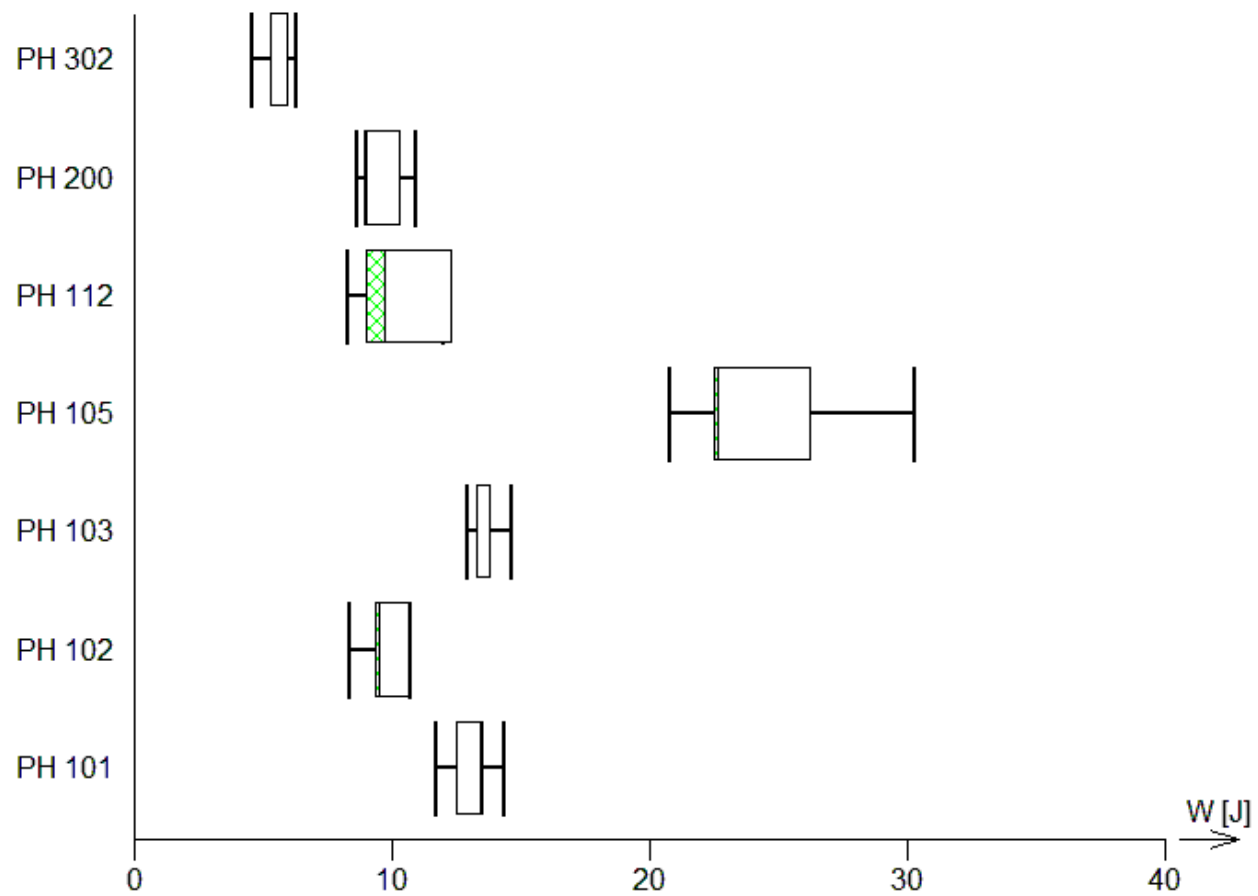
Graf č. 34: Grafické znázornění parametru FP ze záznamu síla-dráha



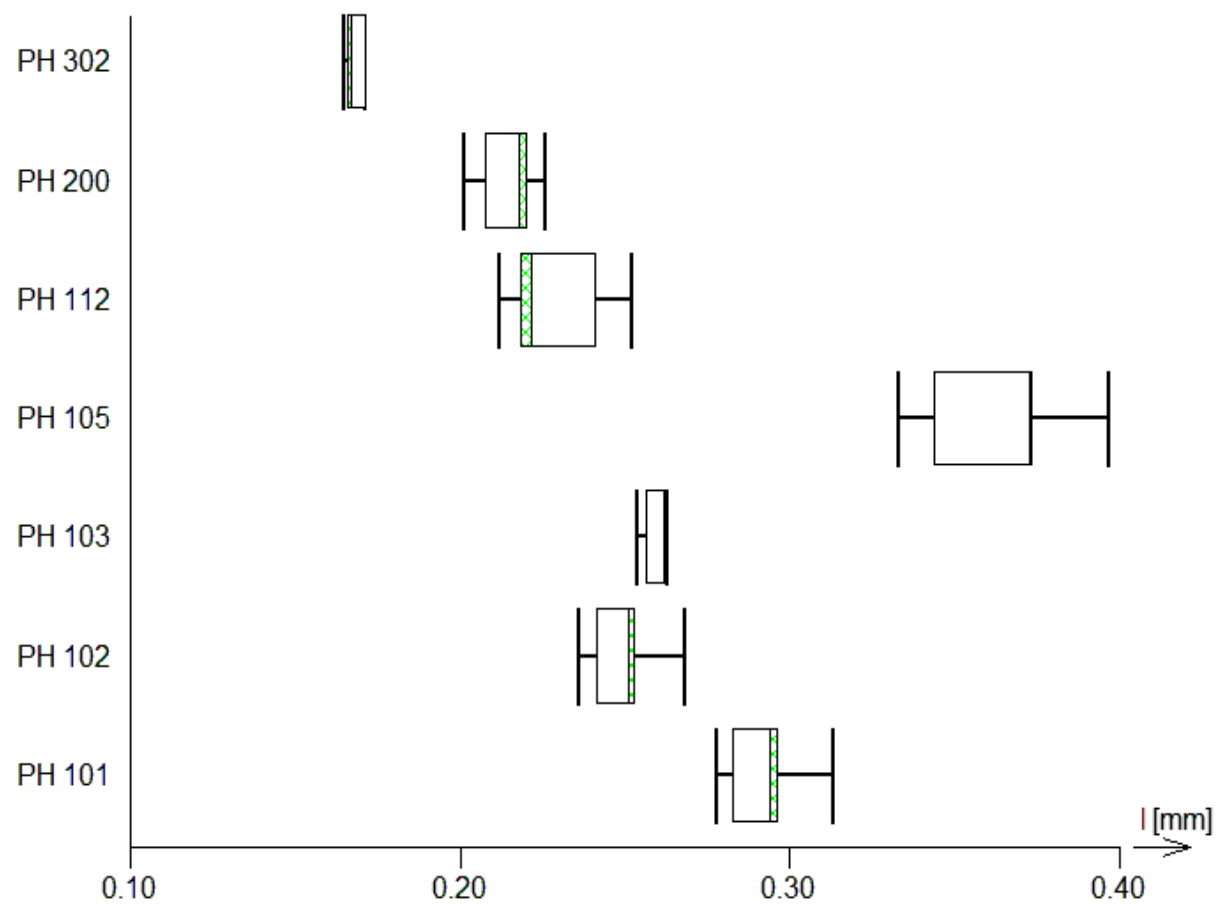
Graf č. 35: Grafické znázornění parametru DS z testu kinetiky drcení



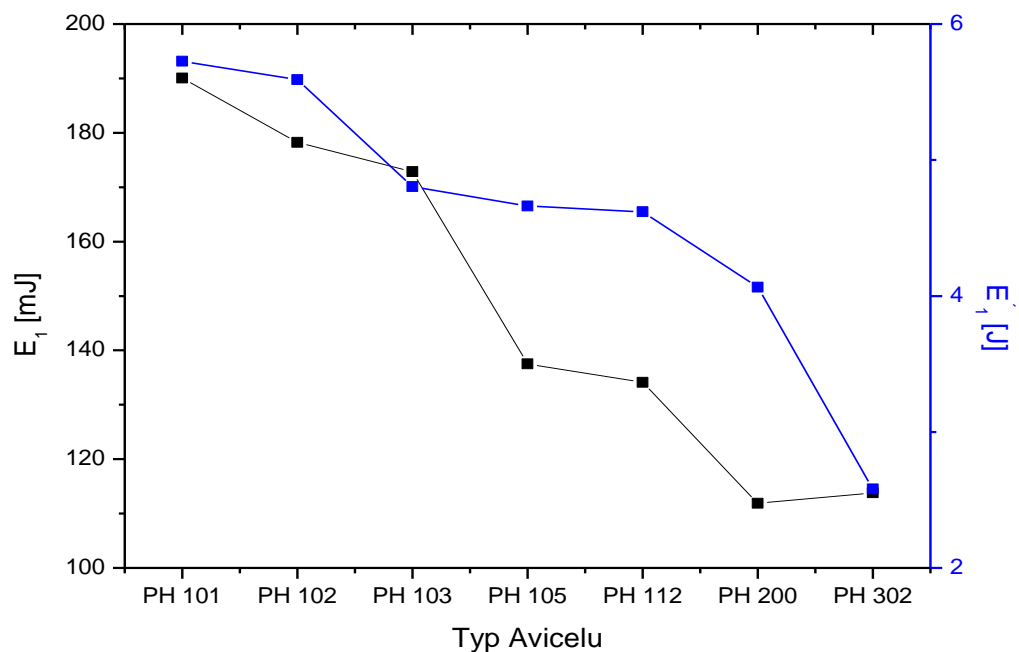
Graf č. 36: Grafické znázornění parametru W z testu kinetiky drcení



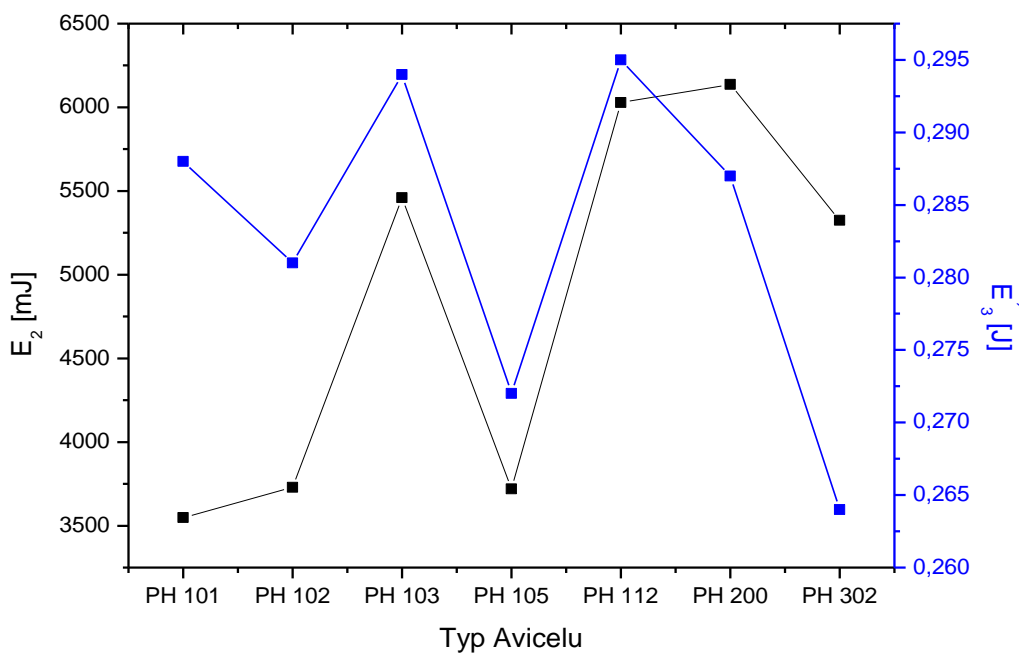
Graf č. 37: Grafické znázornění parametru l z kinetiky drcení



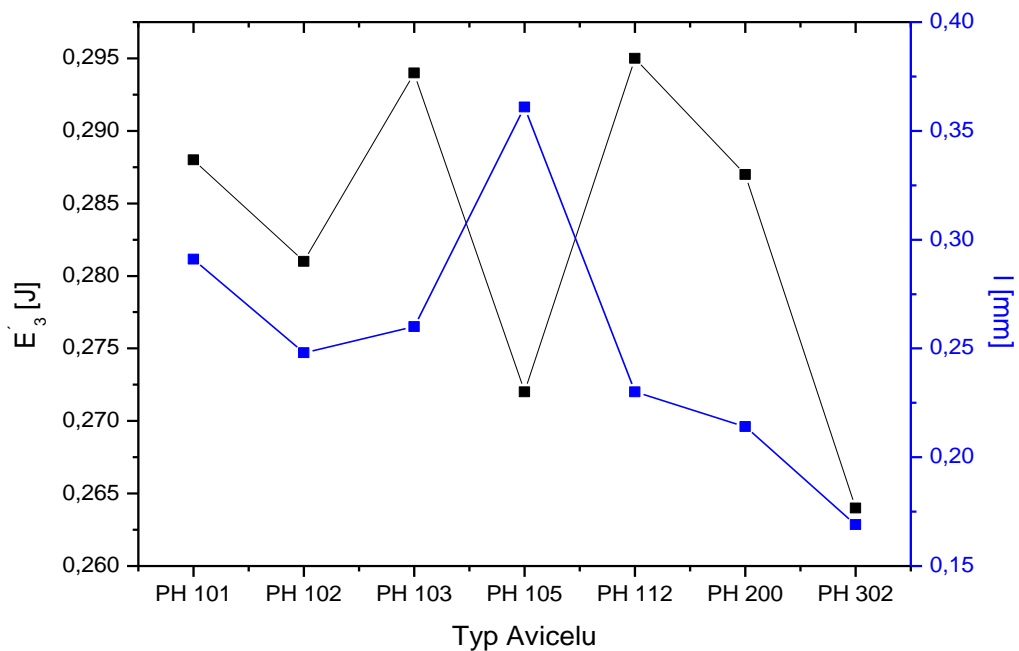
Graf č. 38: Znáznornění parametru E_1 z rovnice lisování a parametru E'_1 ze záznamu síla-
dráha v závislosti na použitém Avicelu



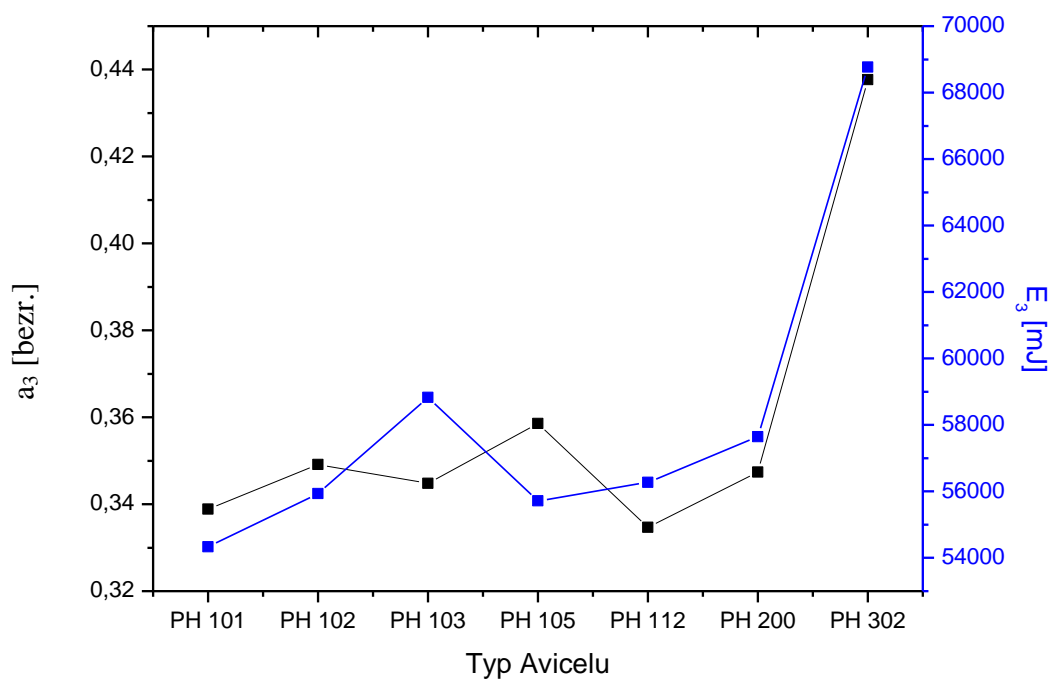
Graf č. 39: Znáznornění parametru E_2 z rovnice lisování a parametru E'_3 ze záznamu síla-
dráha v závislosti na použitém Avicelu



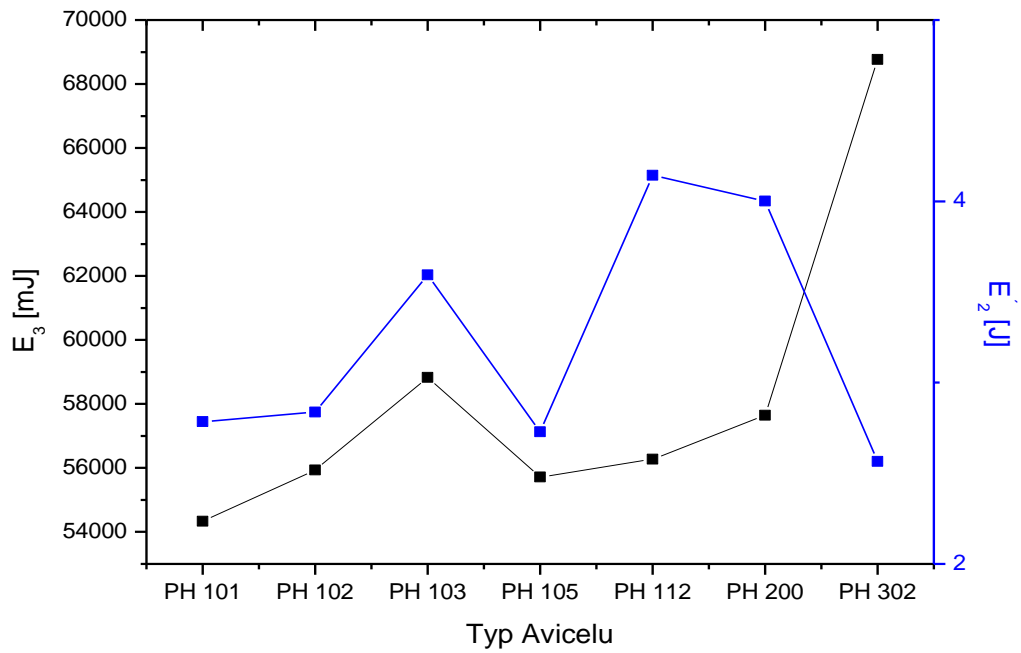
Graf č. 40: Znázornění parametru E_3 ze záznamu síla-dráha a parametru l ze záznamu kinetiky drcení v závislosti na použitém Avicelu



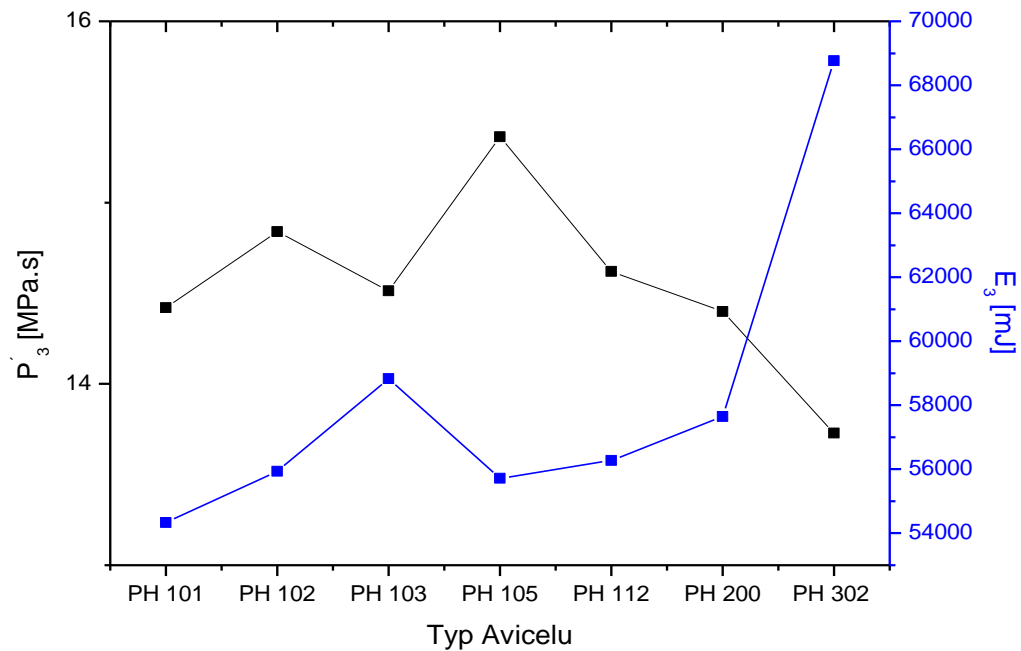
Graf č. 41: Znázornění parametru a_3 a parametru E_3 z rovnice lisování v závislosti na použitém Avicelu



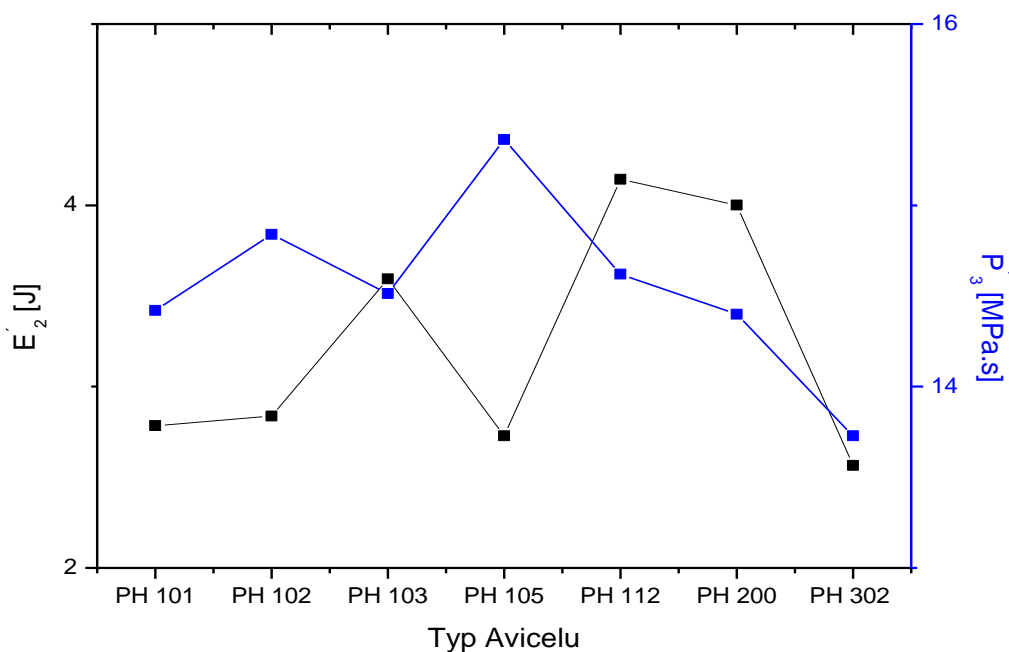
Graf č. 42: Znázornění parametru E_3 z rovnice lisování a parametru E'_2 ze záznamu síla-
dráha v závislosti na použitém Avicelu



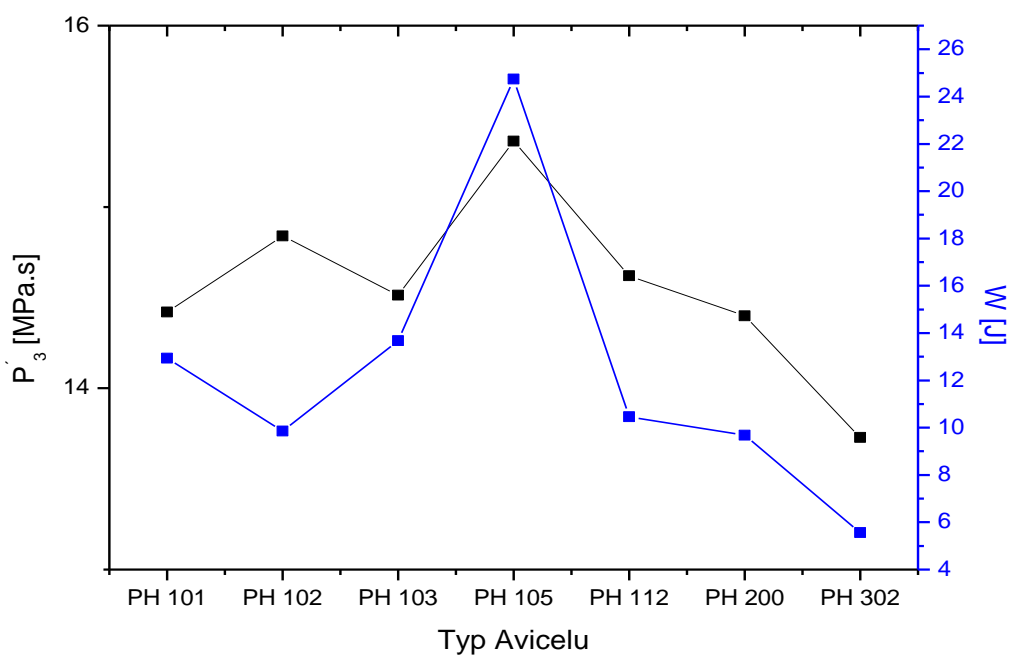
Graf č. 43: Znázornění parametru P'_3 z testu stresové relaxace a parametru E_3 z rovnice
lisování v závislosti na použitém Avicelu



Graf č. 44: Znázornění parametru E'_2 ze záznamu síla-dráha a parametru P'_3 z testu stresové relaxace v závislosti na použitém Avicelu



Graf č. 45: Znázornění parametru P'_3 z testu stresové relaxace a parametru W ze záznamu kinetiky drcení v závislosti na použitém Avicelu



5. Diskuze

5.1 Fyzikálně chemické charakteristiky mikrokrytalických celulos

U testovaných mikrokrytalických celulos byla hodnocena velikost částic optickou mikroskopií. Tokové vlastnosti byly hodnoceny sypností a sypným úhlem. Sypné a setřesné vlastnosti byly hodnoceny sypnou a setřesnou hustotou a indexem stlačitelnosti. Teploty a tepla tání, teploty skelného přechodu a specifické tepelné přídávky byly hodnoceny metodou DSC. Velikosti částic a sypné vlastnosti Avicelů mají význam pro proces plnění matrice a také ovlivňují hmotnostní stejnoměrnost tablet. Naproti tomu parametry termické analýzy mohou mít vliv na vlastní proces formování tablety.

Velikost částic pevných látek podstatně ovlivňuje jejich sypnost a lisovatelnost. Testované Avicely měly deklarované velikosti částic v rozmezí od 20 μm do 180 μm . Nejmenší velikost částic 20 μm měl Avicel PH-105, velikost částic 50 μm měly Avicely PH-101 a PH-103, velikost částic 100 μm měly Avicely PH-102, PH-112 a PH-302 a největší velikost částic 180 μm měl Avicel PH-200. Získané výsledky měření velikosti částic jsou uvedeny v tabulce č. 2 a v grafu č. 8, ve kterých jsou porovnány s deklarovanou velikostí částic uvedenou výrobcem. Z výsledků vyplývá, že pouze u Avicelů PH-102, PH-200 a PH-302 byly naměřené hodnoty velikosti částic nižší, než deklaroval výrobce (zanedbáme-li rozdíly v řádech 1-2 μm). U měřených Avicelů byly však zjištěny vyšší hodnoty směrodatných odchylek v důsledku vyššího podílu malých částic, což ovlivňovalo parametry lisovacího procesu.

Tokové vlastnosti Avicelů byly hodnoceny stanovením sypnosti a sypného úhlu. Získané výsledky jsou uvedeny v tabulce č. 3 a v grafu č. 9. Stanovení sypnosti je méně vypovídající metodou než stanovení sypného úhlu. Nejvyšších hodnot sypnosti dosáhly Avicely PH-200 a PH-112. Určitý náznak byl rovněž zjištěn u Avicelu PH-302. Ostatní Avicely vykazovaly nulovou sypnost. Výsledky ze stanovení sypného úhlu poukazují na vliv velikosti částic Avicelů na jejich sypnost. Přitom platí zásada, že s růstem sypného úhlu se sypnost snižuje. Sypnost se rovněž snižuje s klesající velikostí částic. Nejlepší sypné vlastnosti (nejvyšší sypnost 15,1 g/s a nejnižší sypný úhel 37,5°) vykazoval Avicel PH-200, který měl největší velikost částic ze všech měřených Avicelů (180 μm). Nižší sypnost vykazovaly Avicely PH-112, PH-302, resp. PH-102 s velikostí částic

100 μm . Nejnižší sypnosti byly pak zaznamenány u Avicelů PH-101 a PH-103 s velikostí částic 50 μm a u Avicelu PH-105 s velikostí částic 20 μm .

Sypná hustota charakterizuje hustotu prachů po volném nasypání do nádoby. K hodnocení byla použita metoda s odměrným válcem a dále volumetrem, ve kterém prášek klouže po šikmých sklech a rovnoměrně plní nádobu o daném objemu. Měření pomocí volumteru je přesnější. Jednak z důvodu výše uvedeného rovnoměrnějšího plnění nádoby, tak pro přesný odečet protečeného množství. Při použití odměrného válce jsou hodnoty sypných hustot s výjimkou Avicelu PH-200 a PH-302 téměř stejné. I proto se zdá směřodatnější hodnocení pomocí volumetru. Pomocí volumetru byla zaznamenána nejnižší hodnota sypné hustoty u Avicelu PH-105. Tento Avicel měl nejnižší velikost částic (20 μm) ze všech měřených Avicelů, podle firemních údajů má mít také nejlepší lisovatelnost. Vysoká sypná hustota byla zaznamenána u Avicelu PH-200 s největší velikostí částic (180 μm). Podstatně nejvyšší sypnou hustotu měl Avicel PH-302. U této látky se dá předpokládat, že má ve své struktuře nejméně pórů. Naše výsledky se potvrzují s firemními údaji, kde je tento Avicel hodnocen jako mikrokrystalická celulosa s největší hustotou. Ostatní Avicely s velikostí částic v rozmezí 50 až 100 μm mají sypné hustoty mezi Avicely PH-105 a PH-302.

Dalšími hodnocenými parametry byly setřesná hustota a index stlačitelnosti. Tyto parametry charakterizují hustotu tabletoviny po nasypání do matrice. Setřesná hustota bývá vyšší než sypná hustota a tu kopíruje. Index stlačitelnosti charakterizuje v procentech rozdíl mezi setřesnou a sypnou hustotou. Z výsledků vyplývá, že nejnižší index stlačitelnosti pod 18 % měl Avicel PH-200. Čím jsou hodnoty indexu stlačitelnosti nižší, tím jsou tokové vlastnosti prášků lepší. Naměřené výsledky se tedy shodují s obecným popisem mikrokrystalických celulos, podle kterých má Avicel PH-200 nejlepší tokové vlastnosti z námi sledovaných Avicelů. (3) Nejvyšší index stlačitelnosti mají Avicely PH-101 a PH-102 s hodnotami nad 22 %. Ostatní Avicely mají indexy stlačitelnosti mezi 18 až 22 %.

Kalorimetrická metoda DSC charakterizuje chování látky při jejím zahřívání. Stanovení bylo provedeno v Synpu, a.s., Pardubice na zařízení DSC-TA Instrument DSC Q2000 (USA). Touto metodou se zjišťuje teplota tání T_{max} , teplo tání H, teplota skelného přechodu T_g a specifický tepelný přírůstek ΔC_p .

Parametry T_{\max} a H charakterizují proces tání krystalické fáze testované látky. U všech Avicelů byly zjištěny protáhlé neostře píky. Z porovnání hodnot T_{\max} vyplývá, že nejvyšší teploty tání byly zjištěny u Avicelu PH-200 na úrovni 121,83 °C a nejnižší teploty tání u Avicelů PH-102 a PH-105 104,71 °C a 106,43 °C. U ostatních Avicelů se teploty tání pohybovaly v rozmezí od 112,23 °C do 115,23 °C. Z daného vyplývá, že u Avicelů PH-102 a PH-105 byla použita základní surovina o nižší molekulové hmotnosti, naopak u Avicelu PH-200 o vyšší molekulové hmotnosti. Zároveň byly zjištěny rozdíly u hodnot teplot skelného přechodu, nejnižší u Avicelu PH-302 na úrovni 73,39 °C a nejvyšší u Avicelu PH-101 na úrovni 91,22 °C. Skelný přechod charakterizuje amorfní podíl v mikrokrystalických celulosách.

5.2 Parametry lisovacího procesu a mechanická odolnost vylisovaných tablet

V této práci byl lisovací proces hodnocen rovnicemi lisování, testem stresové relaxace a záznamem síla-dráha. Vylisované tablety byly hodnoceny kinetikou drcení tablet a byla u nich stanovena radiální pevnost.

Získané výsledky ze stanovení rovnic lisování jsou uvedeny v tabulkách č. 4-15 a v grafech č. 12-27, výsledky testu stresové relaxace jsou v tabulkách č. 24-31 a v grafech č. 28-33, výsledky ze záznamu síla-dráha jsou v tabulkách č. 16-23 a v grafu č. 34, výsledky ze stanovení kinetiky drcení jsou v tabulkách č. 32-39 a v grafech č. 35-37 a výsledky radiálních pevností v tabulkách č. 40-47.

Vlastní proces lisování tablet zahrnuje fázi komprese a relaxace tablety. Fáze komprese se člení na předlisování, elastickou a plastickou deformaci. Při předlisování se vytlačuje ze sloupce tabletoviny z interpartikulárních pórů vzduch a povrchy částic se dostávají do přímého kontaktu. Ve fázi elastické deformace se zmenšuje objem částic, vytlačuje se vzduch z intrapartikulárních pórů částic a částice zvětšují elastickou energii. Při poklesu lisovacího tlaku částice nabývají původní objem. Ve fázi plastické deformace již dochází k nereverzibilním změnám mezi povrchy částic a v částicích se vytvářejí vazby, tím vzniká struktura tablety. Jednotlivé fáze charakterizuje objemová redukce, rychlost redukce a energie spotřebovaná v dané operaci.

Po kompresi nastupuje fáze relaxace tablety. Tato relaxace tablety může probíhat buď při odlehčení tlaku, nebo při udržování výšky tablety. V obou případech se měří

změny lisovacího tlaku. Při testu stresové relaxace se po dobu prodlevy udržuje konstantní výška tablety. Při stanovení se zjišťuje velikost elastických sil deformovaných částic a dále viskozita (plasticita soustavy).

Procesy komprese i relaxace hodnotí metoda vycházející ze záznamu síly a dráhy. Hodnotí energii E_1 předlisování, zahrnující především tření mezi částicemi, energii plastické energie E_2 použitou k formování tablety a elastickou energii E_3 , která se uvolní z tablety ve fázi relaxace.

Mechanická odolnost tablet byla v práci hodnocena stanovením radiální pevnosti tablet nebo měřením kinetiky drcení. Při stanovení radiální pevnosti se vychází z hodnot drtící síly, průměru a výšky tablety. Optimální radiální pevnosti je v rozmezí 0,56 MPa až 1,12 MPa. Při stanovení kinetiky drcení tablet se zjišťuje drtící síla, dráha pohybu trnu od dotyku trnu s tabletou do destrukce tablety a dále plocha pod destrukční křivkou (destrukční energie). Drtící síla vyjadřuje plasticitu tablety, dráha elasticitu tablety a plocha pod křivkou viskoelasticitu tablety.

5.2.1 Zhodnocení fáze předlisování Avicelů

Tuto fázi hodnotí první děj rovnice lisování a také energie E'_1 ze záznamu síla-dráha. Z výsledků rovnice lisování vyplývá, že nejnižší objemové redukce byly u Avicelů PH-112, PH-200 a PH-302. Naopak nejvyšší objemové redukce byly u Avicelů PH-101, PH-102 a PH-105. S rostoucí objemovou redukcí ve fázi předlisování se zvyšovala i rychlost této redukce a i energie dané změny. Na získané výsledky má vliv celý komplex faktorů, nikoli jen velikost částic. Energii redukce předlisování rovněž vyjadřuje energie předlisování E'_1 . Z grafu č. 38 je zřejmé, že s poklesem parametru E_1 z rovnice lisování se snižuje i parametr E'_1 ze záznamu síla-dráha. Obě rozlišné metody tedy popisují proces předlisování obdobným způsobem

5.2.2 Zhodnocení elastického chování Avicelů

Elastické chování Avicelů hodnotí druhý děj rovnice lisování. Přímou spojitost s elastickými vlastnosti lisovaného materiálu vyjadřuje parametr E'_3 ze záznamu síla-dráha. Tento parametr ovšem necharakterizuje proces komprese, ale proces relaxace. Podobně může elastické chování materiálu hodnotit parametr l ze stanovení kinetiky

drcení tablet. V daném případě se hodnotí elastické vlastnosti tablety po fázi relaxace tablety. Z hodnocení rovnice lisování vyplývá, že nejvyšší objemová redukce ve fázi elastické deformace byla zjištěna u Avicelů PH-200 a PH-112, nižší u Avicelu PH-103. U ostatních Avicelů byla objemová redukce nejnižší. Rychlost objemové redukce roste se vzrůstem objemové redukce. Rozdílné chování bylo zjištěno u Avicelů PH-101 a PH-102, u kterých byly zjištěny podstatně vyšší rychlosti redukce objemu. Energie E_2 kopírují hodnoty objemových redukcí. Na grafu č. 39 je znázorněna spojitost mezi parametrem E_2 z rovnice lisování a parametrem E'_3 ze záznamu síla-dráha. Z porovnání elastického chování materiálu ve fázi komprese a relaxace vyplývá přímá spojitost mezi uvedenými elastickými parametry. Podobná spojitost byla nalezena mezi parametrem E'_3 z fáze relaxace tablety a dráhou ze stanovení kinetiky drcení tablet (viz graf č. 40). Odlišné chování má pouze Avicel PH-105. U této látky došlo ke zvýšení dráhy, tj. elastických schopností tablety. Po vyjmutí tablety z matrice došlo během skladování tablety v důsledku velkého přiblížení povrchu částic o velikosti 20 μm ke tvorbě dalších vazeb.

5.2.3 Zhodnocení plastického chování Avicelů

Plastické chování Avicelů hodnotí ve fázi komprese třetí děj rovnice lisování. Plastické chování rovněž vyjadřuje parametr E'_2 ze záznamu síla-dráha, parametr P'_3 z testu stresové relaxace a dále drtící energie ze stanovení kinetiky drcení tablet. Z hodnocení rovnice lisování vyplývá, že největší objemovou redukcí má Avicel PH-302, menší pak Avicel PH-105. U ostatních Avicelů byla zjištěna ve fázi plastické deformace nižší objemová redukce. S růstem objemové redukce se snižuje rychlost daného děje. Při porovnání objemové redukce s energií, kterou tento děj spotřebuje (viz graf č. 41) vyplývá mírně snížená spotřeba energie u Avicelu PH-105 a naopak mírně zvýšená energie u Avicelu PH-103. Nejvyšší spotřeba energie byla zjištěna u Avicelu PH-302. Z dalšího porovnání energií E_3 z rovnice lisování a energie E'_2 ze záznamu síla-dráha vyplývá (viz graf č. 42), že se energie kopírují. Pouze u Avicelů PH-112 a PH-200 jsou energie E'_2 vyšší a u Avicelu PH-302 energie E'_2 nižší. Zajímavé výsledky přineslo stanovení stresové relaxace. Při porovnání parametru plasticity P'_3 s parametrem E_3 z rovnice lisování nebo s parametrem E'_2 z hodnocení záznamu síla-dráha nebyl zjištěn přímý vztah mezi parametry (viz graf č. 43, resp. 44). Přímý vztah byl zjištěn mezi parametrem plasticity P'_3 a parametrem W ze stanovení kinetiky drcení

tablet (viz graf č. 45). Toto zjištění znamená, že test stresové relaxace má přímá vztah k tvorbě vazeb, které ovlivňují mechanické vlastnosti tablet.

6. Shrnutí práce

6.1 Fyzikálně chemické vlastnosti testovaných látek

1. Velikost částic

- Velikosti částic odpovídají deklarované velikosti uváděné výrobcem. Největší odchylka byla zjištěna u Avicelu PH-200 (rozdíl 20,0 μm).
- Ve vzorcích testovaných Avicelů se nachází větší množství menších částic (vysoká směrodatná odchylka).

2. Sypnost Avicelů

- S rostoucí velikostí částic se snižuje tření mezi částicemi a zvyšuje se sypnost.

3. Sypná hustota

- S rostoucí velikostí částic se snižuje sypná hustota, výjimkou je Avicel PH-302, která při velikosti 100 μm má nejvyšší sypnou hustotu danou formulací částic s menším obsahem pórů.

4. Setřesná huastota a index stlačitelnosti

- Setřesná hustota je vyšší než sypná hustota a tu kopíruje.
- Nejnižší index stlačitelnosti má Avicel PH-200 pod 18 % a nejvyšší index stlačitelnosti mají Avicely PH-101 a PH-102 s hodnotami nad 22 %. Ostatní Avicely mají indexy stlačitelnosti mezi 18 až 22 %.

5. Termická analýza Avicelů

- Z hodnocení teplot tání T_{max} vyplývá, že u Avicelů PH-102 a PH-105 byla použita základní surovina o nižší molekulové hmotnosti, naopak u Avicelu PH-200 o vyšší molekulové hmotnosti.
- Zároveň byly zjištěny rozdíly u hodnot teplot skelného přechodu, nejnižší byla u Avicelu PH-302 a nejvyšší u Avicelu PH-101.

6.2 Parametry lisovacího procesu a mechanická odolnost vylisovaných tablet

1. Zhodnocení předlisování tablet

- Z výsledků rovnice lisování vyplývá, že nejnižší objemová redukce byla u Avicelů PH-112, PH-200 a PH-302. Naopak nejvyšší objemová redukce byla u Avicelů PH-101, PH-102 a PH-105.
- S poklesem parametru E_1 z rovnice lisování se snižuje i parametr E'_1 ze záznamu síla-dráha.

2. Zhodnocení elastického chování Avicelů

- Z hodnocení rovnice lisování vyplývá, že nejvyšší objemová redukce ve fázi elastické deformace byla zjištěna u Avicelů PH-200 a PH-112, nižší u Avicelu PH-103. U ostatních Avicelů byla objemová redukce nejnižší.
- Rychlost objemové redukce roste se vzrůstem objemové redukce. Rozdílné chování bylo zjištěno u Avicelu PH-101 a PH-102, u kterých byly zjištěny podstatně vyšší rychlosti redukce objemu.
- Energie E_2 kopírují hodnoty objemových redukcí.
- Z porovnání elastického chování materiálu ve fázi komprese a relaxace vyplývá přímá spojitost mezi uvedenými elastickými parametry.
- Přímá spojitost byla nalezena mezi parametrem E'_3 z fáze relaxace tablety a dráhou ze stanovení kinetiky drcení tablet. Odlišné chování má pouze Avicel PH-105.

3. Zhodnocení plastického chování Avicelů

- Z hodnocení rovnice lisování vyplývá, že největší objemovou redukcí má Avicel PH-302, menší pak Avicel PH-105. U ostatních Avicelů byla zjištěna ve fázi plastické deformace nižší objemové redukce.
- S růstem objemové redukce se snižuje rychlost daného děje.
- Při porovnání parametru plasticity P'_3 s parametrem E_3 z rovnice lisování nebo s parametrem E'_2 z hodnocení záznamu síla-dráha nebyl zjištěn přímý vztah mezi parametry.
- Přímý vztah byl zjištěn mezi parametrem plasticity P'_3 a parametrem W ze stanovení kinetiky drcení tablet.

7. Zdroje literatury

1. Rowe, R. C., Sheskey P. J., Quinn M. E. Handbook of Pharmaceutical Excipients. Pharmaceutical Press and American Pharmacists Association, 2009, s. 129-132.
2. Siaan, M., Pintye-Hodi, K., Szabo-Revesz, P., et al. Study of the rearrangement of some types of Avicel. Pharmazie, 1997, 52, s. 564-580.
3. Avicel [online]. 2014. [cit. 7. 2. 2014]. Dostupné z:
<http://fmcbiopolymer.com/Pharmaceutical/Products/Avicelforsoliddoseforms.aspx>.
4. Řehula M., Rysl T. Characterization of microcrystalline celluloses by means of the parameters of a three-exponential compression equation. Česká a Slovenská farmacie, 2008, 57, s. 165-169.
5. Denny P. J. Compaction equations: comparison of the Heckel and Kawakita equations. Powder Technology, 2002, 127, s. 162-172.
6. Walker E. E. The properties of powders VI: the com-pressibility of powders. Transactions of the Faraday Society, 1923, 19, s. 73.
7. Comoglu T. An overview of compaction equations. International Journal of Pharmaceutics, 2007, 36, s. 123-133.
8. Bal'Shin M. Yu. Vestrik Metalloprism. 1938, 18, s. 124.
9. Heckel R. W. Density pressure relationship in powder compaction. Transactions of the Metallurgical Society of AIME, 1961, 221, s. 671-675.
10. Kochhar S. K., Rubinstein M.H., Barnes D. The effect of slugging and recompression on pharmaceutical excipients. International Journal of Pharmaceutics, 1995, 115, s. 35-43.

11. Kawakita K., Lüdde K. H. Some considerations on powder compression equations. *Powder Technology*, 1970/1971, 4, s. 61.
12. Kawakita K., Hattori I., Kishigami M. Characteristic constants in Kawakita's powder compression equations. *Journal of Powder/Bulk Solids Technology*, 1977, 1, s. 3.
13. Roberts R. J., Rowe R. C., Kendall K. Brittle-ductile transition in die compaction of sodium chloride. *Chemical Engineering Science*, 1989, 44, s. 1647-1651.
14. Narayanasamy R., Ponalagusamy R. A mathematical theory of plasticity for compressible powder metallurgy materials. *Journal of Materials Processing Technology*, 2000, 100, s. 262-265.
15. Çelik, M. "Overview of compaction data analysis techniques". *Drug Development and Industrial Pharmacy*, 1992, 18(6&7), s. 767-810.
16. Cooper, A. R., Eaton, L. R. Compaction behavior of some ceramic powders. *Journal of the American Ceramic Society*, 1962, 45, s. 97.
17. Adámek, R., Řehula, M., Ryl, T. Chemická struktura a viskoelastická plniv pro přímé lisování tablet léčiv. *Chemické listy*, 2011, 105, s. 691-696.
18. Lieberman H. A., Rieger M. M., Banker G. *Pharmaceutical Dosage Forms: Disperse Systems* (second edition). Marcel Dekker, 1996, 1.
19. David S. T., Augsburger L. L. Plastic flow during compression of directly compressible fillers and its affect on tablet strength. *Journal of Pharmaceutical Sciences*, 1997, 67, s. 155-159.
20. Rees J. E., Rue P. J. Time dependent deformation of some direct compression excipients. *Journal of Pharmacy and Pharmacology*. 1978, 30, s. 601-607.

21. Ebba F., Piccerelle P., Prinderre P., et al. Stress relaxation studies of granules as a function of different lubricants. *European Journal of Pharmaceutics and Biopharmaceutics*. 2001, 52, s. 211-220.
22. Manas Ch., Salil K. *Plastics Technology Handbook*. CRC Press, New York, 2007.
23. Hausner H. H. Friction conditions in a mass of metal powder. *International Journal of Powder Metallurgy*, 1967, 3, s.7-13.
24. Narayan P., Hancock B. C. The relationship between the particle properties, mechanical behavior, and surface roughness of some pharmaceutical excipient compacts. *Materials Science and Engineering*, 2000, A355, s. 24-36.
25. Cole E. T., Rees J. E., Hersey J. Relations between compaction data for some crystalline pharmaceutical materials. *Pharmaceutica Acta Helvetica*, 1975, 50, s. 28-32.
26. Maarschalk K. V., Zuurman K., Vromans H., et al. Effect of water on deformation and bonding of pregelatinized starch compacts. *International Journal of Pharmacy and Pharmacology*, 1997, 27, s. 151.
27. Lum S. K., Duncan-Hewitt W. C. Powder Densification. 1. Particle–Particle Basis for Incorporation of Viscoelastic Material Properties. *Journal of Pharmaceutical Sciences*, 1999, 88, s. 261-276.
28. Stamm A., Mathis C. Excipients for direkt compression. *Acta Pharmaceutica Technologica*, 1976, 22, s. 7
29. Fell J. Recent research into tableting. *Laboratory-Pharmaceutical Problems of Technology*, 1983, 31, s. 353–358.
30. Gu Z. H., Arnold P. C., McLean A. G. Consolidation-related bulk density and permeability models for bulk solids. *Powder Technology*, 1992, 72, s. 39-44.

31. Vachon, M. G., Chulia, D. The use of energy indices in estimating powder compaction functionality of mixtures in pharmaceutical tableting. *International Journal of Pharmaceutics*, 1999, 177(2), s 183-200.
32. Kása P., Bajdik J., Zsigmond Z., et al. Study of the compaction behaviour and compressibility of binary mixtures of some pharmaceutical excipients during direct compression. *Chemical Engineering and Processing: Process Intensification*, 2009, 48(4), s. 859-863.
33. Stamm A., Mathis C. Verpressbarkeit von festen Hilfsstoffen für Direkttablettierung. *Acta Pharmaceutica Technologica*, 1976, 22, s. 7-16.
34. Antikainen O., Yliruusi J. Determining the compression behaviour of pharmaceutical powders from the force-distance compression profile. *International Journal of Pharmaceutics*, 2003, 252, s. 253-261.
35. Ondřejček P. Stanovení lisovatelnosti celulos: diplomová práce. Univerzita Karlova, Farmaceutická fakulta v Hradci Králové, 2009, s. 20.
36. Český lékopis 2009, Praha, Grada Publishing a.s., 2009, s. 381.